



Universitat Autònoma de Barcelona

ADVERTIMENT. L'accés als continguts d'aquesta tesi queda condicionat a l'acceptació de les condicions d'ús establertes per la següent llicència Creative Commons:  http://cat.creativecommons.org/?page_id=184

ADVERTENCIA. El acceso a los contenidos de esta tesis queda condicionado a la aceptación de las condiciones de uso establecidas por la siguiente licencia Creative Commons:  <http://es.creativecommons.org/blog/licencias/>

WARNING. The access to the contents of this doctoral thesis it is limited to the acceptance of the use conditions set by the following Creative Commons license:  <https://creativecommons.org/licenses/?lang=en>



Universitat Autònoma de Barcelona

Tesis doctoral

Programa de doctorado en Arqueología Clásica

APÉNDICES

**Topografía y arqueología del conflicto en el
noreste de la *Hispania Citerior* y valle
medio del Ebro durante las primeras fases
de la
ocupación romana (218-72 a.C.)**

Laia Catarineu Iglesias

Director: Dr. Joaquim Pera Isern

Facultad de Filosofía y Letras

Departamento de Ciencias de la Antigüedad y de la Edad Media

Bellaterra, Cerdanyola del Vallès

Octubre de 2021

APÉNDICES

APÉNDICE I. FOTOGRAFIAS PANORÁMICAS



Fig. 1. Fotografía panorámica desde el castillo de Burriac¹.



Fig. 2. Fotografía panorámica desde Ca n'Oliver.

¹ Todas las imágenes son propias. Con ellas pretendemos aportar una prueba física sobre la ubicación más o menos estratégica de los yacimientos estudiados, y visualizar así el territorio, en algunos casos de hasta 360°, que se observa y se podría controlar desde ellos.



Fig. 3. Fotografia panoràmica desde Ca l'Arnau, Cabrera de Mar.



Fig. 4. Fotografia panoràmica desde el Camp de les Lloses.



Fig. 5. Fotografia panoràmica desde el campo de futbol de Cardona, Campet de la Sal.



Fig. 6. Fotografia panoràmica desde Can Tacó.



Fig. 7. Fotografia panoràmica desde el Castell de Falgars.



Fig. 8. Fotografia panoràmica desde el Castell Lliuró.



Fig. 9. Fotografia panoràmica desde el Castellot de Banyoles.



Fig. 10. Fotografia panoràmica desde el Castellot de Bolvir.



Fig. 11. Fotografia panoràmica desde Castellvell de Solsona.



Fig. 12. Fotografía panorámica desde Castellví de Rosanes.



Fig. 13. Fotografía panorámica desde el Coll del Moro.



Fig. 14. Fotografía panorámica desde el foro de la ciudad romana de Empúries.



Fig. 15. Fotografía panorámica desde Illa Fradera.



Fig. 16. Fotografía panorámica desde Mas Gusó.



Fig. 17. Fotografía panorámica desde Monteró I.



Fig. 18. Fotografia panoràmica desde Olèrdola.



Fig. 19. Fotografia panoràmica desde La Palma.



Fig. 20. Fotografia panoràmica desde Els Prats de Rei.



Fig. 21. Fotografia panoràmica desde Puig d'Àlia.



Fig. 22. Fotografia panoràmica desde Puig del Castell de Samalús.



Fig. 23. Fotografia panoràmica desde Puig Castellar de Biosca.



Fig. 24. Fotografia panoràmica desde Puig Ciutat.



Fig. 25. Fotografia panoràmica desde Puigpelat.



Fig. 26. Fotografia panoràmica desde Ribelles.



Fig. 27. Fotografia panoràmica desde Sant Julià de Ramis.



Fig. 28. Fotografia panoràmica desde el bastió de Sant Miquel de Sorba.



Fig. 29. Fotografia panoràmica desde Sant Miquel de Vinebre.



Fig. 30. Fotografia panoràmica desde el Serrat dels Espinyers.



Fig. 31. Fotografia panoràmica desde *Tarraco*.



Fig. 32. Fotografia panoràmica desde la Torrassa del Moro de Llinars del Vallès.



Fig. 33. Fotografia panoràmica desde la Torre de la Mora de Buixalleu.



Fig. 34. Fotografia panoràmica desde la Torre dels Moros de Seròs.



Fig. 35. Fotografia panoràmica desde Torre Roja.



Fig. 36. Fotografía panorámica desde El Tossal de Baltarga.



Fig. 37. Fotografía panorámica desde Tres Cales.



Fig. 38. Fotografía panorámica desde La Cabañeta.



Fig. 39. Fotografía panorámica desde El Cabezo de Alcalá.



Fig. 40. Fotografía panorámica desde El Cabezo de las Minas.



Fig. 41. Fotografía panorámica desde La Caridad.



Fig. 42. Fotografía panorámica desde La Corona.



Fig. 43. Fotografía panorámica desde Segeda II con vistas a Segeda I.



Fig. 44. Fotografía panorámica desde la Torre Cremada.



Fig. 45. Fotografía panorámica desde *Bilbilis* con vistas a Valdeherrera.



Fig. 46. Fotografía panorámica desde La Vispesa.

APÉNDICE II. LÁMINAS DE MAPAS

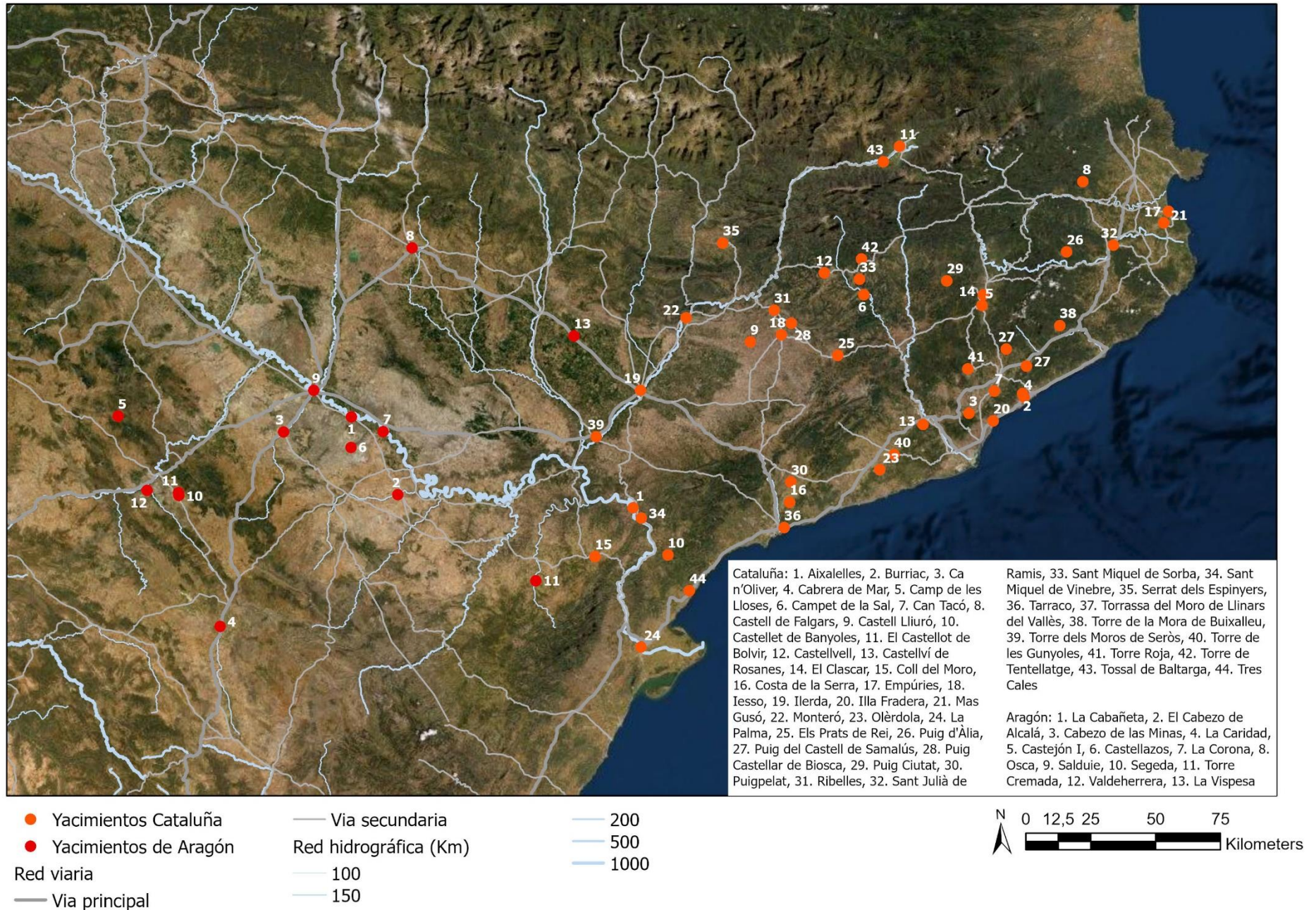


Fig. 1. Ubicación de los yacimientos inscritos en el presente trabajo.



Earthstar Geographics

- | | | |
|-------------------------|-----------------------|--------|
| ● Yacimientos Cataluña | — Via secundaria | — 200 |
| ● Yacimientos de Aragón | Red hidrográfica (Km) | — 500 |
| Red viaria | — 100 | — 1000 |
| — Via principal | — 150 | |

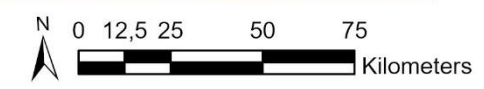


Fig. 2. Mapa general del territorio estudiado con la integración de los yacimientos inscritos en el presente trabajo.

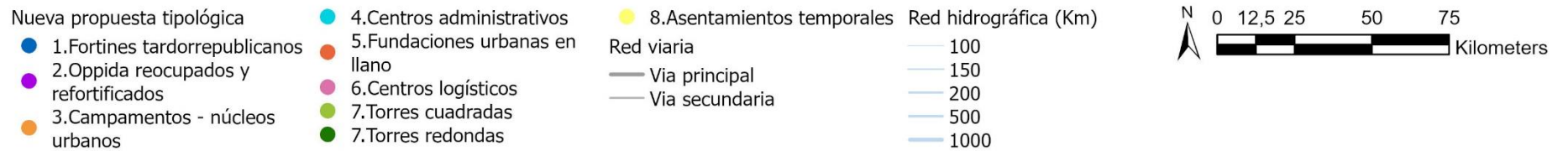


Fig. 3. Ubicación de los yacimientos inscritos en el presente trabajo, según la nueva propuesta tipológica.

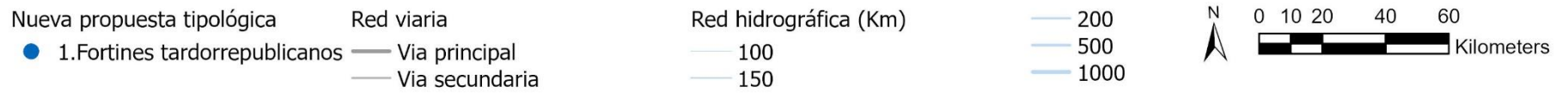


Fig. 4. Ubicación de los asentamientos identificados como fortines tardorrepublicanos (tipo 1).

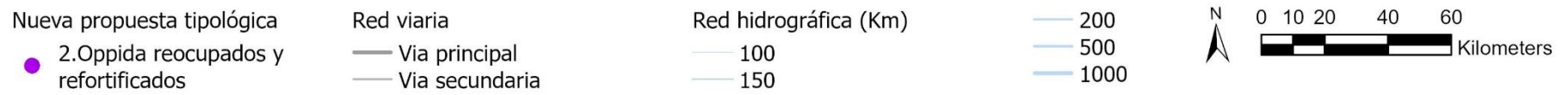
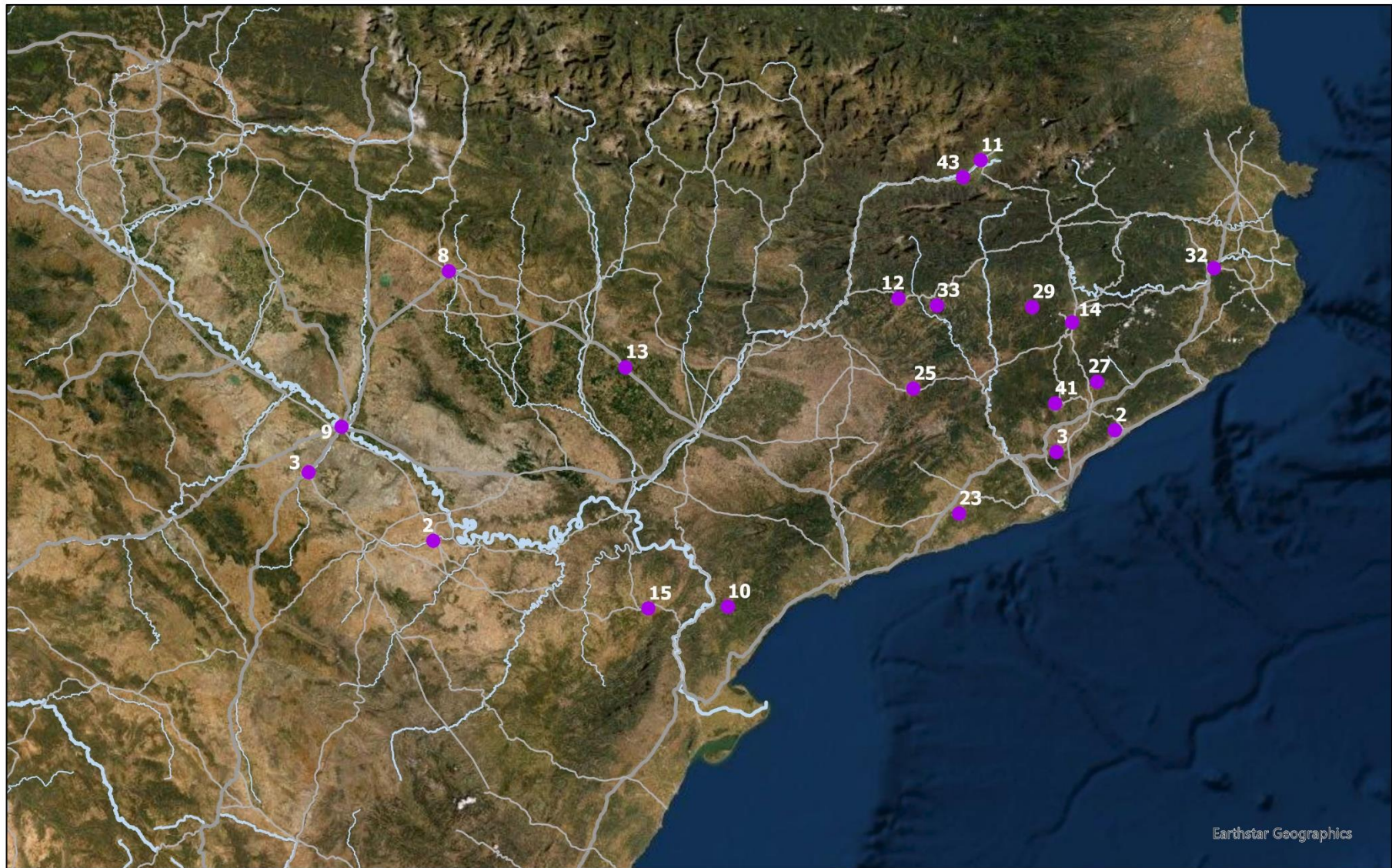


Fig. 5. Ubicación de los asentamientos identificados como *oppida* recuperados o refortificados (tipo 2).

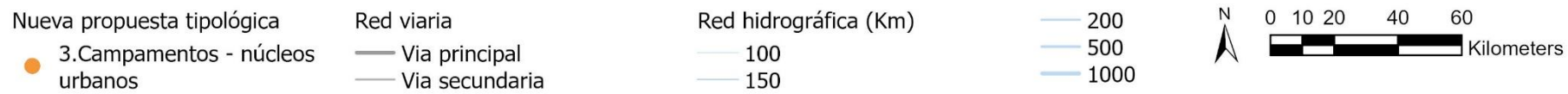


Fig. 6. Ubicación de los asentamientos identificados como importantes núcleos administrativos y puertos (tipo 3).

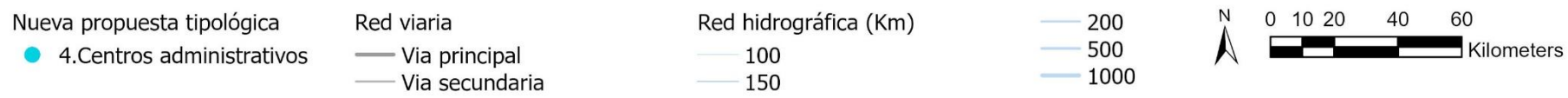


Fig. 7. Ubicación de los asentamientos identificados como centros administrativos (tipo 4).

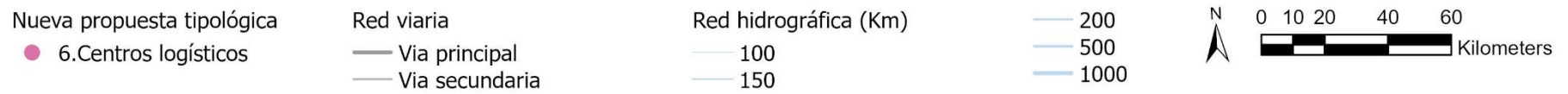


Fig. 9. Ubicación de los asentamientos identificados como núcleos logísticos (tipo 6).

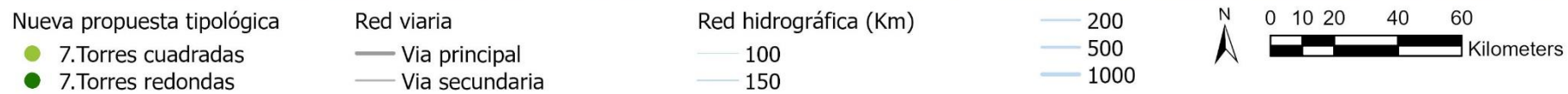


Fig. 10. Ubicación de los asentamientos identificados como torres de vigilancia (tipo 7).

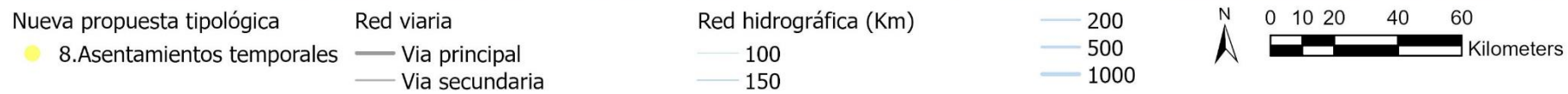


Fig. 11. Ubicación de los asentamientos identificados como asentamientos temporales (tipo 8).

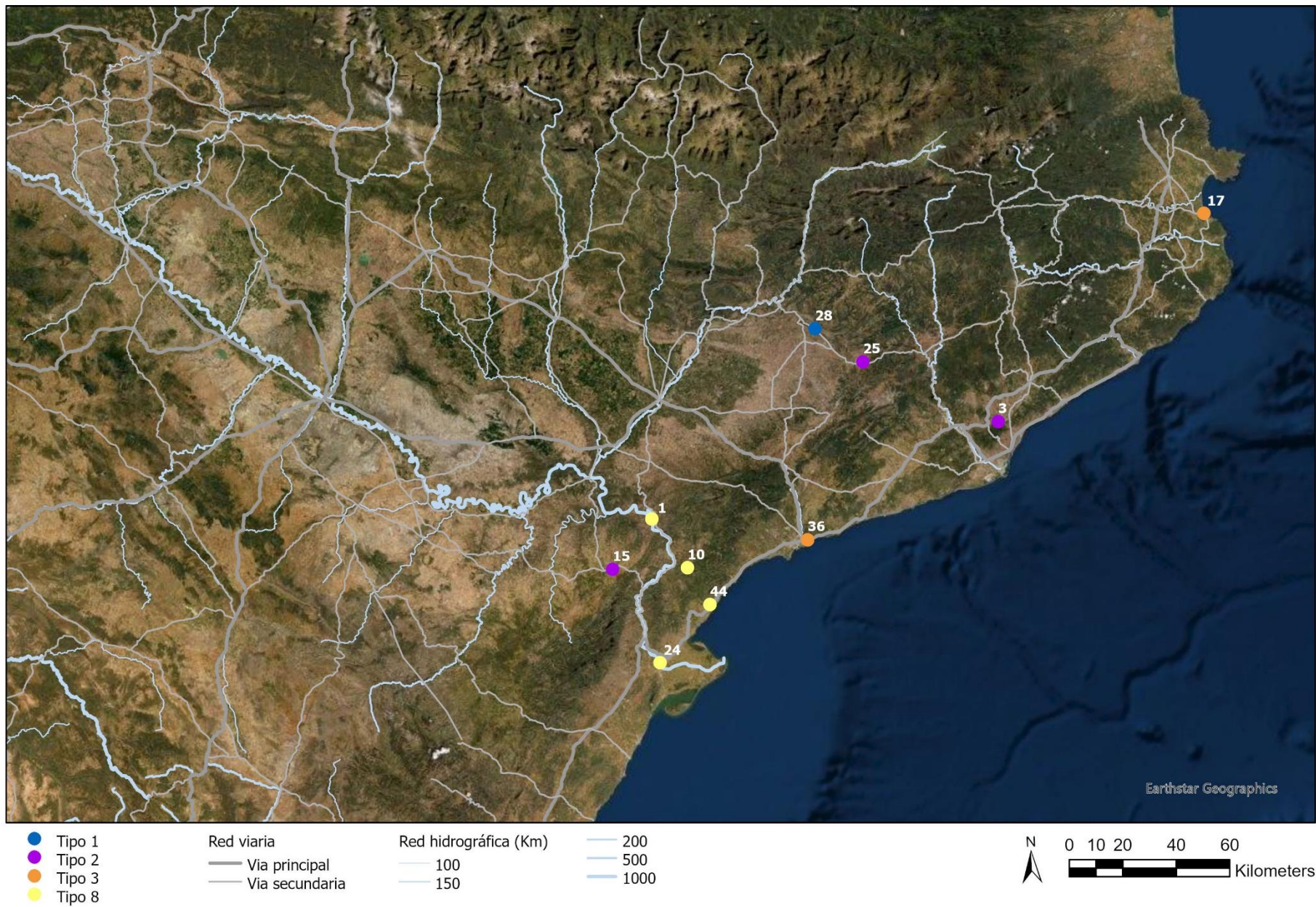
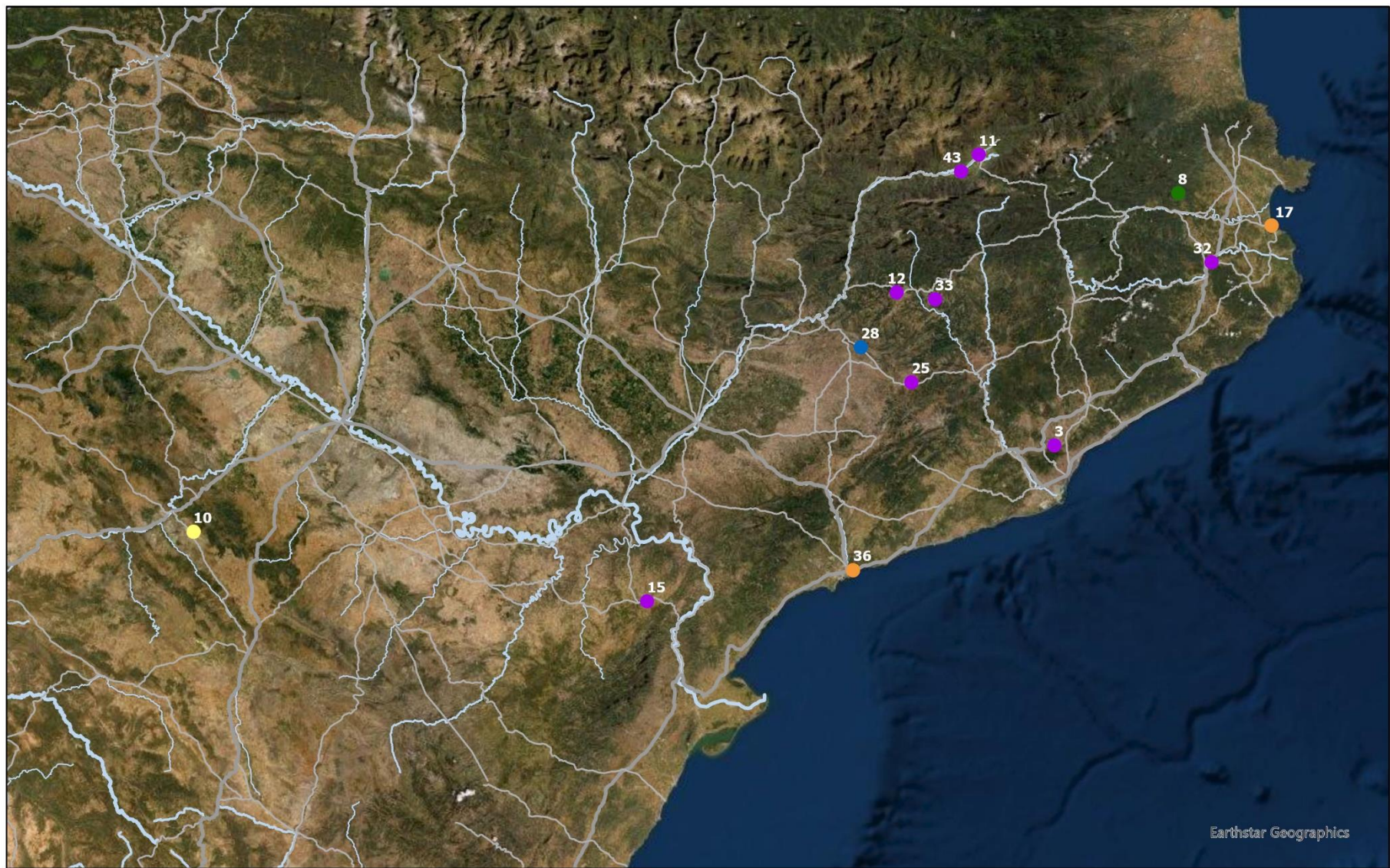


Fig. 12. Yacimientos en los que se ha identificado una ocupación entre los años 218 y 175.



- | | | | |
|-----------|-----------------|-------------------------|--------|
| ● Tipo 1 | ● Tipo 8 | — Via secundaria | — 150 |
| ● Tipo 2 | Red viaria | — Red hidrográfica (Km) | — 200 |
| ● Tipo 3 | — Via principal | — 100 | — 500 |
| ● Tipo 7R | | | — 1000 |

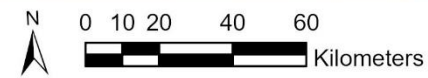


Fig. 13. Yacimientos en los que se ha identificado una ocupación entre los años 175 y 150.

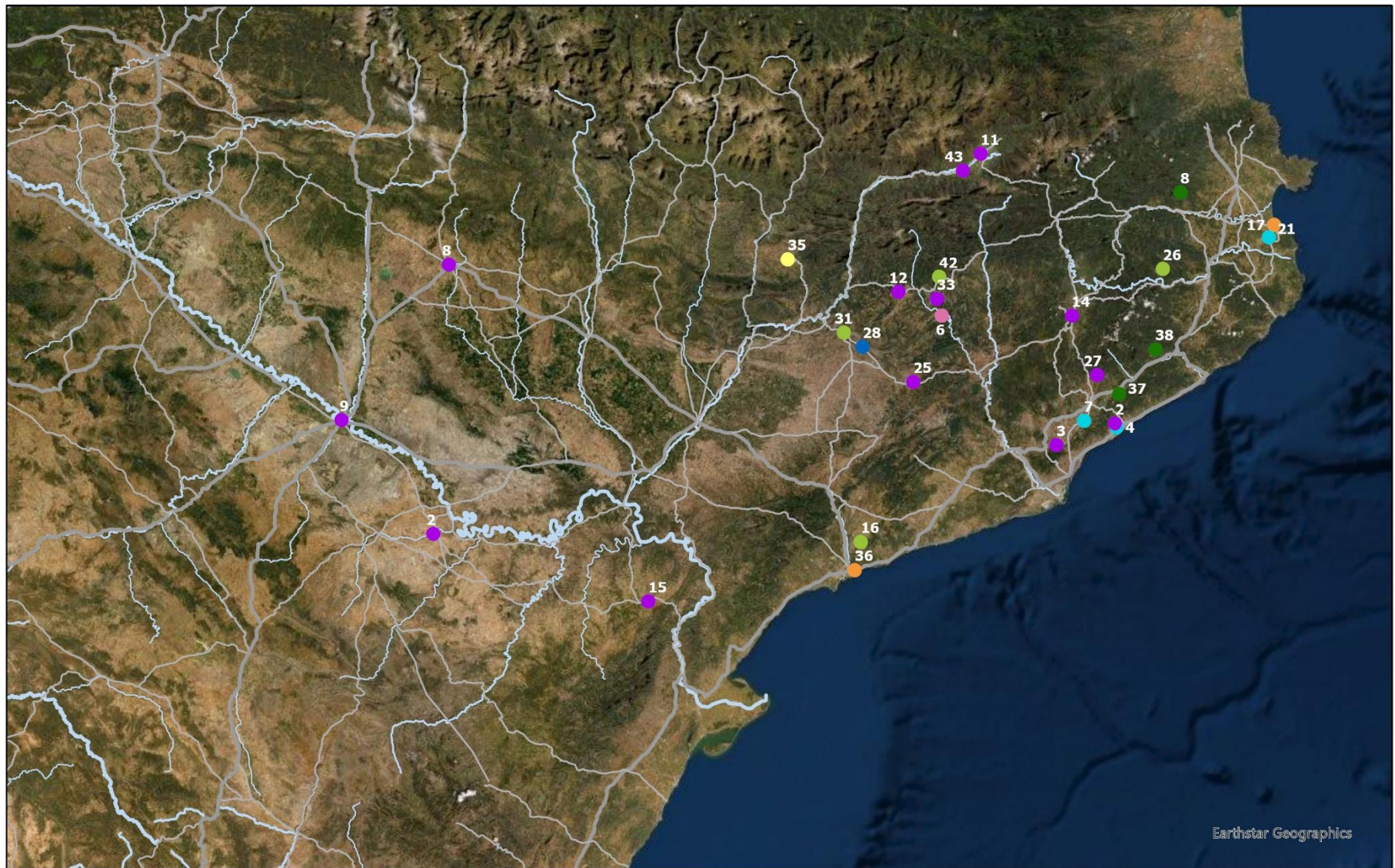


Fig. 14. Yacimientos en los que se ha identificado una ocupación entre los años 150 y 125.

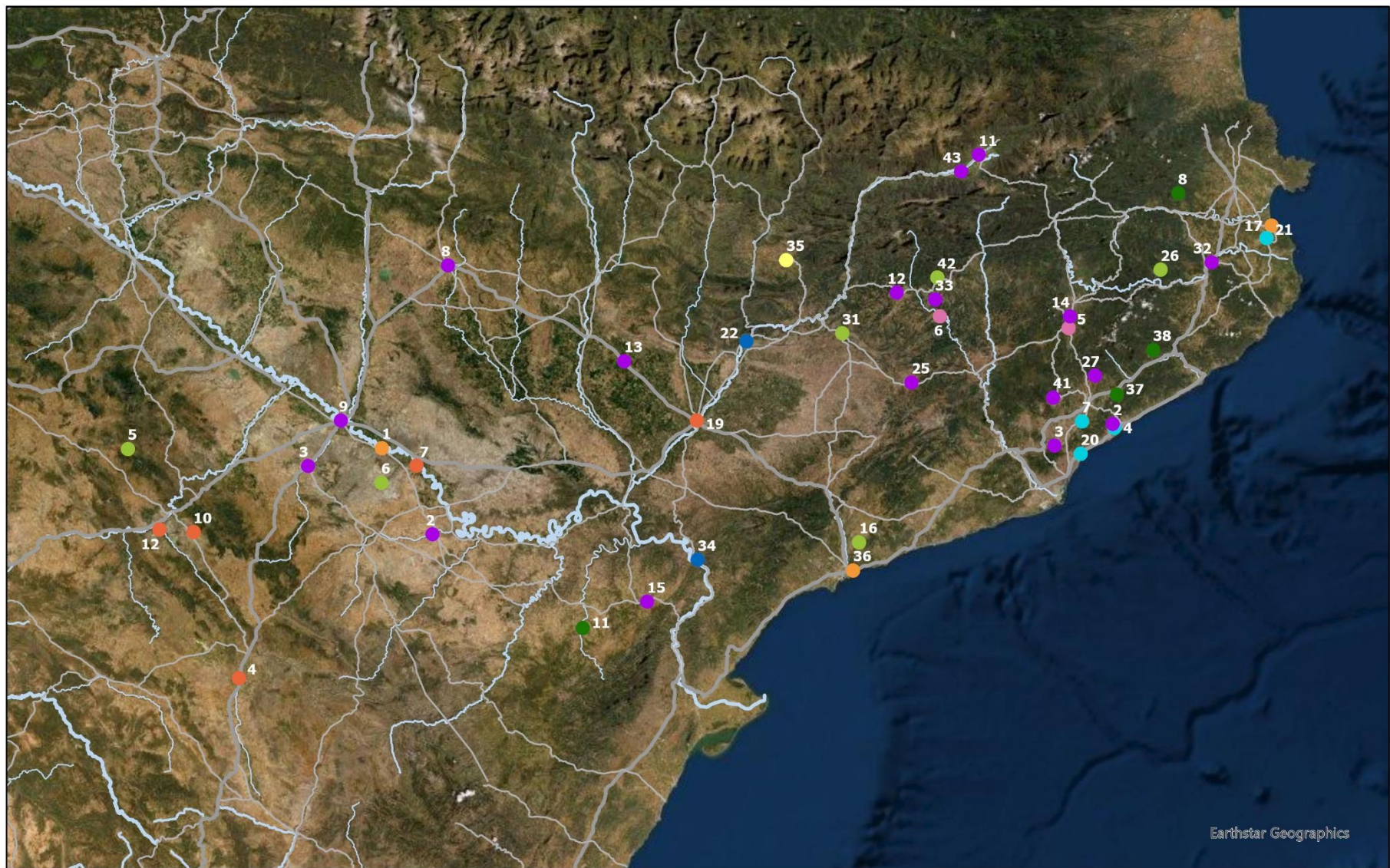


Fig. 15. Yacimientos en los que se ha identificado una ocupación entre los años 125 y 100.

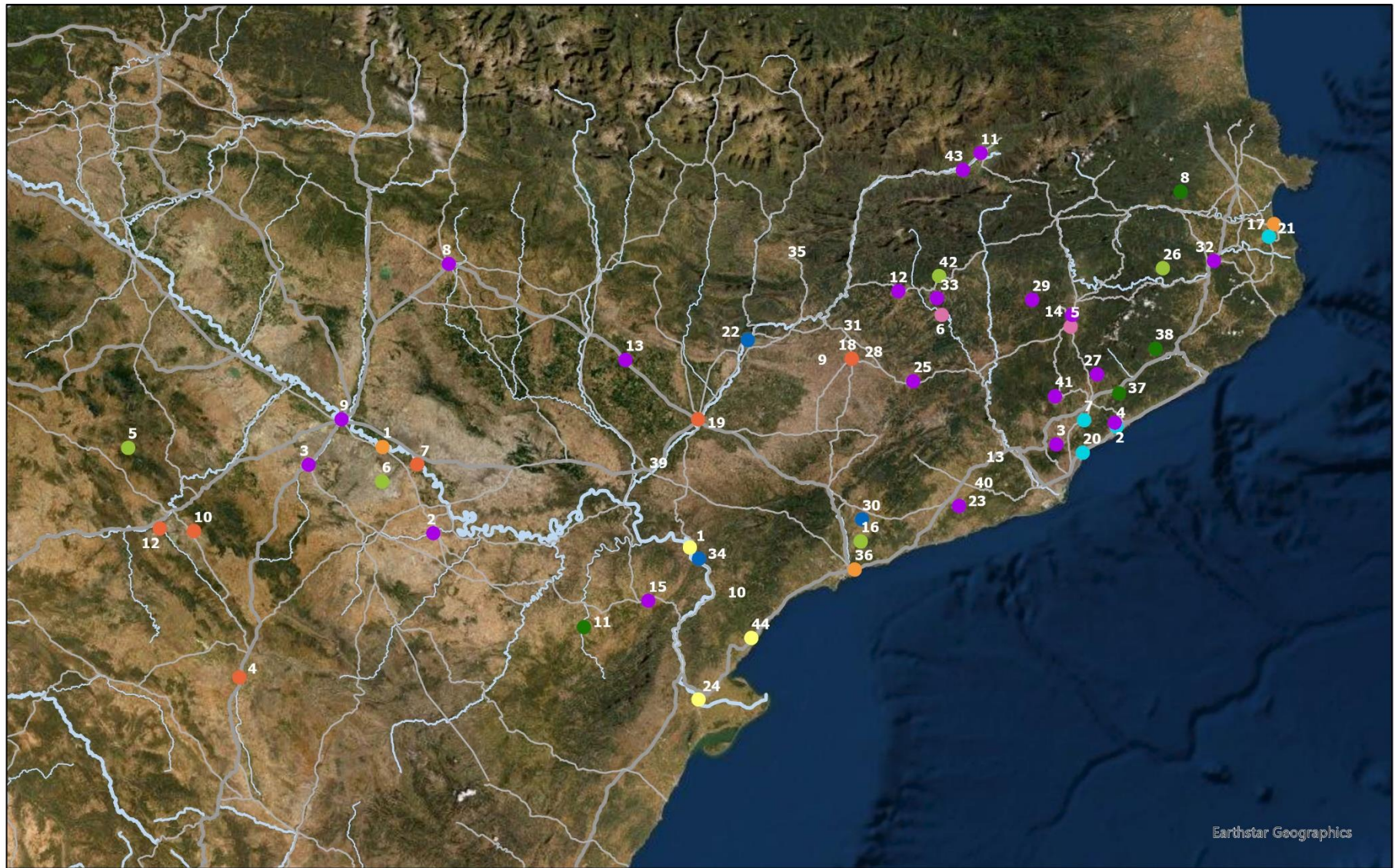


Fig. 16. Yacimientos en los que se ha identificado una ocupación entre los años 100 y 75.

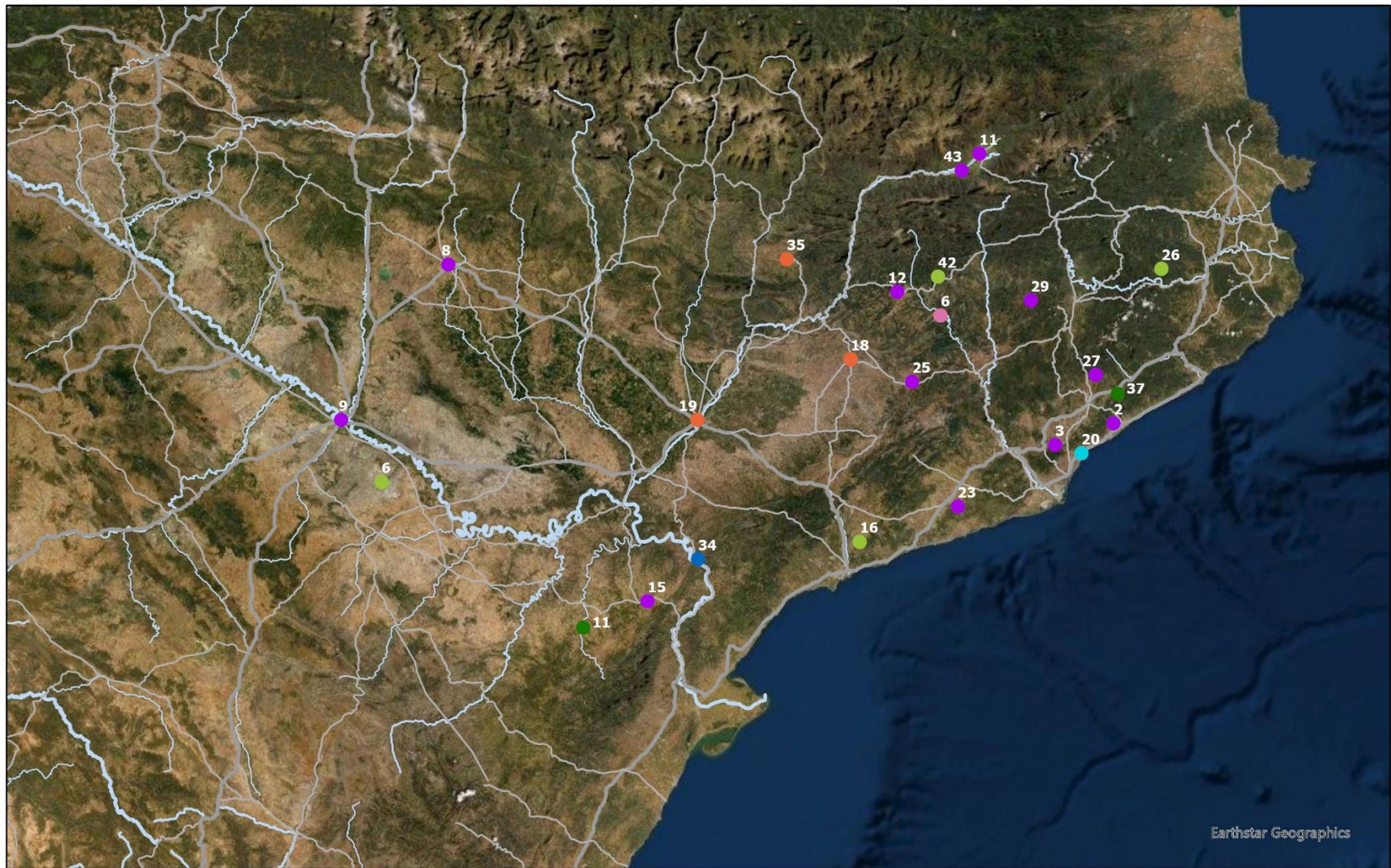
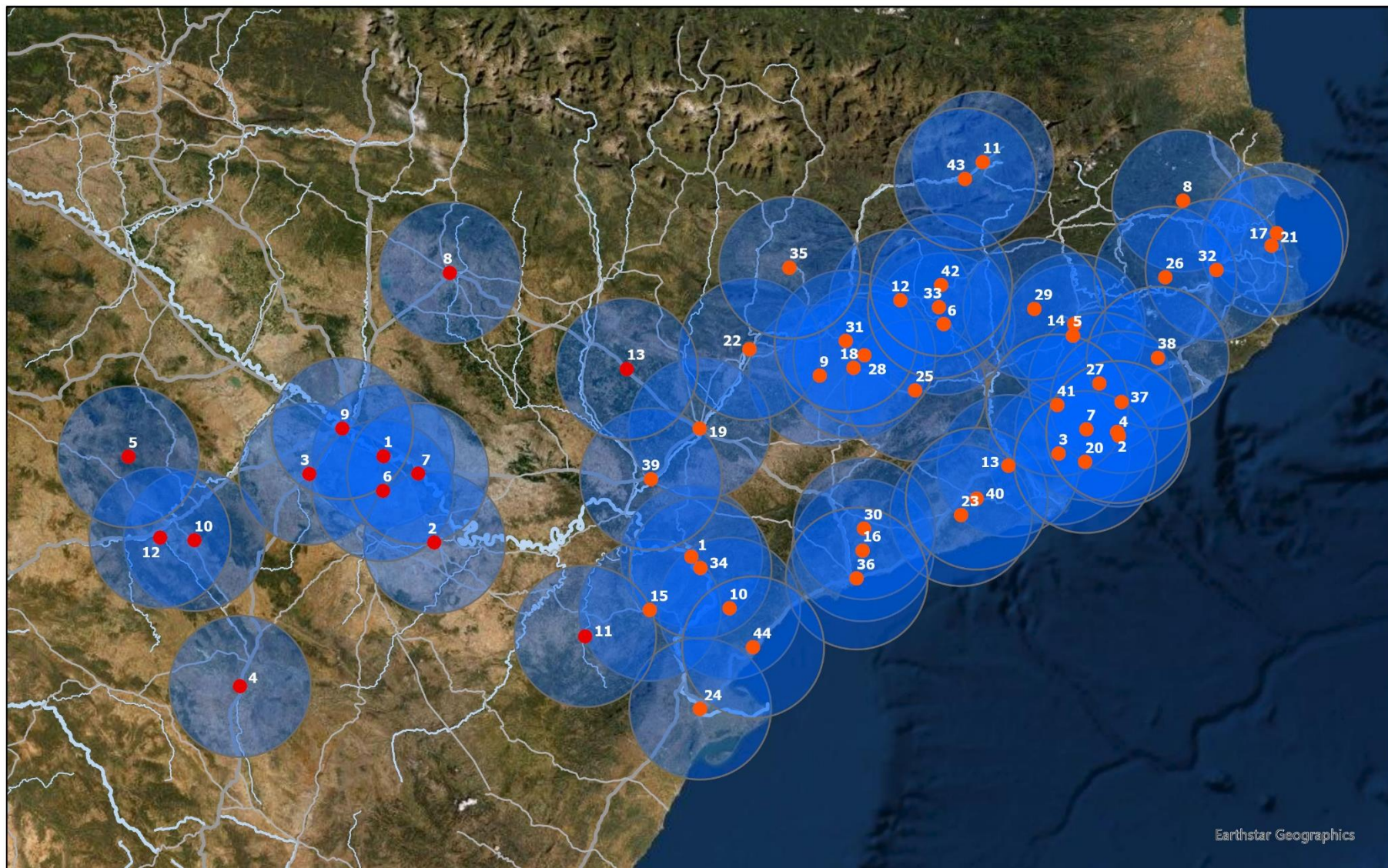


Fig. 17. Yacimientos en los que se ha identificado una ocupación entre los años 75 y 50.



Yacimientos

- Cataluña
- Aragón

■ Buffer 25km

Red viaria

— Via principal

— Via secundaria

Red hidrográfica (Km)

— 100

— 150

— 200

— 500

— 1000



0 10 20 40 60



Earthstar Geographics

Fig. 18. Mapa con análisis de Buffer, donde se indica un área de influencia de 25 kilómetros alrededor de cada yacimiento.

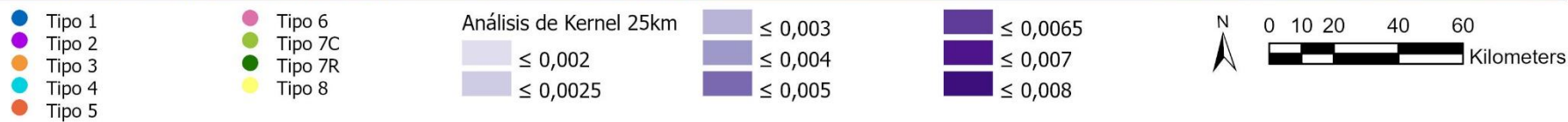
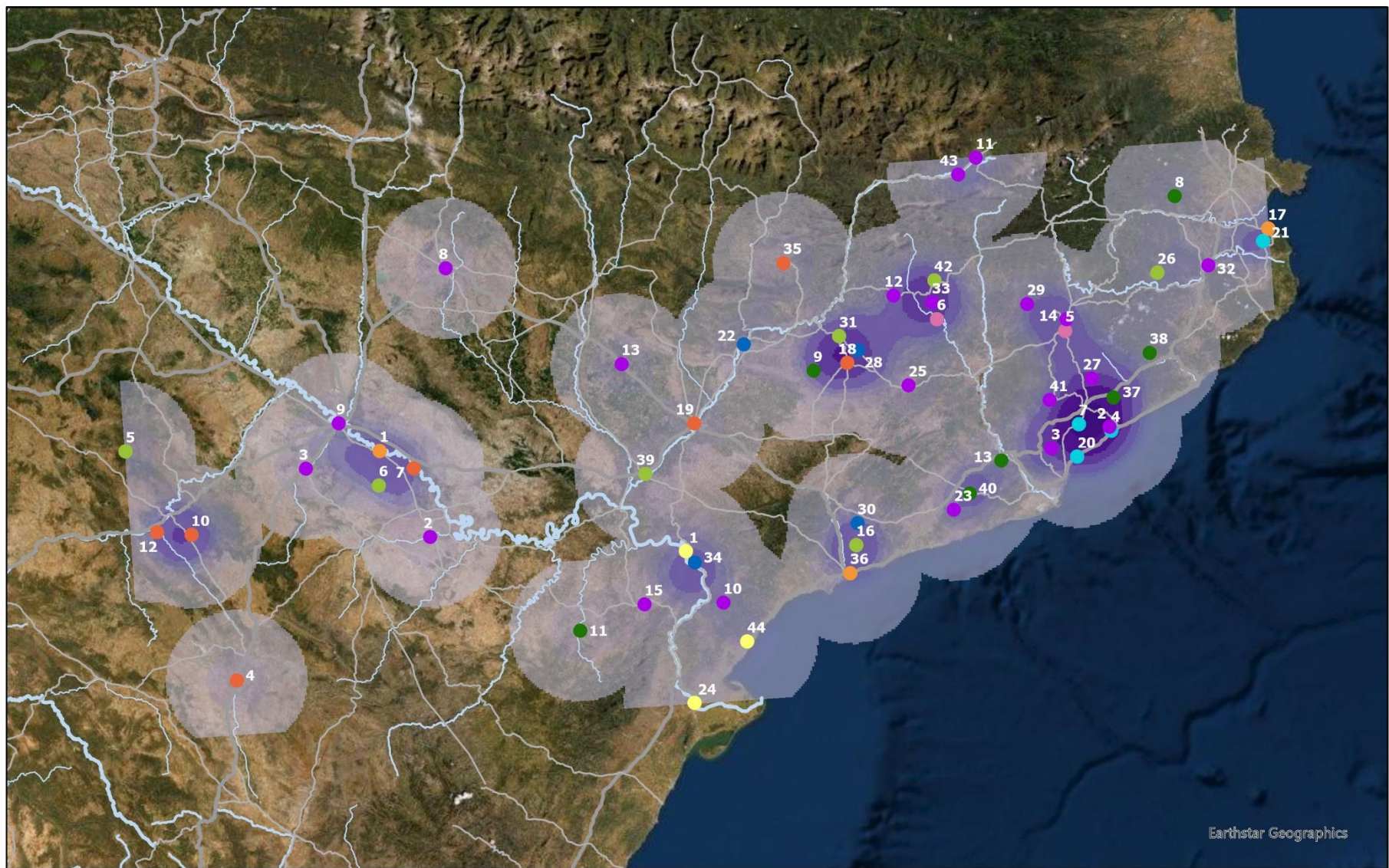
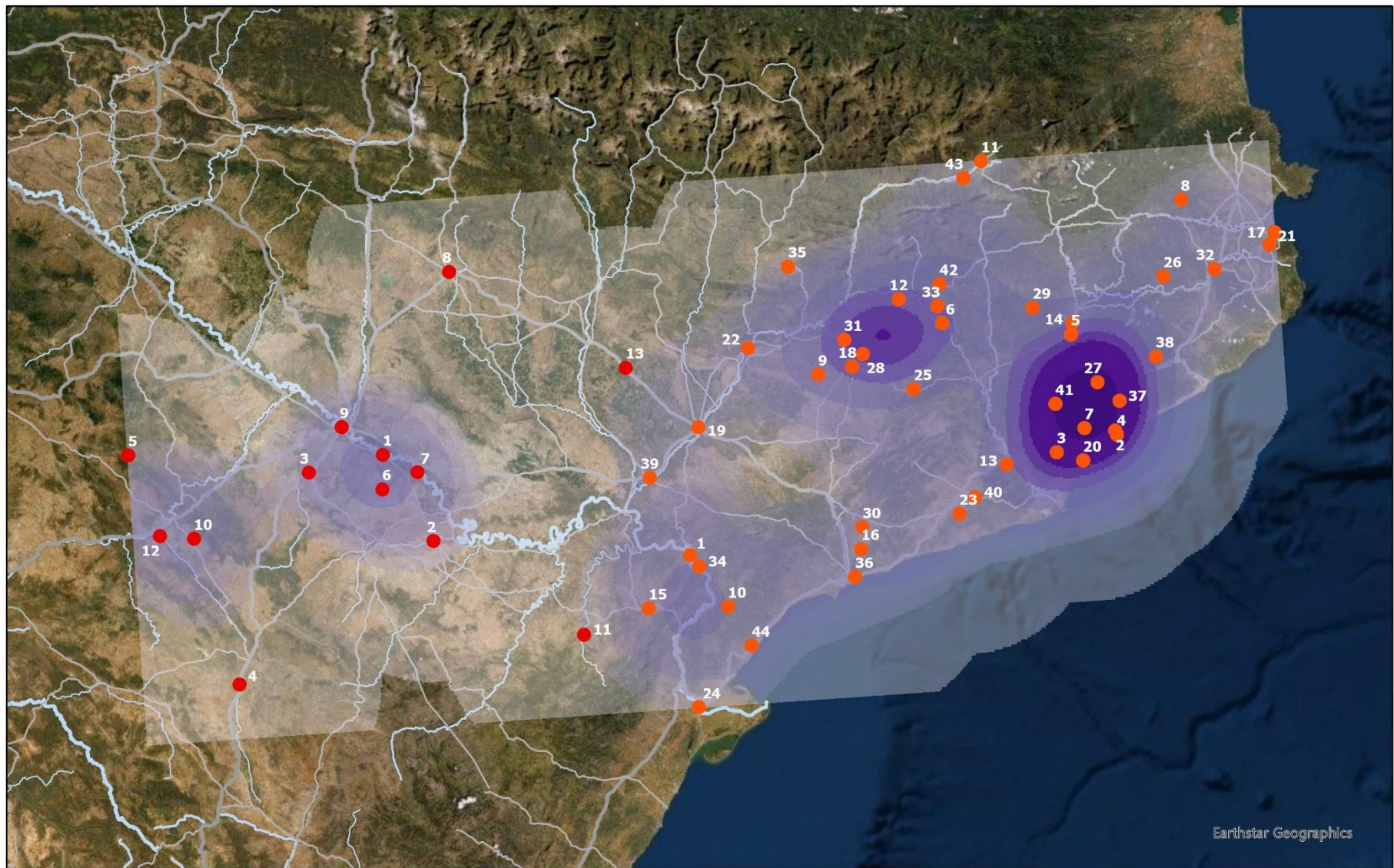


Fig. 19. Mapa con análisis de Kernel, donde se observan las áreas de mayor densidad de asentamientos. Se ha tenido en cuenta un área de 25 kilómetros alrededor del núcleo.



Yacimientos

- Cataluña
- Aragón

Análisis de Kernel 50km

VALUE

- ≤ 0,0008
- ≤ 0,001
- ≤ 0,0015

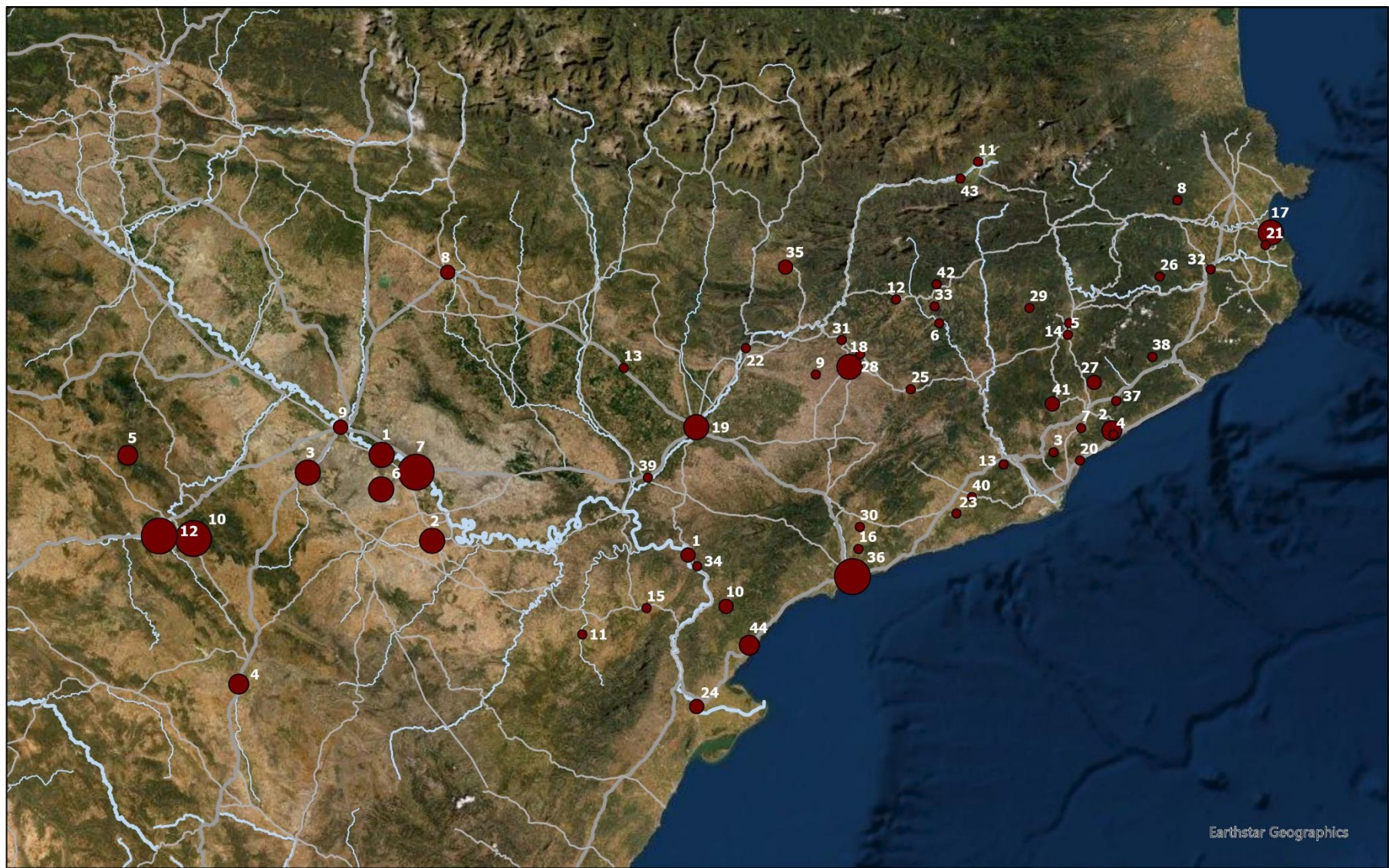
- ≤ 0,002
- ≤ 0,0023
- ≤ 0,0025
- ≤ 0,003
- ≤ 0,0032
- ≤ 0,003



0 10 20 40 60

Kilometers

Fig. 20. Mapa con análisis de Kernel, donde se observan las áreas de mayor densidad de asentamientos. Se ha tenido en cuenta un área de 50 kilómetros alrededor.



Hectáreas

- ≤3
- ≤7
- ≤13

- ≤22
- ≤50

Red viaria
— Via principal

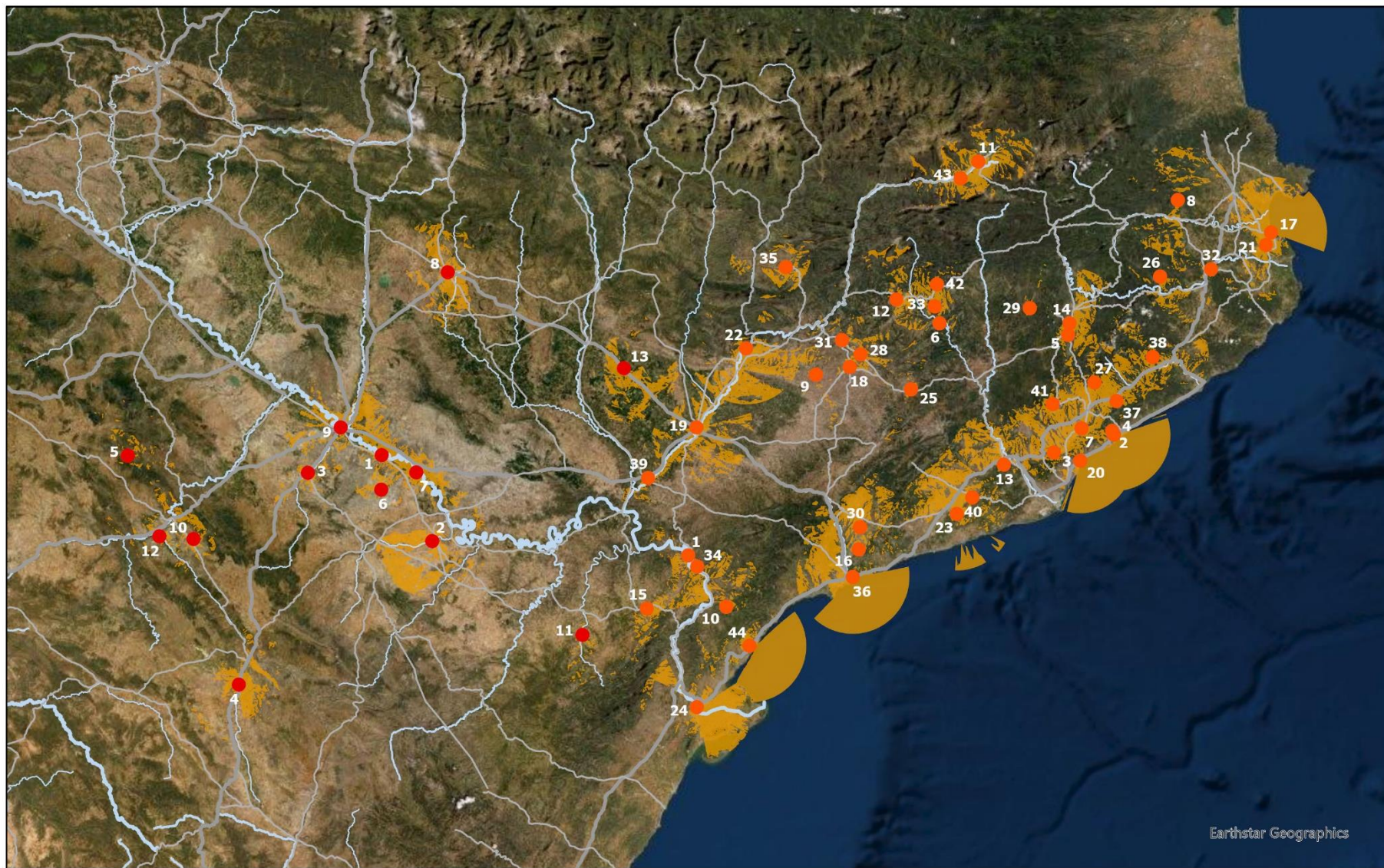
— Via secundaria
Red hidrográfica (Km)
— 100
— 150

— 200
— 500
— 1000



0 10 20 40 60
Kilometers

Fig. 21. Mapa donde se muestra las dimensiones de los asentamientos en hectáreas de forma graduada.



Yacimientos

- Cataluña
- Aragón

Viewshed yacimientos

Red viaria

Via principal

Via secundaria

Red hidrográfica (Km)

100

150

200

500

1000



0 10 20 40 60



Earthstar Geographics

Fig. 22. Mapa donde se muestra el campo de visibilidad de cada uno de los yacimientos. Así se puede determinar la visibilidad existente desde los asentamientos con presencia militar romanorrepública. Se ha tenido en cuenta una altura de 8 metros y un campo de visión máximo de 20 km.

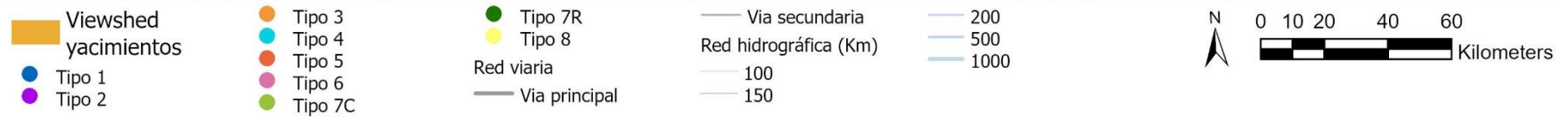
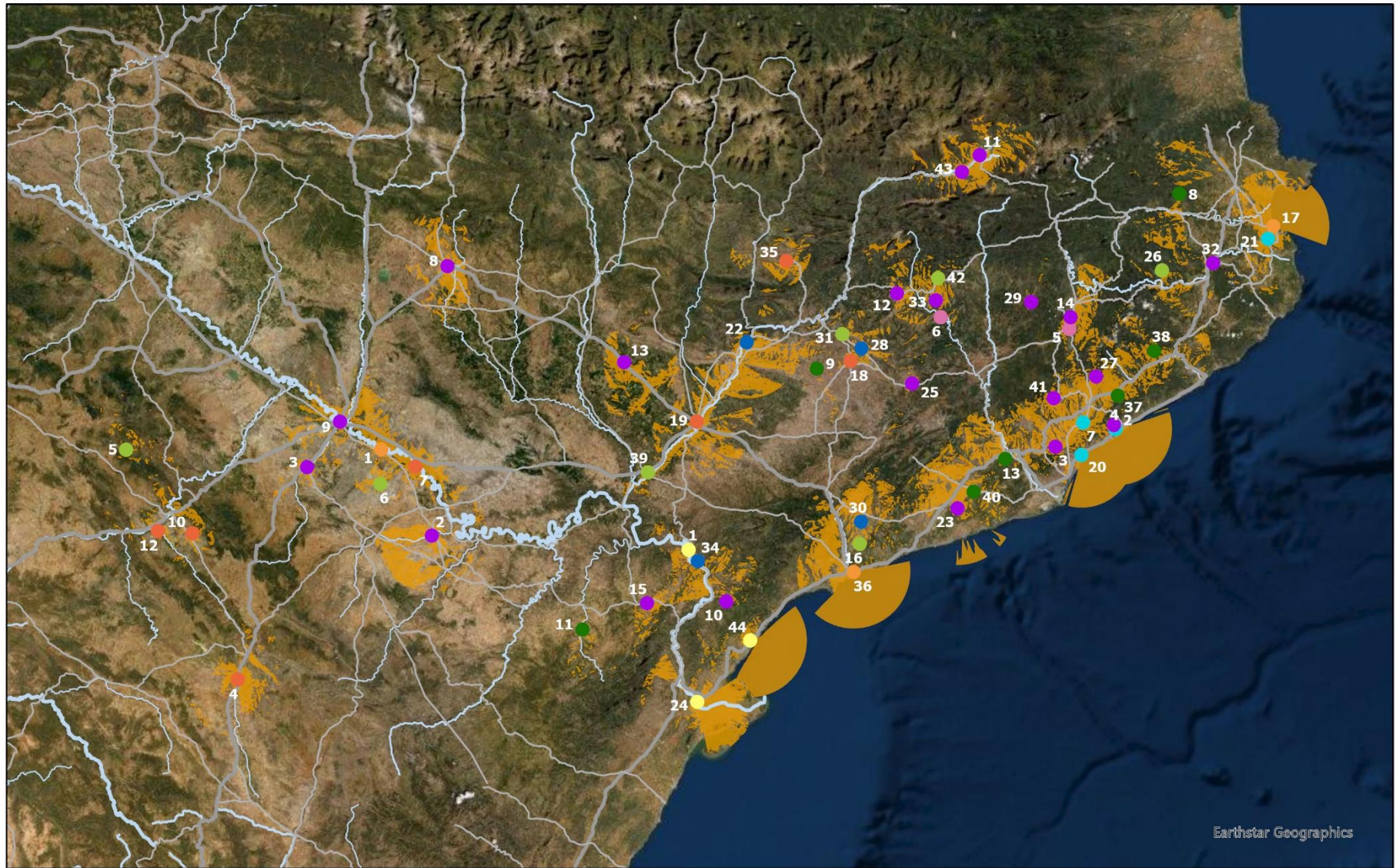


Fig. 23. Mapa donde se muestra el campo de visibilidad de cada uno de los yacimientos y la tipología propuesta. Se ha tenido en cuenta una altura de 8 metros y un campo de visión máximo de 20 km.

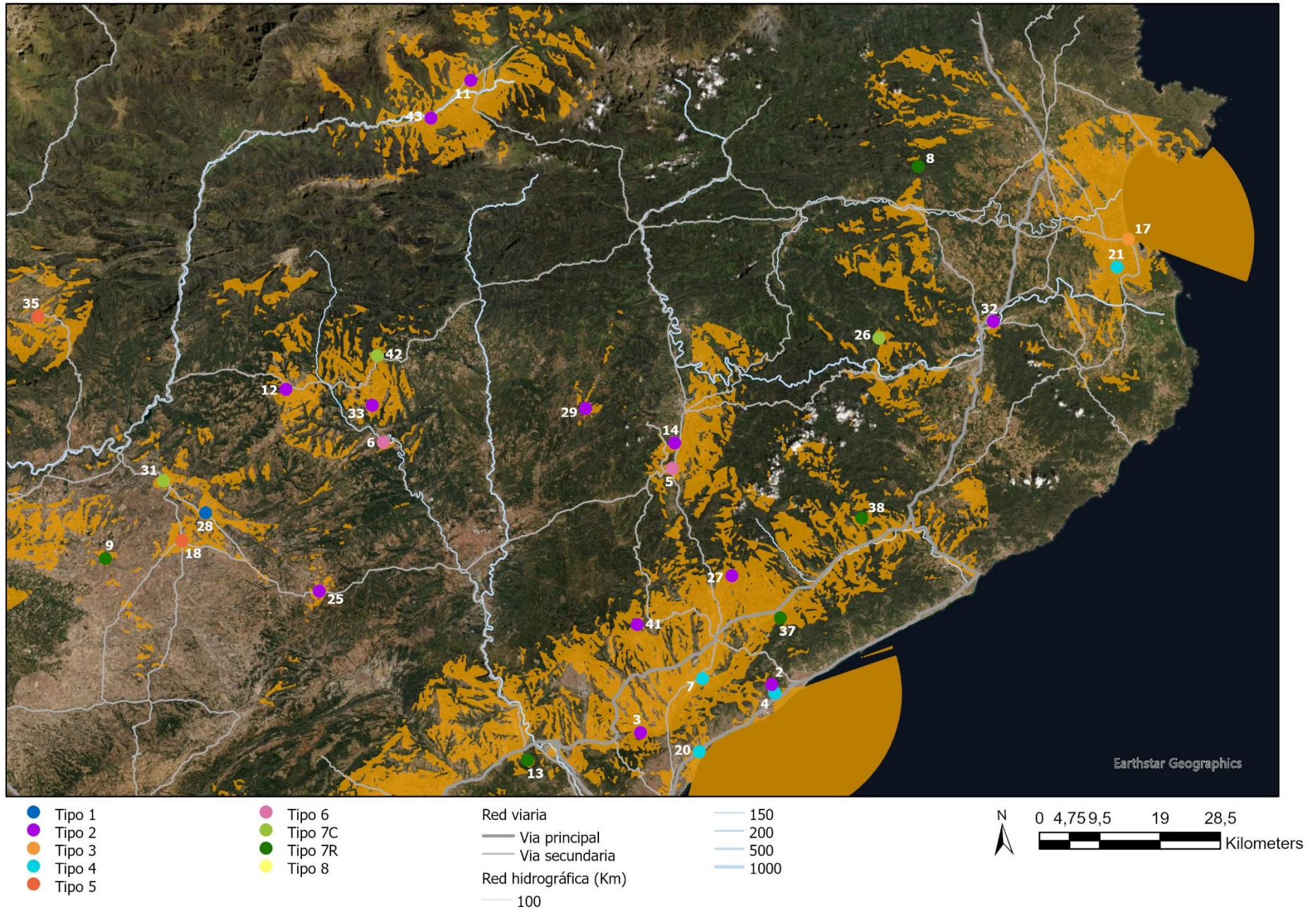


Fig. 24. Mapa de detalle del control del paso a la *Gallia Transalpina*, por el Coll de Perthus y Coll de Panissares, y por el valle de la Cerdanya.

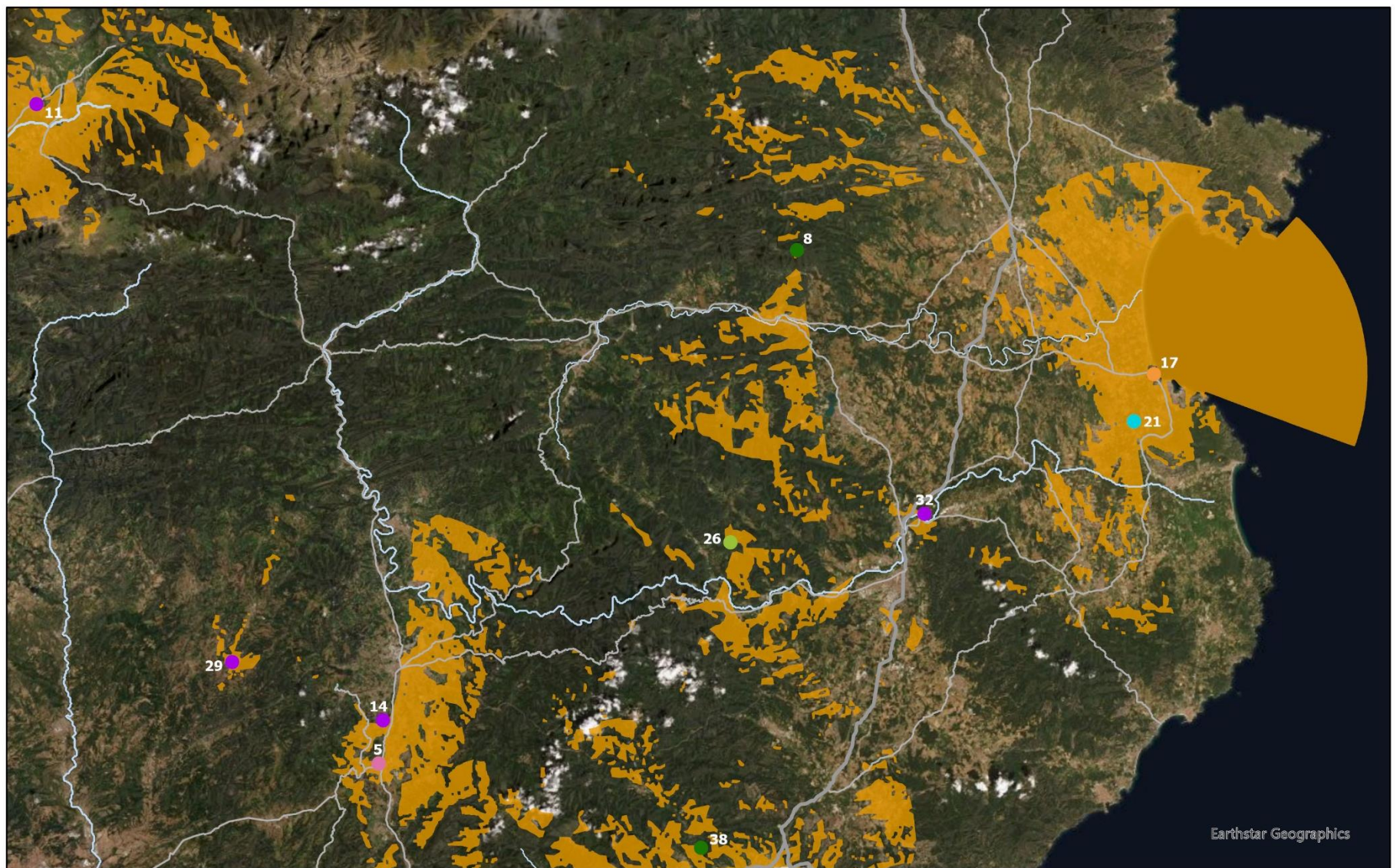


Fig. 25. Mapa de detalle del paso norte de la vía *Heraclea / Augusta* donde se muestra el campo de visibilidad de cada uno de los yacimientos.

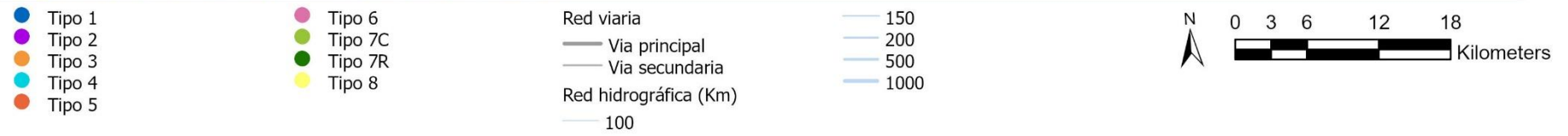
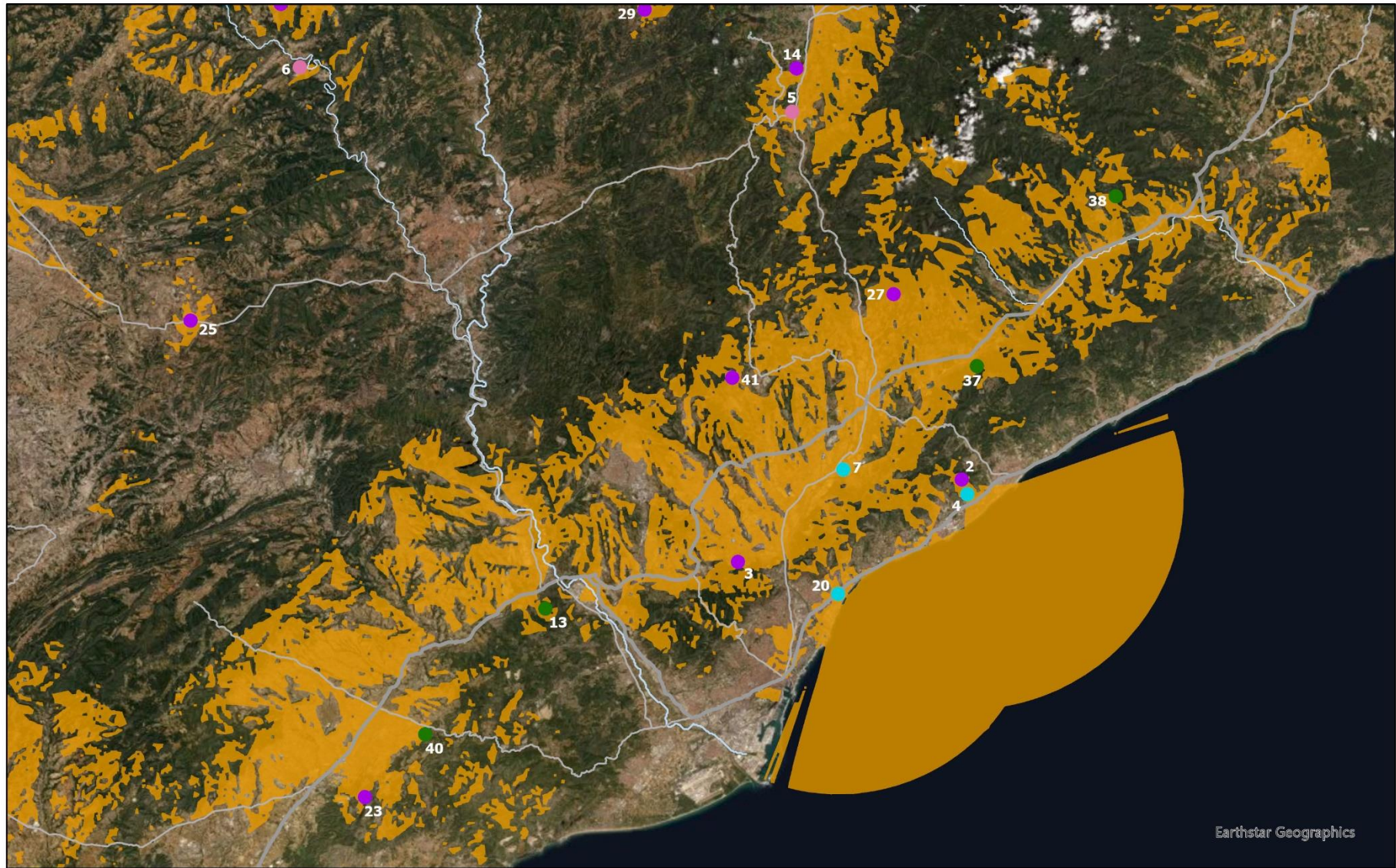


Fig. 26. Mapa de detalle del paso por la costa central de la vía *Heraclea / Augusta* donde se muestra el campo de visibilidad de cada uno de los yacimientos.



Fig. 27. Mapa de detalle del paso por la costa central sur de la vía *Heraclea / Augusta* donde se muestra el campo de visibilidad de cada uno de los yacimientos.

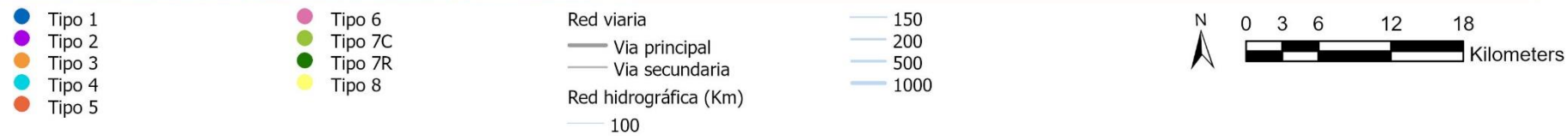
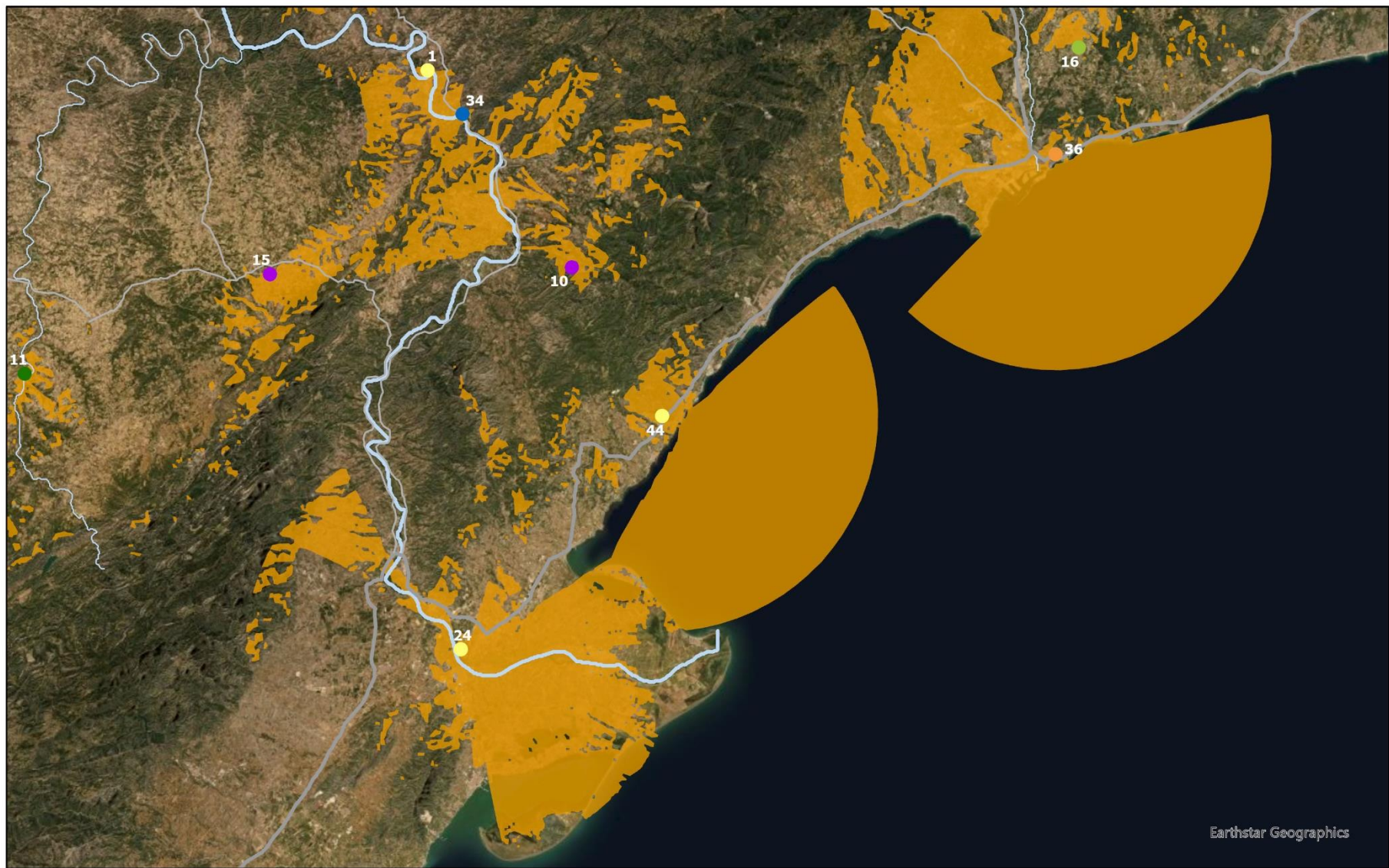


Fig. 28. Mapa de detalle del paso sur de la vía *Heraclea / Augusta* donde se muestra el campo de visibilidad de cada uno de los yacimientos.

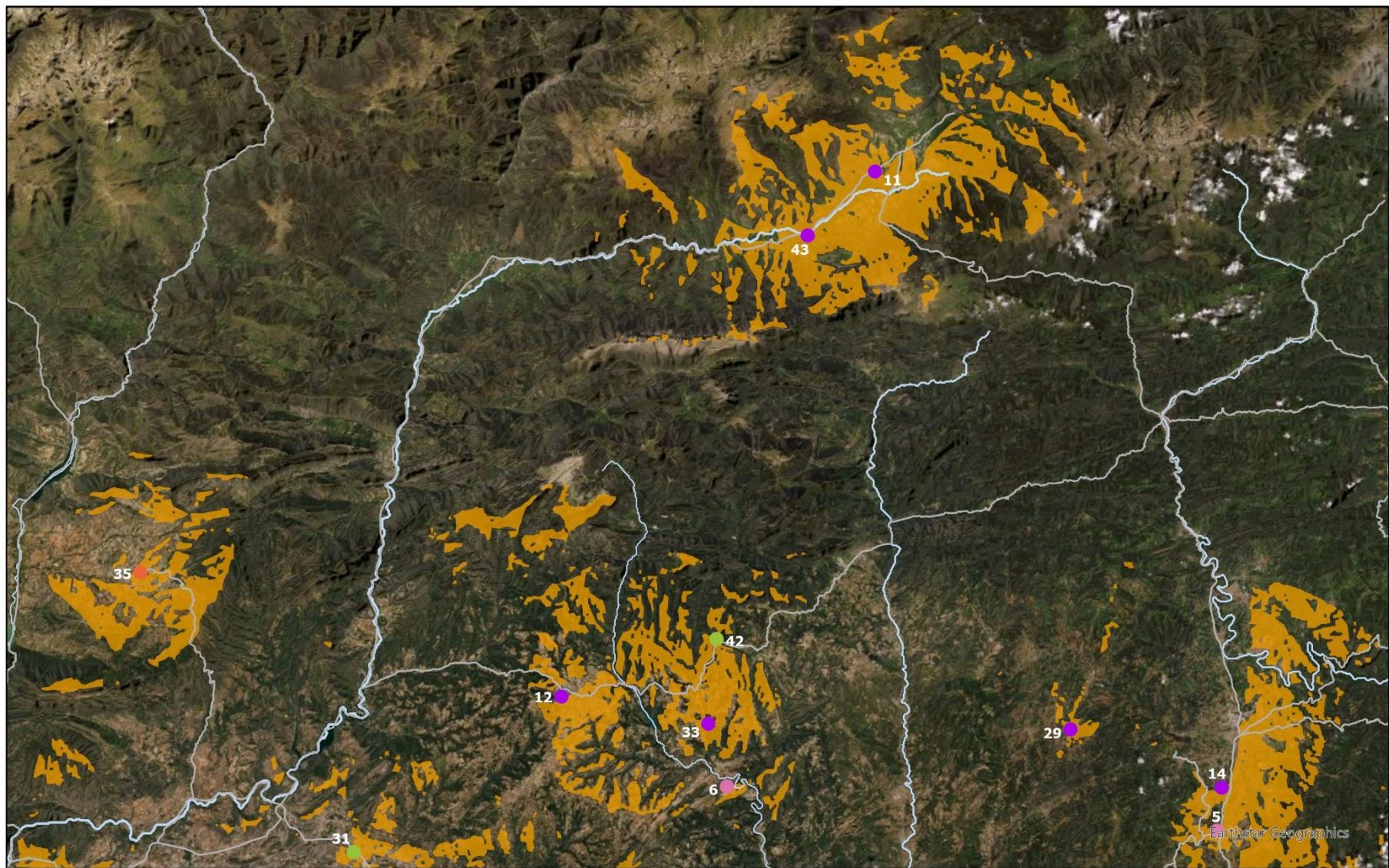


Fig. 29. Mapa de detalle campo de visibilidad de cada uno de los yacimientos ubicados en el Pirineo y Pre-Pirineo.

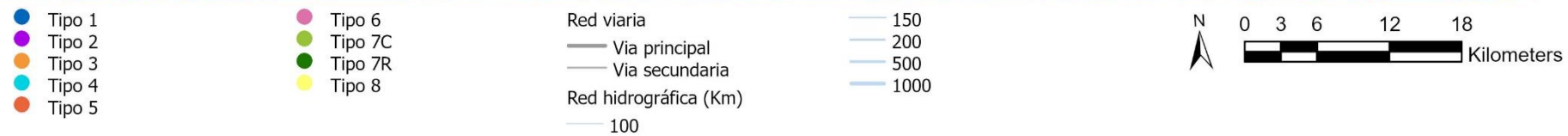
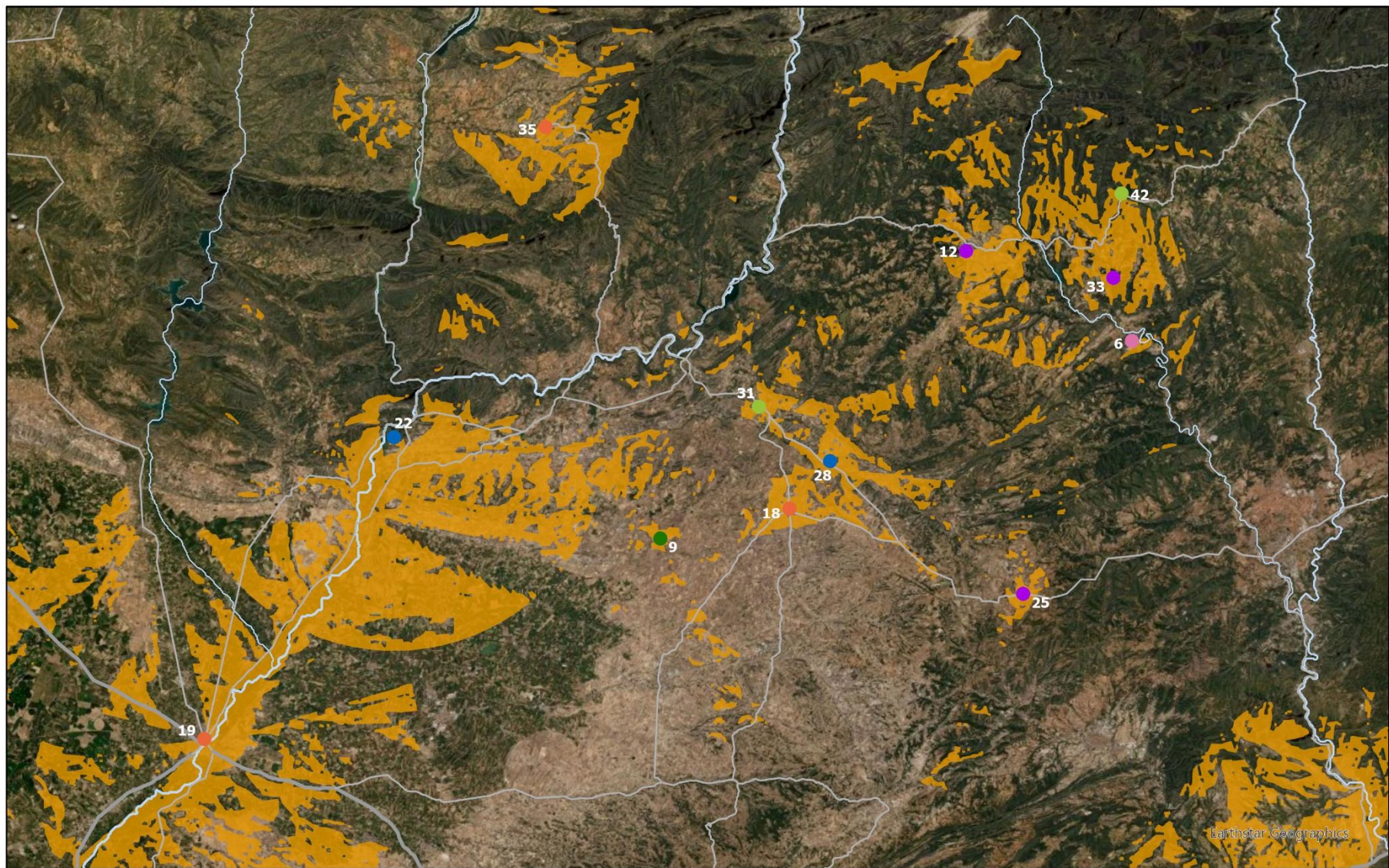


Fig. 30. Mapa de detalle campo de visibilidad de cada uno de los yacimientos ubicados en la Cataluña Central.

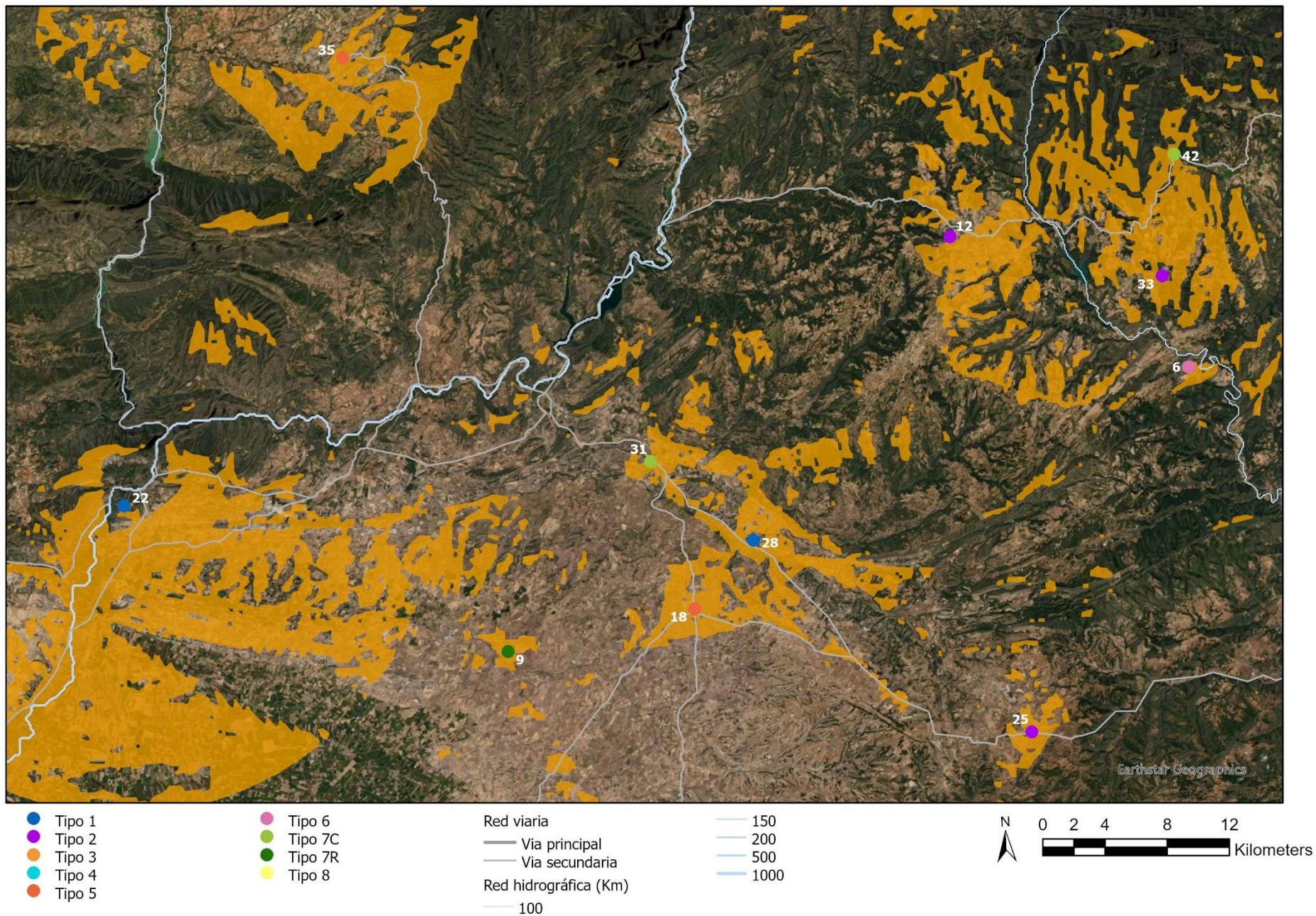


Fig. 31. Mapa de detalle campo de visibilidad de cada uno de los yacimientos ubicados en la Cataluña Central, en concreto del curso del río Llobregós.

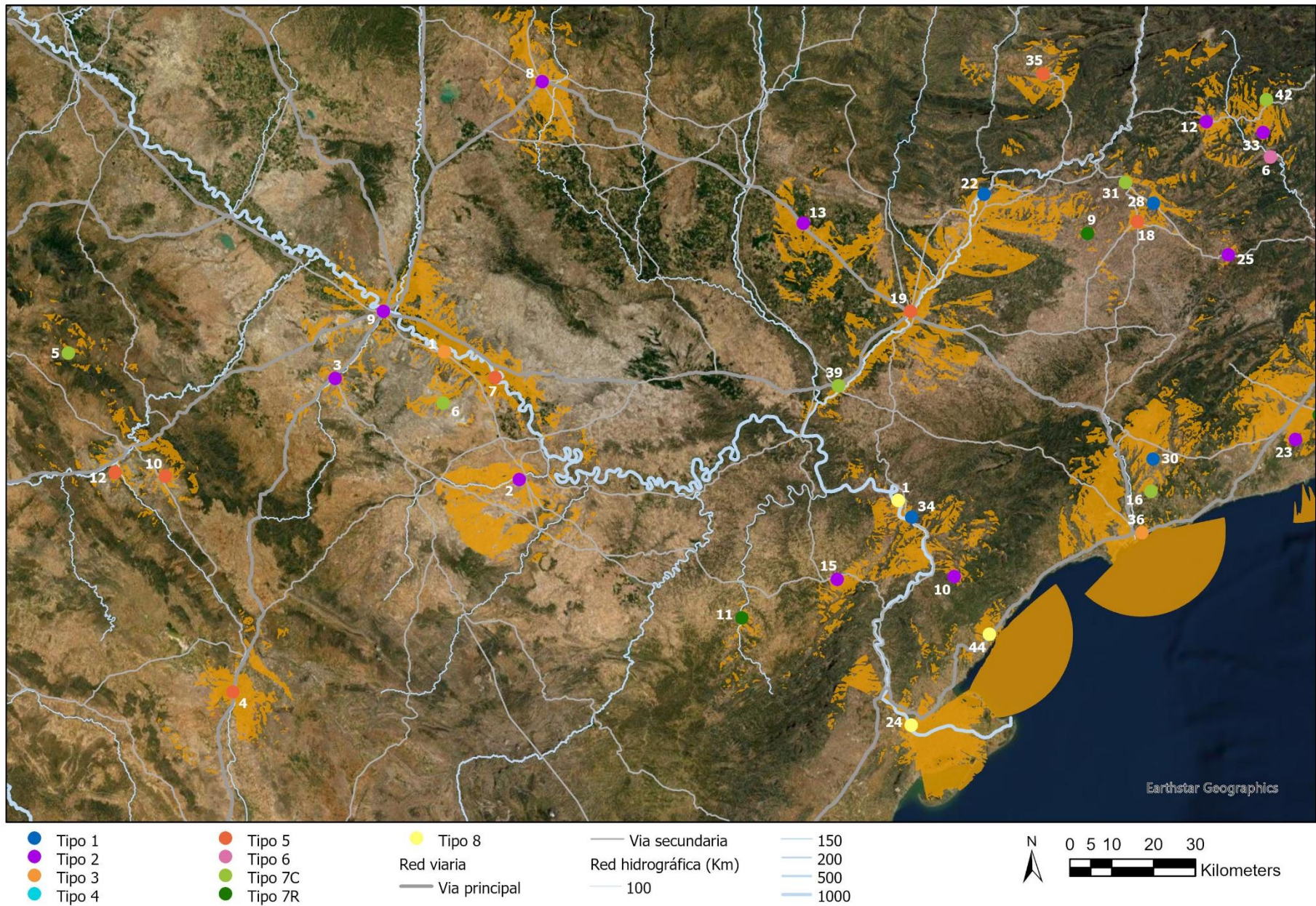


Fig. 32. Mapa de detalle campo de visibilidad de cada uno de los yacimientos ubicados en el curso del Ebro.

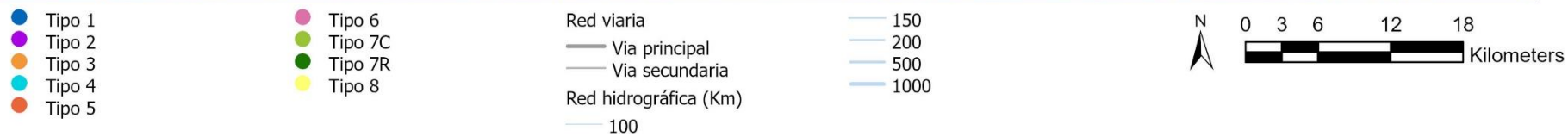
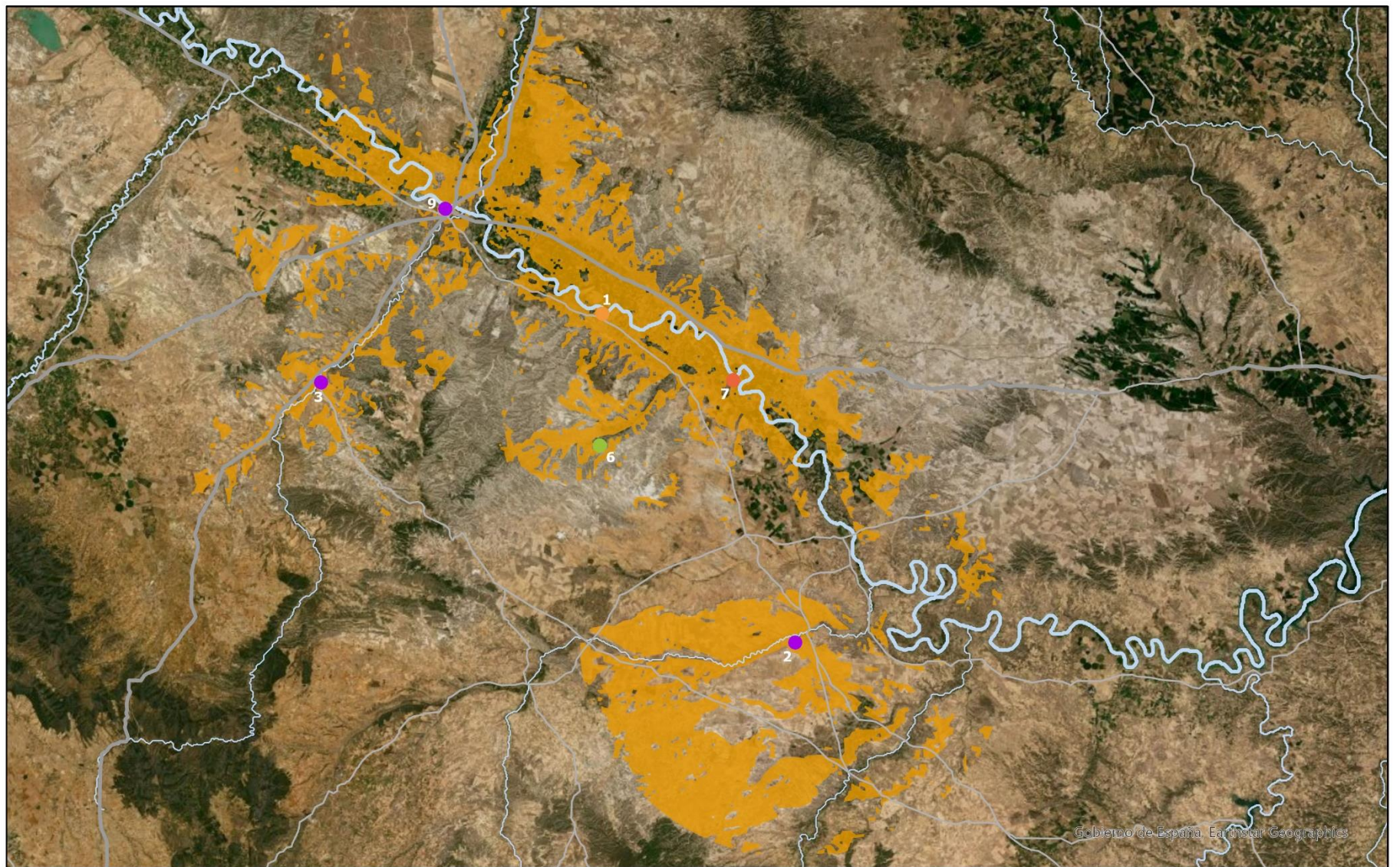


Fig. 33. Mapa de detalle campo de visibilidad de cada uno de los yacimientos ubicados en el curso central del Ebro.

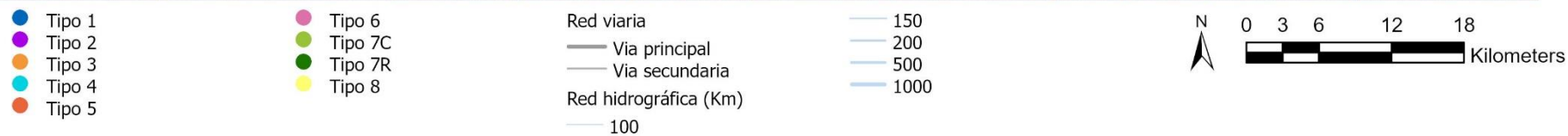
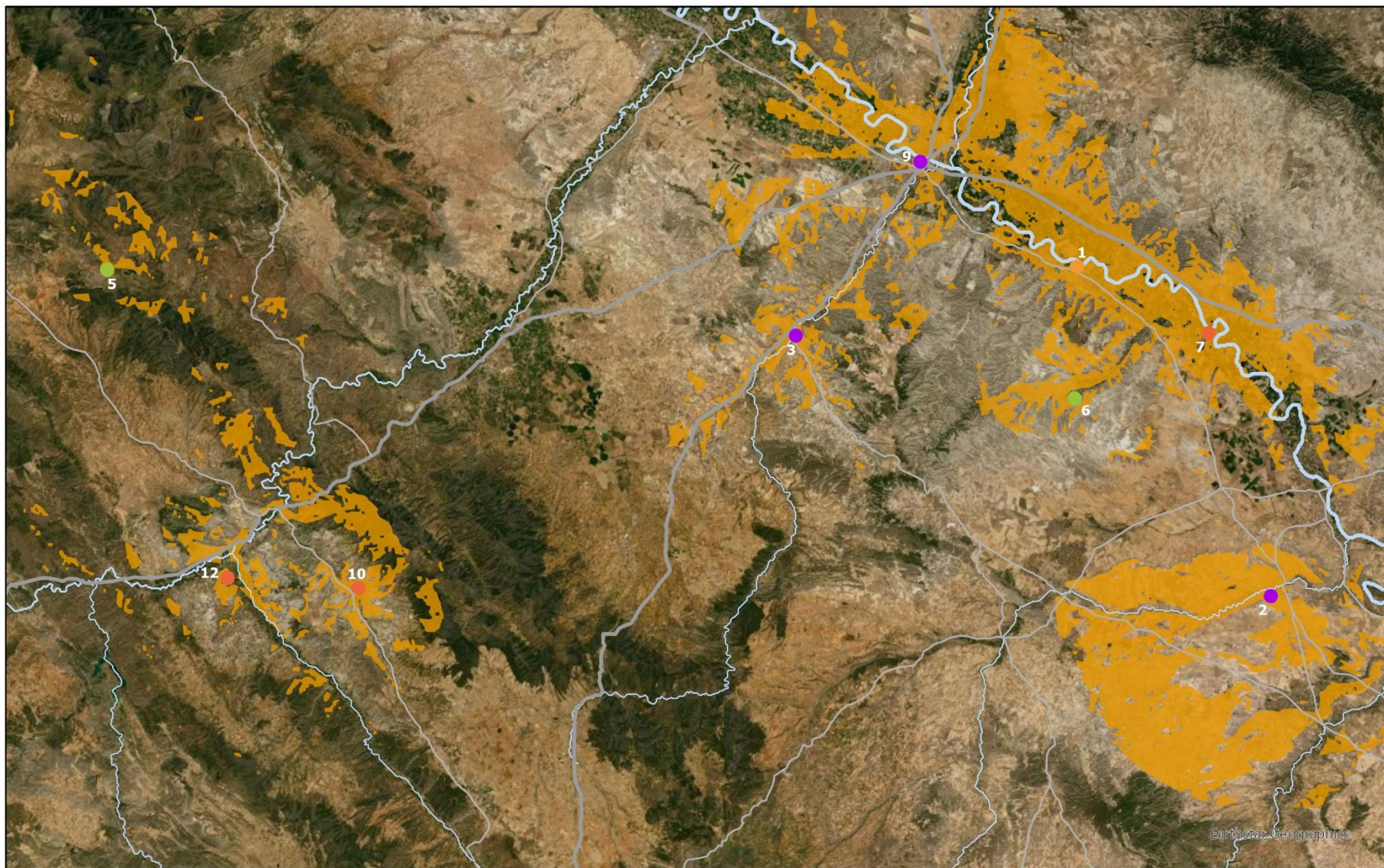


Fig. 34. Mapa de detalle campo de visibilidad de cada uno de los yacimientos ubicados en el paso hacia la Celtiberia y el curso de Jalón.



Yacimientos

- Cataluña
- Aragón

Red viaria

- Via principal
- Via secundaria

Red hidrográfica (Km)

- 100
- 150

- 200
- 500
- 1000



0 10 20 40 60



Kilometers

Fig. 35. Mapa con la selección de los asentamientos donde se ha identificado un sistema defensivo de tipo itálico.



Yacimientos

- Cataluña
- Aragón

Red viaria

- Via principal
- Via secundaria

Red hidrográfica (Km)

- 100
- 150

- 200
- 500
- 1000

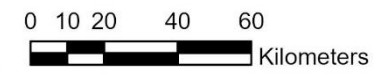


Fig. 36. Mapa con la selección de los asentamientos donde se ha identificado un edificio singular.



Yacimientos

- Cataluña
- Aragón

Red viaria

- Via principal
- Via secundaria

Red hidrográfica (Km)

- 100
- 150

- 200
- 500
- 1000



0 10 20 40 60

Kilometers

Fig. 37. Mapa con la selección de los asentamientos donde se ha identificado cisternas con técnica constructiva itálica.



Fig. 38. Mapa con la selección de los asentamientos donde se ha identificado un complejo termal.



Yacimientos

- Cataluña
- Aragón

Red viaria

- Via principal
- Via secundaria

Red hidrográfica (Km)

- 100
- 150

- 200
- 500
- 1000



0 10 20 40 60

Kilometers

Fig. 39. Mapa con la selección de los asentamientos donde se ha identificado templos de tipología itálica.



Fig. 40. Mapa con la selección de los asentamientos donde se ha identificado *horrea*.



Yacimientos

- Cataluña
- Aragón

Red viaria

- Via principal
- Via secundaria

Red hidrográfica (Km)

- 100
- 150

- 200
- 500
- 1000



0 10 20 40 60



Kilometers

Fig. 41. Mapa con la selección de los asentamientos donde se ha identificado estructuras domésticas de tipo itálico.



Yacimientos

- Cataluña
- Aragón

Red viaria

- Via principal
- Via secundaria

Red hidrográfica (Km)

- 100
- 150

- 200
- 500
- 1000



0 10 20 40 60



Fig. 42. Mapa con la selección de los asentamientos donde se han identificado elementos de *militaria*.

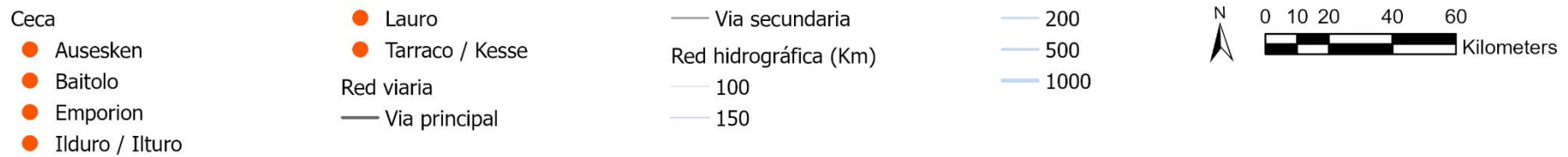


Fig. 43. Mapa donde se indican los asentamientos donde se acuñó moneda y el nombre de la ceca.

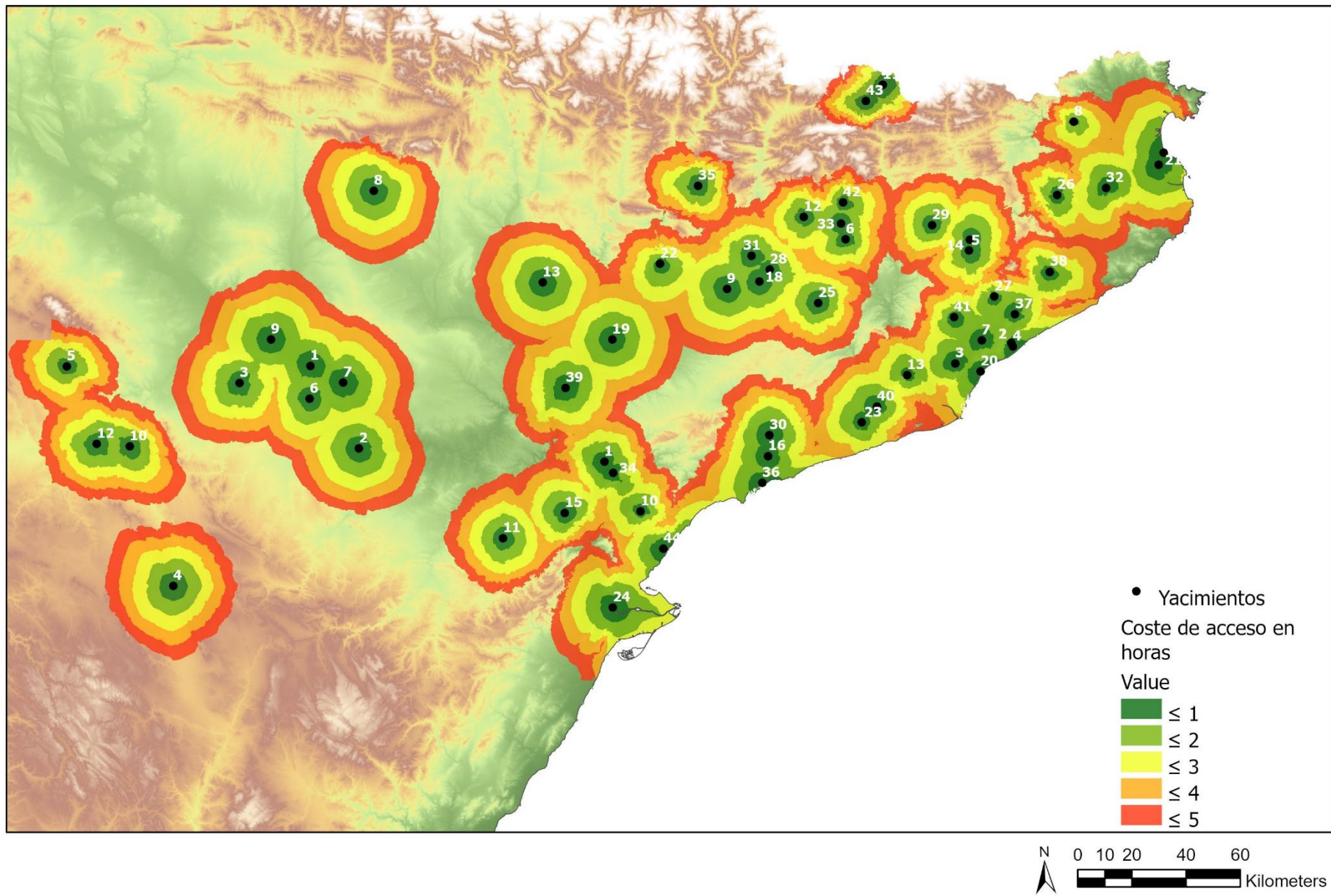


Fig. 44. Mapa en el que se analizan los costes de acceso desde los yacimientos en un tiempo entre 1 y 5 horas de marcha.

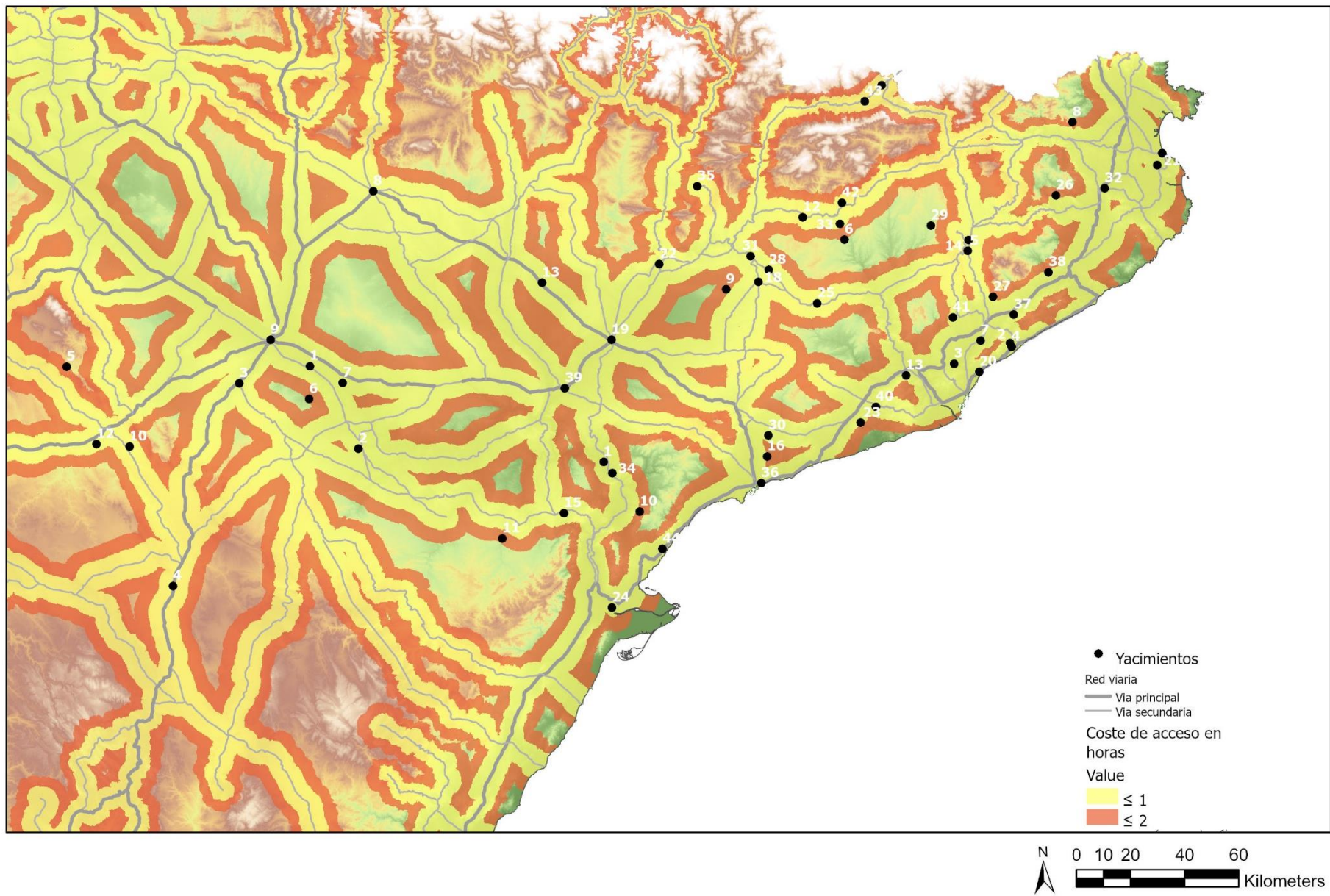


Fig. 45. Mapa en el que se analizan los costes de acceso desde cualquier punto de la red viaria en un tiempo entre 1 y 2 horas de marcha.

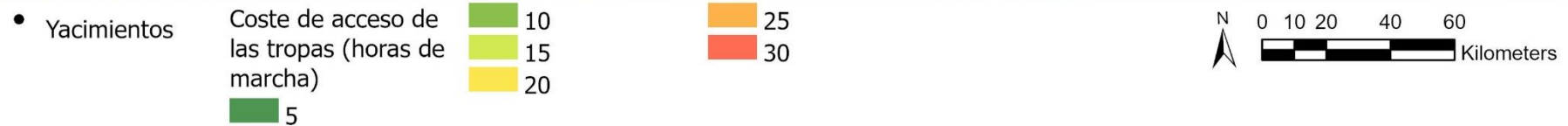
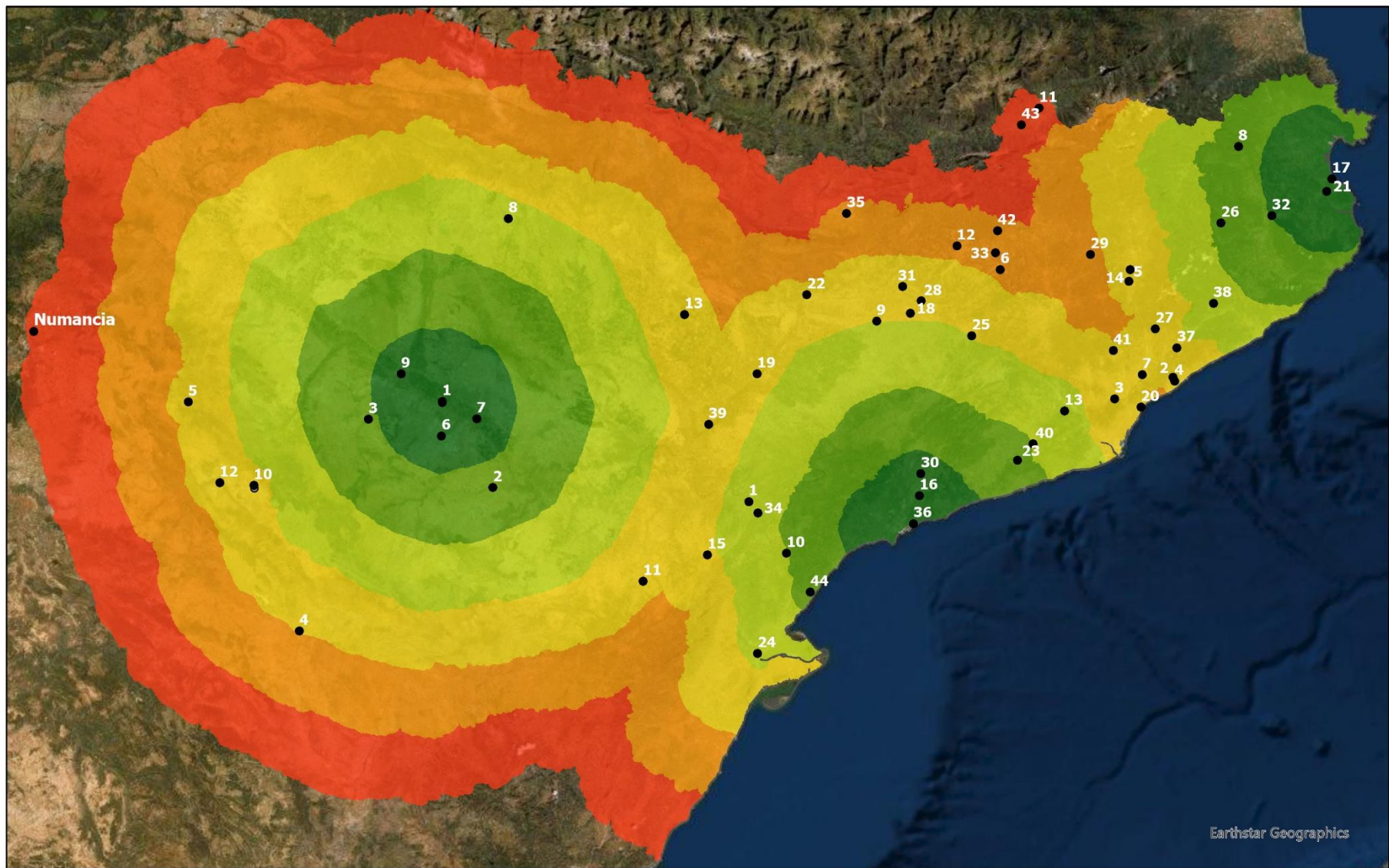


Fig. 46. Mapa donde se representa el coste de tiempo (en horas) del desplazamiento de tropas desde los campamentos y centros administrativos de *Tarraco*, *Emporion* y *La Cabañeta*.

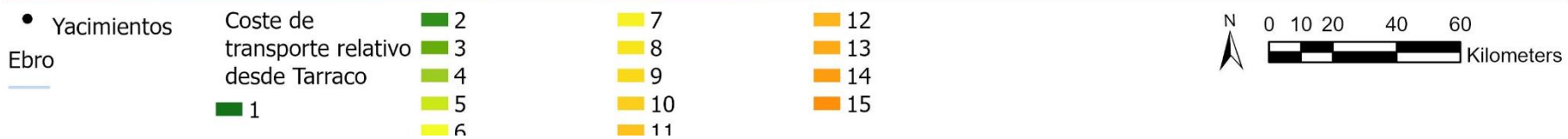
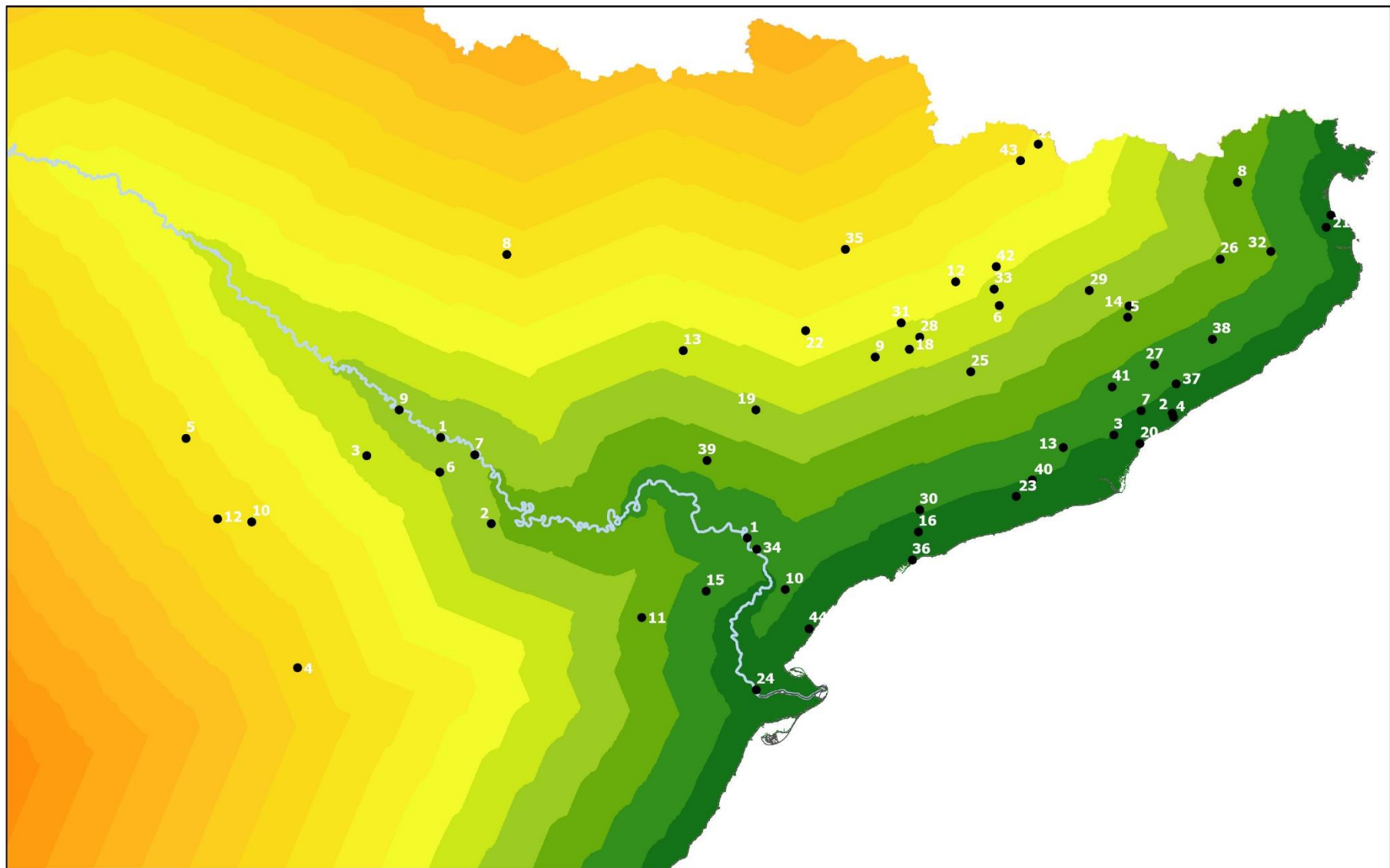


Fig. 47. Mapa donde se representa el coste de transporte relativo y acumulativo de mercancías desde *Tarraco*. Se ha tenido en cuenta el transporte marítimo, fluvial por el Ebro y terrestre con mula.

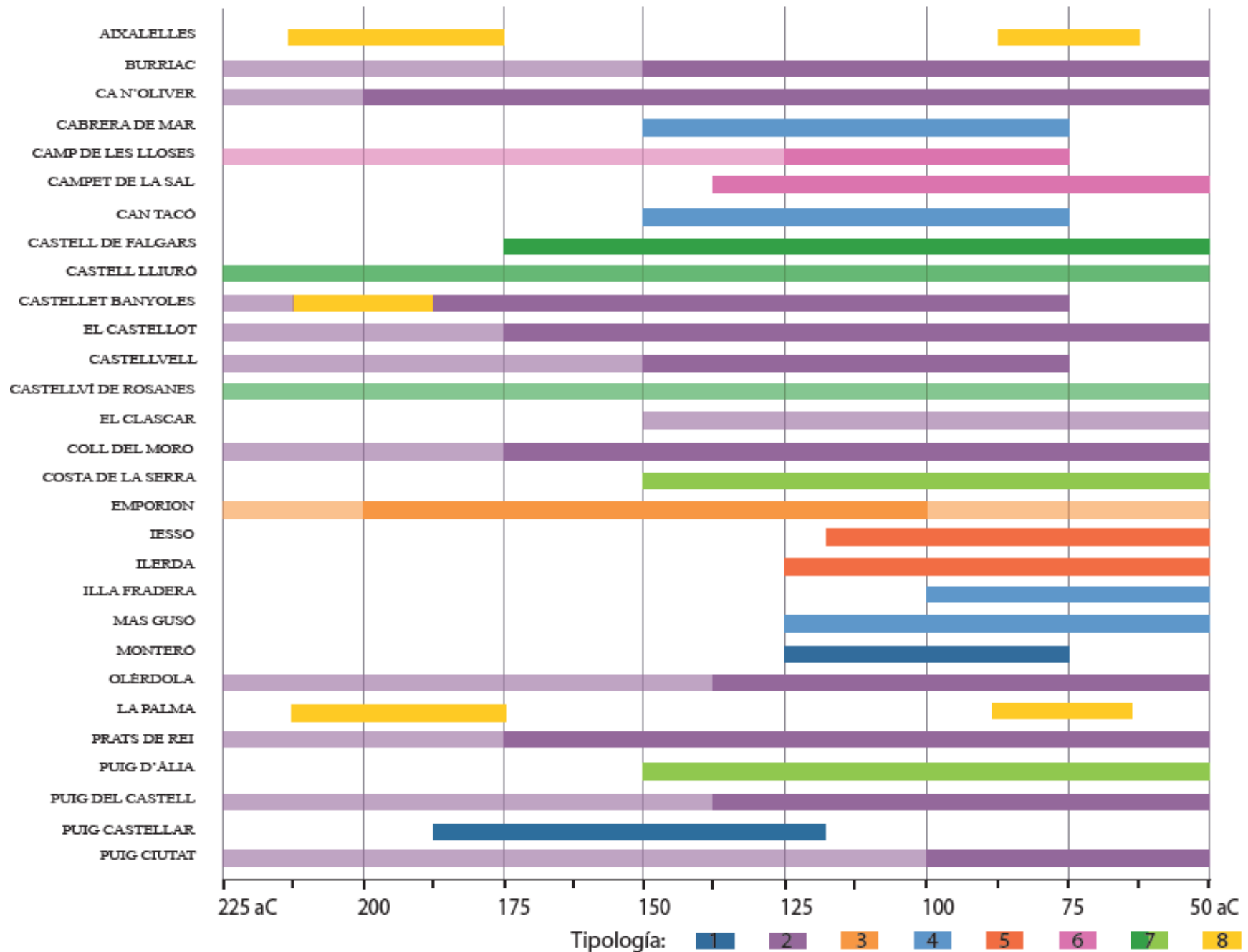


Fig. 48. Friso cronològic en el que se indica també la tipologia proposta.

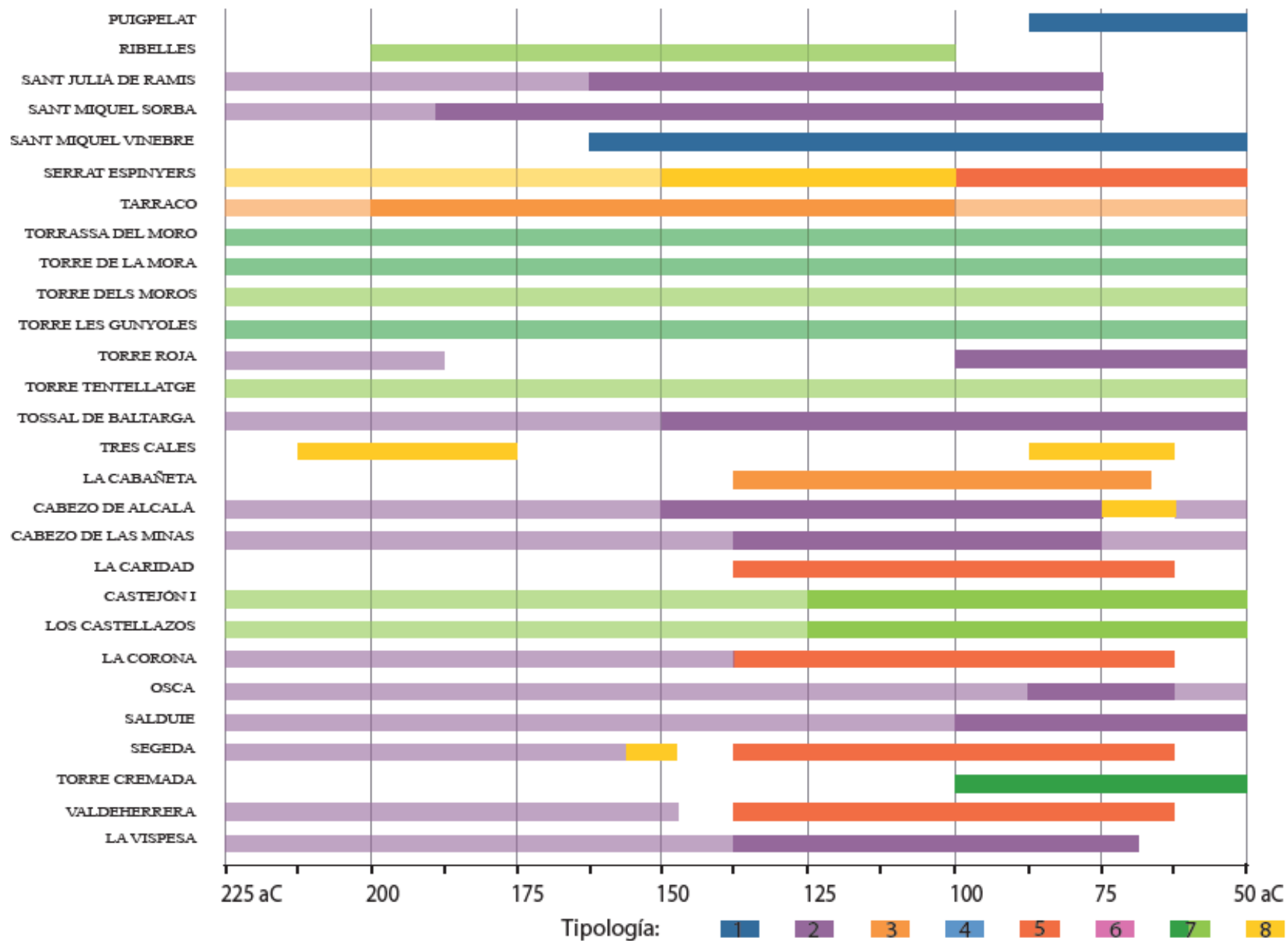


Fig. 49. Friso cronológico en el que se indica también la tipología propuesta.

APÉNDICE III. CRONOLOGÍA MÁS RELEVANTE

218:

- Inicio de la Segunda Guerra Púnica (218-201 a.C.).
- Aníbal se dirige a Italia con la intención de trasladar allí el conflicto, cruzando los Pirineos y los Alpes.
- Dos legiones del ejército romano desembarcan a *Emporion*.
- Los hermanos *Publius Cornelius Scipio* y *Gnaeus Cornelius Scipio* se encargan de dirigir el frente hispano.
- Se produce la primera intervención militar romana en *Hispania*.
- Batalla de *Kesse* con victoria romana.
- Los hermanos Escipión establecen su base operativa a *Kesse-Tarraco*, que se convierte en *castra hiberna*.
- Batallas de *Atanagrum* y *Ausa*.
- Fundación de *Cremona* y *Placentia*.

217

- Batalla del Ebro.
- Batalla de *Carthago Nova*.

216

- Aníbal consigue la primera gran victoria sobre los romanos en la batalla de Cannas.
- Roma intensifica la flota en el Mediterráneo para evitar la llegada de los suministros a Aníbal.

215

- Batalla de *Hibera* con la participación de Cneo Cornelio Escipión y Asdrúbal. Victoria romana que impide que el general cartaginés acuda a Italia para apoyar a Aníbal.
- Muerte de Hierón de Siracusa.
- Alianza de Aníbal con Filipo V de Macedonia.
- Primera Guerra Macedónica (215-205 a.C.).

214

- Guerra entre Asdrúbal y Sifax.
- Sitio de Siracusa (214-212 a.C.).

212

- Conquista de Tarento por Aníbal.
- Roma acepta mercenarios celtíberos entre sus filas.
- Batalla de *Castulo* e *Ilorra*.

211

- Marcha de Aníbal sobre Roma.
- Derrota de los hermanos Escipión. Publio cae *Cástuo* y Cneo en *Ilurgeia* o *Olorci*.

-La muerte de los carismáticos generales supone un gran golpe para el ejército romano, y evidencia la necesidad de nuevos refuerzos para el ejército.

-Sitio de *Capua*.

210

-Se inicia la segunda fase de la guerra con la llegada de *Publius Cornelius Scipio Africanus*.

-Escipión desembarca en *Emporion*.

209

-Escipión ocupa *Carthago Nova* a la primavera de este año. Mediante el ataque simultáneo terrestre y naval.

-Liberación de la esposa de Mandonio y de las hijas de Indíbil, provocando el abandono del ejército de Asdrúbal por parte de los ilergetes.

-Las tropas romanas se retiran a *Tarraco*.

208

-Batalla de *Baecula*, con victoria romana.

-Inicio de la expedición de Asdrúbal a Italia.

207

-Derrota de Asdrúbal Barca en Italia a orillas del Metauro. Asdrúbal muere en combate.

206

-Batalla de *Iliipa* con victoria romana. Como consecuencia se funda en sus proximidades la primera fundación de veteranos itálicos en la península ibérica, *Italica*.

-*Gades* se entrega a Roma.

-Los cartagineses son expulsados de *Iberia*.

-Sublevación de *Indibil* y *Mandonio* que son derrotados por Escipión e implican duras condiciones de paz.

205

-Fin de la Primera Guerra Macedónica.

-Escipión regresa a Roma para presentarse a cónsul.

-Marco Junio Silano se encarga del ejército de *Hispania*.

-Nuevo intento de sublevación de *Indibil* y *Mandonio*, que una vez más es sofocado por Roma.

-Roma envía a Lucio Cornelio Lentulo y Lucio Manlio Acidino en calidad de procónsules.

204

-Desembarco de Escipión en África.

202

-Aníbal, aún en la península itálica, es requerido para defender la capital.

- Gran batalla de *Zama* que acaba con la victoria romana sobre los cartagineses.
- Aníbal huye a *Hadrumetum* (Susa).
- Se produce el tratado de paz que finalizará con la Segunda Guerra Púnica.

201

- Una embajada llega a Roma en el año 201 a.C. para exponer la grave situación en que se encontraba Oriente por las empresas expansionistas de Filipo y Antíoco

200

- Guerra entre los celtas de la Galia Cisalpina y Roma. Rebelión de los boyos y los insubros (200-190 a.C.)
- Inicio de la Segunda Guerra Macedónica (200-197 a.C.).

197

- División de *Hispania* en dos provincias (*Citerior* y *Ulterior*).
- Se documentan varias revueltas indígenas en *Hispania*.

195

- El cónsul Marco Porcio Catón es enviado a *Hispania* con el objetivo de reducir y someter las revueltas indígenas.
- Catón consigue derrotar a varios pueblos, como los ausetanos, bargusios, edetanos, suesetanos, berguistanos, lacetanos y otros pueblos.

194

- Continúan las campañas de Catón.
- Después de la marcha de Catón, Esipión Nasica tuvo que contener una nueva revuelta.
- Toma de *Iaca* y “fin” de la guerra en la *Citerior*.

193

- El gobernador de la *Ulterior* en el año 193 a.C., Marco Fluvio Nobilior aumenta el área de dominio, incorporando el Valle del Guadiana, el Tajo y el Ebro.
- Toma de *Toletum* por parte de Nobilior.

192

- Guerra contra Antíoco III (192-188 a.C.). Finalizará con la Paz de Apamea (188 a.C.).

189

- Fundación de *Bononia*.

188

- Nuevas sublevaciones de lusitanos y celtíberos.
- Fundación de *Forum Livi*.
- Paz de Apamea.

187

- Lucio Manlio Acidino consigue vencer a los celtíberos del Valle del Ebro, cerca de

Calagurris.

-Construcción de la vía *Emilia*.

184

-Catón censor. Proceso a Publio Cornelio Escipión por corrupción.

-Fundación de *Pisaurum*.

183

-Muerte de Escipión el Africano y de Aníbal.

-Fundación de *Mutina* y *Parma*.

181

-Inicio de la Primera Guerra Celtibérica (181-178 a.C.)

-Publio Manlio gobernador la *Ulterior* y Quinto Fulvio Flaco de la *Citerior*.

-Fundación de *Aquileia*.

180

-Tiberio Sempronio Graco, logra rendir más de 100 plazas.

-Tiberio Sempronio Graco, juntamente con Lucio Postumio Albino, para la *Ulterior*.

-Fundación de *Luca* y *Albintimilium*.

179

-Segunda guerra contra los *Istri* (179-178 a.C.)

-Tiberio Sempronio Graco recorre la *Citerior* por el valle del Jalón y llega hasta Ercauica (Castro de Santaver, Cuenca). Firma un tratado de paz con los arévacos, titos, belos y lusones, en el que estos pueblos se comprometen a no edificar nuevas ciudades, a aportar auxiliares al ejército romano y a pagar tributos.

-Fundación de *Gracchurris* por parte de Tiberio Sempronio Graco.

171

-Inicio de la Tercera Guerra Macedónica (171-168 a.C.). Perseo, hijo de Filipo V, trata de recuperar la hegemonía de Macedonia sobre Grecia.

-Una delegación de *Hispania* protesta contra el abuso de la autoridad de los gobernantes romanos ante el Senado.

-El Senado se comprometió a que no volverían a producirse abusos, ordenando el pretor de las dos provincias, Lucio Canuelio, que investigara la actuación de los pretores precedentes, acusados de extorción.

-Fundación de la colonia de *Carteia*.

168

-Batalla de Pidna que pone fin de la Tercera Guerra Macedónica

154

-Inicio de la Segunda Guerra Celtibérica (154-152 a.C.).

-*Segeda* amplía su sistema defensivo para acoger en su interior a los titos.

155

-Inicio de las Guerras Lusitanas (155-139 a.C.).

153

-El Senado otorga al cónsul Quinto Fluvio Nobilior, el gobernante de la *Citerior*, la dirección del ejército para asediar *Segeda*.

-Los segedanos, ante la imposibilidad de vencer el gran ejército romano acuden a refugiarse en el territorio numantino.

-Los pueblos celtíberos acosados por las tropas romanas, entre ellos *belos* y *arévacos*, nombran dirigente militar común a Caro, un habitante de *Segeda*.

-Nobilior con la ayuda del rey Masinisa de Numidia atacaron Numacia. Acaba con la derrota romana.

152

-Sustituye a Nobilior, Marco Claudio Marcelo, quien llega a *Hispania* con un refuerzo de 8.000 infantes y 500 jinetes (App. *Iber.* XLIX). Su primera táctica es no dirigirse directamente a Numancia, sino que primeramente castigó la rebelión de los habitantes de *Ocilis*, en la *Celtiberia Citerior*.

151

-El cónsul Lucio Licinio Luculo sustituye a Marcelo.

-Marcelo otorga a los pueblos celtíberos las mismas condiciones que había impuesto Graco y empieza un período de estabilidad que durará hasta el 143 a.C., finalizada por la rebelión de Viriato.

150

-El nuevo pretor de la *Ulterior*, Servio Sulpicio Galba provocará nuevas protestas y revueltas y un aumento de la desconfianza de los indígenas frente a los romanos. Será uno de los supervivientes el que liderará una lucha contra Roma: Viriato.

149

-Se inicia la Tercera Guerra Púnica (149-146 a.C.).

148

-Anexión de Macedonia, pasa a ser provincia romana.

-Construcción de la vía *Postumia*.

147

-Viriato es elegido caudillo por los lusitanos.

-Revolta de Viriato (147-139 a.C.).

-Viriato vence a Cayo Vetilo, gobernador de la *Ulterior*.

-Toma de Cartago por Publio Cornelio Escipion Emiliano. Escipion recibe el cognomen *honoris causa de Africanus*.

-Creación de la provincia romana de África.

-Actuaciones de Viriato en la Carpetania, con sucesivas derrotas de las tropas romanas.

146

-Los pretores de este año, Cayo Plaucio y Claudio Unimano, unieron sus fuerzas para combatir a Viriato, que poco a poco había ido consiguiendo un grupo más grande de apoyo y que llegó a vencer nuevamente a los pretores.

-Destrucción de Corinto y Cartago, y finaliza la Tercera Guerra Púnica.

-Cartago se convierte en la nueva provincia romana de África.

144

-Victorias sucesivas de los ejércitos de *Hispania* sobre los lusitanos.

143

-Inicio de la Tercera Guerra Celtibérica (143-133 a.C.).

-Quinto Cecilio Metelo Macedonico, cónsul ese año, es enviado a la Citerior para someter otra sublevación a la Celtiberia.

142

-Victorias de Quinto Fabio Maximo Serviliano, enviado a la *Hispania Ulterior* para derrotar a los lusitanos.

-Viriato decide negociar con Roma, hasta otorgarle el título de “amigo del pueblo romano”, pero los romanos no se conforman.

141

-Quinto Pompeyo Aulo vence a los arévacos y numantinos. Tras esa inicial victoria se producen numerosas derrotas.

-Viriato derrota a Quinto Fabio Maximo Serviliano.

140

-Viriato es ratificado por el Senado como *amicus populi romani*.

-El nuevo cónsul designado, Quinto Servilio Cepion, consigue que el Senado le autorice para proseguir la guerra. Viriato se ve obligado a replegarse a en la Carpetania.

139

- Viriato llega a un pacto con Quinto Servilio Cepion, con la entrega a varios desertores.

-Quinto Pompeyo fracasa una vez más en *Numantia*. Se acuerda un pacto para restablecer la paz, pero el Senado rechaza los términos del pacto.

-El senado rompe la paz con Viriato.

-Viriato es asesinado por miembros de su propio grupo.

138

-Décimo Junio Bruto, el cónsul del año 138 a.C. es el encargado de la administración de la *Hispania Ulterior*. Seguirá el modelo político de su predecesor, mediante la penetración en las zonas más septentrionales de la *Lusitania*. Su expedición seguirá el curso del río Tajo, hasta *Olispo* (Lisboa).

-Marco Popilio Lenas sitia Numantia, pero no lo consigue y debe retirarse.

-Fundación de Valentia.

137

-Cayo Hostilio Mancino, el cónsul del año 137 a.C. no es ni capaz de sitiar la ciudad. Refugiado ante el temor de los celtíberos, es atacado por sorpresa y le causaron numerosas bajas.

-El procónsul Decimo Junio Bruto, gobernador de la Ulterior penetra a la Lusitania y decide entonces invadir *Gallaecia*.

136

- Decimo Junio Bruto, continua su campaña del año anterior sobre *Gallaecia*

-Victoria de Decimo Junio Bruto sobre los galaicos el asalto su capital *Bracara*. El Senado le otorga el cognomen honoris causa de *Gallaicus*.

-Primera guerra servil (135-132 a.C.)

134

-Llega Publio Cornelio Escipión Emiliano a *Hispania* y se hace cargo del asedio de *Numantia*.

-Se producen importantes cambios en entrenamiento y la disciplina de las tropas.

-El asedio de Escipión se inicia al otoño de este año y se distribuyen las tropas en dos campamentos: Castillejo y Peña Redonda. Posteriormente va a edificar otros cinco, comunicados entre ellos por una muralla continua, con foso y empalizada

-El ejército de Escipión ataca a los vacceos para aislar a los numantinos.

133

-Escipión Emiliano consigue vencer a los numantinos y penetrar en el *oppidum*.

-Tiberio Sempronio Graco es nombrado tribuno de la plebe.

-Inicio de la política de los Graco y la Reforma Agraria.

-La muerte de Atalo III permite que Roma herede todas sus posesiones.

132

-Construcción de la vía *Popilia*.

131

-Construcción de la vía *Annia*.

129

-Muerte de Escipión Emiliano.

125

-Proyecto de ley de Fluvio Flaco sobre la concesión de la ciudadanía a los itálicos.

123

-Conquista de las islas Baleares bajo el comando de *Quintus Caecilius Metellus Balearicus*.

-Cayo Sempronio Graco reprende la política de la reforma agraria iniciada por su hermano Tiberio.

-Fundación de *Aquae Sextiae* (123-122 a.C.).

121

-Muerte de Cayo Graco. Inicio de los grandes conflictos internos senatoriales y los grandes poderes personales.

-Construcción de la vía *Comitia* (121-117 a.C.).

-Fundación *Nemausus*.

119

-Cayo Mario asume el liderazgo de los populares.

118

-Fundación de *Narbo Martius*.

114

-Revuelta entre los lusitanos, pero es rápidamente controlada por Cayo Mario.

113

-Invasiones cimbrias (113-102 a.C.).

111

-Guerra de Yugurta (111-105 a.C.).

100

-Momento en el que se producen las fundaciones de *Emporion* y *Tarraco*, aproximadamente.

107

- El nuevo ejército al mando de Casio Logino tampoco pudo con ellos; y otra vez sucedió lo mismo a los cónsules Q. Servilio Cepión y Malio Máximo en la batalla de *Arausio* (105 a.C.).

-Sila es nombrada cuestor en África en el transcurso de la guerra contra Yugurta.

-Primer consulado de Cayo Mario. Transformará el ejército a partir de su larga experiencia como general y lleva al ejército romano hacia la profesionalización.

106

-Mario pone fin a la guerra contra Yugurta. Una parte del territorio numídico pasa a convertirse en provincia romana.

104

- Los teutones permanecieron sin rumbo por la *Gallia* mientras que las fuentes parecen indicar que los cimbrós en el año 104 a.C. cruzaron los Pirineos y llegaron al valle del Ebro y la Meseta.

102

-Los teutones son vencidos por Mario en *Aquae Sextiae*

101

- Los cimbrios son vencidos en *Vercellae*.
- Alianza entre Mario, Saturnino y Glaucia.

100

- Rebelión en Roma y muerte de Saturnino y Glaucia.

91

- Marco Livio Druso, tribuno de la plebe, propone conceder la ciudadanía romana a todos los aliados itálicos. El senado se opone y Druso es asesinado.
- Se producen revueltas entre los aliados los itálicos, que desencadenan a la Guerra Social (91-83 a.C.).
- La *Lex Papiria* concede la ciudadanía romana a los adeptos itálicos.

90

- En reconocimiento a su participación en la campaña de Asculum, Cneo Pompeyo Estrabon concede la *civitas* romana a la *Turma Salluitana*.
- Se aprueba la *Lex Julia* que refuerza la *Lex Papiria*.

88

- Se finaliza la guerra social.
- Los partidarios de Mario y de Sila se enfrentan para lograr que su candidato ocupe el mando de la campaña contra Mitrídates VI del Ponto.
- Primera guerra con Mitrídates.
- Sila ocupa Roma con sus legiones y Mario se ve obligado a huir al África para salvar su vida.

87

- Tabula Contrebiensis*.
- Mario regresa a Roma y se producen nuevos enfrentamientos.

86

- Muerte de Mario.
- Sila ocupa y saquea Atenas.
- Batalla de Queronea.

83

- Sertorio es nombrado gobernador de la *Hispania Citerior*. Sertorio implanta una política de pactos y flexible ante los hispanos.
- Tercera guerra contra Mitrídates (83-82 a.C.).

82

- La *Lex Valeria* proclamó a Sila *dictador* con poder para promulgar leyes (*legibus scribundis*) y organizar el Estado (*rei publicae constituendae*).
- Dictadura de Sila (82-79 a.C.)

81

-Campaña de Cayo Annio Lusco contra Quinto Sertorio en las *Baliares*.

79

-Ante el aumento del poder de Sertorio en *Hispania*, Sila decide mandar al cónsul Metelo, a la *Ulterior* para disminuir su control.

-Sila abdica y se retira de la actividad política a su villa de *Puteoli*, falleciendo poco después (78 a.C.)

78

-Importante victoria de Quinto Sertorio en *Bilbilis*.

-Sertorio obtiene nuevas victorias sobre Quinto Cecilio Metello Pio.

77

-Sertorio procede a formar el primer gobierno establecido fuera de la península itálica y la creación en *Oscá* de un centro de operaciones.

-Fundación de *Castra Aelia* (77-76 a.C.).

76

-Llegada de Pompeyo a *Hispania*. En este momento se aviva el conflicto armado.

-Sertorio divide sus fuerzas en 4 sectores: uno a defender el valle del Ebro, otro en la retaguardia, otro contra Metelo en la *Ulterior*; y, finalmente, Sertorio en el interior de la península reclutando nuevas tropas y aprovisionamiento.

-Quinto Cecilio Metelo Pio consigue varios éxitos en Itálica, frente a Hirtuleyo.

75

-Pompeyo consigue el control de *Valentia*, se produce la gran destrucción de la ciudad.

74

-Tercera guerra contra Mitrídates (74-63 a.C.)

73

-Sertorio intentaba mantener el apoyo en el valle del Ebro, donde contaba aún con las ciudades de *Ilerda*, *Oscá* y *Calagurris*, que quedaron aisladas.

-Rebelión de esclavos liderada por Espartaco (73-71 a.C.).

72

-Marco Perpenna Vento opta por quitar la vida a Sertorio en *Oscá*.

-Perpenna intenta proseguir la guerra, intentando unir los restos de los pueblos que aún daban apoyo a la causa sertoriana. A la que Pompeyo, ante ninguna dificultad, consigue derrotar y manda ejecutar.

-Pompeyo consigue someter a los últimos núcleos rebeldes.

-Fundación de nuevos núcleos urbanos como *Pompaolo* o *Convenae*.

APÉNDICE IV. ÍNDICE DE FIGURAS

1. Introducción

-Figura 1. Mapa de la península ibérica en el que se enmarca el territorio tratado en el presente estudio.

-Figura 2. Modelo de ficha empleado en la configuración del catálogo.

2. La Arqueología del Conflicto y el estado de la investigación

-Figura 1. Mapa donde se ubican los establecimientos que tradicionalmente se relacionan con el ejército romanorrepblicano según Cadiou (Cadiou 2008: 297).

-Figura 2. Mapa donde se ubican los campamentos republicanos en *Hispania* según Morillo (Morillo y Adroher 2014: 27).

3. Contexto histórico

-Figura 1. Mapa donde se representan las fases de la conquista cartaginesa de la Península Ibérica (Roldán 1995a: 21).

-Figura 2. Mapa donde se representan las zonas de influencia romana y púnica de la Península Ibérica (Roldán 1995a: 35).

-Figura 3. Mapa donde se representan los movimientos de la Segunda Guerra Púnica entre los años 210 y 206 a.C. (Roldán 1995a: 30).

-Figura 4. Mapa con la ubicación de los principales pueblos de la Península Ibérica (Cadiou 2008: 28).

-Figura 5. La Iberia según Estrabón (Beltrán Lloris 2006a: 236).

-Figura 6. Mapa con las principales fases de la expansión roma en Hispania (Cadiou 2008: 30).

-Figura 7. Mapa donde se representan los movimientos de los romanos entre los años 194 y 154 a.C. (Roldán 1995b: 62).

-Figura 8. Mapa donde se representa el desarrollo de las Guerras Celtibéricas y Lusitanas (Roldán 1995b: 94).

-Figura 9. Mapa de Hispania donde se ubican los principales puntos de conflicto entre los años 77-76 a.C. en el marco de la Guerra de Sertorio (Salinas de Frías 2006: 172).

4. El ejército republicano

-Figura 1. Esquema de la organización de la infantería en el ejército serviano (Goldsworthy 2013: 25).

-Figura 2. Figura donde se indican los porcentajes de soldados procedentes de Roma y los *socii* entre los años 204 y 169 a.C. según Cadiou (Cadiou 2008: 158).

-Figura 3. Tipos de armas ofensivas y defensiva romanorreplicanas. Arriba a la izquierda se sitúan las *gladius* y espadas; a la derecha el puñal o *pugio*; abajo a la izquierda varios astiles de *pila*; y finalmente, algunos *glandae* (Bishop y Coulston 2016: 54; 58; 60 y 61).

-Figura 4. Tipos de elementos defensivos del soldado romanorreplicano junto con otras herramientas relacionadas. Arriba a la izquierda se sitúan escudos y *umbones*; a la derecha algunos ejemplos de cascos; abajo a la izquierda se presentan varias placas de cinturón; y

finalmente, a la izquierda varias herramientas como clavijas de tienda y espuelas (Bishop y Coulston 2016: 65; 69; 70 y 73).

-Figura 5. Esquema de la organización del ejército por cohortes (Wilkes 2015: 33).

-Figura 6. Número de legiones romanas entre los años 197 y 45, según Cadiou (Cadiou 2008: 116 y 134).

5. Los asentamientos militares descritos por los autores clásicos

-Figura 1. Tipología del perfil de los fosos de los campamentos romanos. (A) fossa fastigata, (B) fossa fastigata con canal de drenaje, (C) fossa púnica, (D) fossa de paredes verticales (Cascarino 2010: 74).

-Figura 2. Tipología de las plantas de las puertas de los campamentos romanos en época republicana e imperial (A) Vindonissa (Windisch), (B) Noviomagus (Nijmegen), (C) Novaesium (Neuss), (D) Castra Regina (Regensburg), (E) Valkenburg (Cascarino 2010: 89).

-Figura 3. Esquema de la fase inicial del trazado del campamento y la ubicación de *praetorium* (Cascarino 2016: 157).

-Figura 4. (1) Representación del campamento descrito por Polibio (Fabricius 1932, fig. 12). (2) *Vallum* campamental de un *castra aestiva* semiestable o frente al enemigo (Peralta 2002, 84). (3) Tienda reglamentaria (papilió) para un *contubernium*, a partir de los restos encontrados en el campamento de Newstead (Richmond) (Peralta 2002: 84).

6. Catálogo de yacimientos:

-Figura 1. Diagrama de los elementos que se han considerado para la elaboración del catálogo.

-Figura 2. Ubicación del yacimiento de Les Aixalelles.

-Figura 3. Mapa de la distribución del material localizado en Les Aixalelles (Ble *et alii* 2016: 392).

-Figura 4. Fotografía de la ubicación de Les Aixalelles (Noguera *et alii* 2016: 393).

-Figura 5. Ubicación de Burriac y Cabrera de Mar.

-Figura 6. Planta del oppidum de Burriac (Zamora 2007).

-Figura 7. Planta de los restos de habitaciones excavadas en la parte central del oppidum de Burriac (Ribas y Lladó 1977: 154).

-Figura 8. Planta de la excavación de la muralla meridional y la puerta de acceso de Burriac (Zamora 2007: 275).

-Figura 9. Ubicación del yacimiento de Ca n'Oliver.

-Figura 10. Planta del yacimiento de Ca n'Oliver (Francès y Guàrdia 2011: 166).

-Fig. 1.1 Fotografía donde se puede observar la reforma de la puerta sur alrededor del 180 a.C. (izquierda) y el foso del lado sur del asentamiento

-Figura 12. Ubicación de Cabrera de Mar y del Turó de Burriac.

-Figura 13. Planta de los restos del valle de Cabrera de Mar (Sinner 2014: 83).

-Figura 14. Planta general de las estructuras de Ca l'Arnau, donde se pueden observar tanto el *balneum* como la *figlina* (Martín Menéndez 2005: 25).

-Figura 15. Planta general de los restos excavados en Can Rodón (Sinner 2011: 300).

-Figura 16. Fotografía de las termas de Ca l'Arnau, Cabrera de Mar.

- Figura 17. Ubicación del yacimiento del Camp de les Lloses.
- Figura 18. Localización del área excavada del yacimiento el Camp de les Lloses (Duran *et alii* 2015: 296).
- Figura 19. Planta general de las estructuras y ámbitos en los que se han identificado indicios de trabajos metalúrgicos (Duran *et alii* 2015: 296).
- Figura 20. Ubicación de Cardona
- Figura 21. Planta en la que se muestran las estructuras de la fase republicana del campo de la zona deportiva (Panacorbo *et alii* 2019: 176).
- Figura 22. (Arriba) Imagen LIDAR de la zona donde se ubicaría esta *officinae*. Permite apreciar la excelente ubicación y el control del territorio adyacente. (Abajo) Estado actual del yacimiento del campo de fútbol de Cardona visto desde el castillo También se pueden contemplar la explotación de las minas de sal.
- Figura 23. Ubicación del yacimiento de Can Tacó.
- Figura 24. Planta general de Can Tacó donde se pueden observar los diferentes cuerpos (Mercado *et alii* 2008: 212).
- Figura 25. Planta de Can Massot (Montmeló) (Casas *et alii* 2018: 392).
- Figura 26. Fotografía del estado actual de la cisterna 1 de Can Tacó.
- Figura 27. Ubicación de la torre de Castell de Falgars.
- Figura 28. Izquierda: planta de la torre del Castell de Falgars (Tura 1991: 112). Derecha: paramento de la Torre de Falgars.
- Figura 29. Planta de la torre del Castell de Falgars (Tura 1991: 113).
- Figura 30. Sección norte-sur de la torre del Castell de Falgars (Frigola y Pratdesaba 2012: 294).
- Figura 31. Estructura adosada a la torre de Castell de Falgars.
- Figura 32. Ubicación de la torre de Castell Lliuró.
- Figura 33. Estado actual de la estructura de Castell Lliuró.
- Figura 34. Planta de la torre de Castell Lliuró (Saula y Badias 1997: 34).
- Figura 35. Detalle del paramento exterior de Castell Lliuró.
- Figura 36. Ubicación del yacimiento de Castellet de Banyoles.
- Figura 37. Zona excavada en los años 1942-1943 de Castellet de Banyoles (Asensio *et alii* 2002: 48).
- Figura 38. Vista del sistema defensivo del poblado de El Castellet de Banyoles.
- Figura 39. Planta del *oppidum* del Castellet de Banyoles (Asensio *et alii* 2003: 197).
- Figura 40. Mapa del Camí del Castellet de Banyoles en el que se pueden observar los límites de la prospección y la división de zonas (Noguera *et alii* 2016: 391).
- Figura 41. Ubicación del yacimiento de El Castellot.
- Figura 42. Planta de las estructuras correspondientes a la fase republicana de El Castellot (Morera y Oller 2015: 37).
- Figura 43. Imagen LIDAR del yacimiento de El Castellot donde se puede observar el sistema defensivo.
- Figura 44. Planta de las estructuras de la reforma de mediados del II a.C. del sistema defensivo (Morera 2017: 432).
- Figura 45. Planta de las estructuras de la fase iberoceretana con hipótesis de continuidad (Morera 2017: 454).

- Figura 46. Ubicación del yacimiento de Castellvell.
- Figura 47. Espacios domésticos del yacimiento de Castellvell adosados a la muralla.
- Figura 48. Planta general de las estructuras de Castellvell (Morer et alii 2019: 68).
- Figura 49. Planta del Serrat dels Moros de la Codina (Morer et alii 2019: 66).
- Figura 50. Fotografía de la estructura de planta circular de Castellvell.
- Figura 51. Ubicación de la torre de Castellví de Rosanes.
- Figura 52. (Arriba) Planta del conjunto de Castellví de Rosanes (Pagès 1988: 168) / (Abajo) Alzado y planta de la torre (Pagès 1988: 167).
- Figura 53. Detalle del paramento exterior de la torre de Castellví de Rosanes.
- Figura 54. Ubicación del yacimiento de El Clascar.
- Figura 55. Imagen LiDAR de la colina donde se ubica el Clascar.
- Figura 56. Varios de los fragmentos identificados como la Estela de Malla. El primero (arriba a la izquierda) muestra una cuadriga que transporta a dos personajes y abajo dos jinetes, todos ellos parecen participar en un desfile honorífico. La segunda imagen (arriba a la derecha) se ha interpretado como la figura de un genio alado junto con más figuras fragmentadas. En la siguiente figura (abajo izquierda) se observa un guerrero con escudo, un felino y dos caballos. Finalmente (abajo derecha) se interpreta como el guerrero divinizado lucha con un ser de la ultratumba (López Mullor et alii 1986: 13, 17, 23, 29).
- Figura 57. Ubicación del yacimiento de El Coll del Moro.
- Figura 58. Fotografía de la torre de El Coll del Moro.
- Figura 59. Partes excavadas del yacimiento de El Coll del Moro: 1. Torre principal, 2. Cisterna, 3. Estructura de época romanorrepública, 4. Muralla y torre semicircular, 5. Habitación romanoimperial (Rafel et alii 2015: 9).
- Figura 60. Planta de la torre de El Coll del Moro y del interior (Rafel et alii 2015: 14).
- Figura 61. Estado actual de las estructuras de El Coll del Moro.
- Figura 62. Ubicación del yacimiento Costa de la Serra.
- Figura 63. Vista aérea del yacimiento de Costa de la Serra. Fuente ICAC (www.icac.cat).
- Figura 64. Ubicación del yacimiento de Empúries.
- Figura 65. Planta de la ciudad romana de Empúries, con detalle de la situación de la muralla al límite meridional, que sobresale más allá del ángulo sureste y sigue en dirección a los nuevos hallazgos (Tremoleda et alii 2016: 61).
- Figura 66. Planta general de la ciudad romana de Empúries. El campamento tardorrepúblicano se situaría en el foro de esta nueva fundación, es decir, en las *insulas* 17-18 aproximadamente (Aquilué et alii 2015: 268).
- Figura 67. Paramento de la muralla de Empúries.
- Figura 68. Planta de La Vinya (Casas et alii 2002: 45).
- Figura 69. Ubicación del yacimiento de Iesso.
- Figura 70. Parcelario actual de Guissona donde se han insertado los restos de la ciudad romana de Iesso (Romaní 2012: 120).
- Figura 71. Estado actual de la fosa número 1 de Guissona.
- Figura 72. Ubicación del yacimiento de Ilerda.
- Figura 73. Planta de las estructuras del siglo II a.C. en La Suda (Payà et alii 1996: 123).
- Figura 74. Planta de la Ilerda imperial (Gil et alii 2001: 171).

- Figura 75. Ubicación del yacimiento de Illa Fradera.
- Figura 76. Planta del edificio principal de la fase 2 de Illa Fradera (Antequera y Vázquez 2010: planta 12).
- Figura 77. Ubicación del yacimiento de Mas Gusó.
- Figura 78. Estado actual de los restos de Mas Gusó.
- Figura 79. Planta general de época romana de Mas Gusó (Casas *et alii* 2015: 248).
- Figura 80. Evolución y las fases de Mas Gusó (Casas *et alii* 2018: 5).
- Figura 81. Planta de L'Olivet d'en Pujol (Cases *et alii* 2015: 404).
- Figura 82. Ubicación del yacimiento de Monteró.
- Figura 83. Planta general del yacimiento de Monteró 1 (Principal *et alii* 2015: 312).
- Figura 84. Planta de la zona 2 de Monteró 1 (Principal *et alii* 2015: 313).
- Figura 85. Fotografía de la pseudo-torre o bastión de la zona 9 de Monteró.
- Figura 86. Ubicación del yacimiento de Olèrdola.
- Figura 87. Fotografía de la muralla de Olèrdola.
- Figura 88. Planta topográfica del conjunto arqueológico de Olèrdola (Álvarez *et alii* 1991).
- Figura 89. Planta de las estructuras del sector 01 durante la etapa republicana (Molist 2008b: 228).
- Figura 90. Planta de la muralla y de las torres conservadas, donde puede apreciarse la variedad de tipologías y formas (Molist 2014: 236).
- Figura 91. Fotografía de la torre atalaya de Olèrdola.
- Figura 92. Fotografía de la cisterna (izquierda) y la cantera (derecha) de Olèrdola.
- Figura 93. Ubicación del yacimiento de La Palma.
- Figura 94. Mapa de la Palma en el que se pueden observar los límites de la prospección y la división de zonas (Ble *et alii* 2016: 385).
- Figura 95. Selección de materiales localizados en el transcurso de las excavaciones de La Palma (Noguera 2009: 333).
- Figura 96. Ubicación del Prats Rei.
- Figura 97. Vista de la sección del foso ibérico antiguo localizado en Prats de Rei (Salazar *et alii* 2016: 120).
- Figura 98. Restos de una casa del ibérico pleno, sus muros se asientan sobre el relleno del foso de época anterior y tiene un piso subterráneo encajado dentro del foso (Salazar y Rafel 2015: 406).
- Figura 99. Ubicación del yacimiento de Puig d'Alia.
- Figura 100. Fotografía del interior de la torre de Puig d'Alia.
- Figura 101. Planta de la torre de Puig d'Alia (Padrós 2016c: 200).
- Figura 102. Fotografía del interior de la torre de Puig d'Alia ya excavado.
- Figura 103. Ubicación del yacimiento de Puig del Castell.
- Figura 104. Interior de una de las torres excavadas de Puig del Castell.
- Figura 105. Planta del yacimiento de Puig del Castell (Guàrdia 2015: 54).
- Figura 106. Imagen LIDAR del yacimiento de Puig del Castell donde se puede observar claramente el recorrido de la muralla.
- Figura 107. Planta de los restos encontrados en Can Martí y la proyección que propusieron sus excavadores (Aquilué y Pardo 1990: 98).

- Figura 108. Ubicación del yacimiento de Puig Castellar de Biosca.
- Figura 109. Vista de la colina de Puig Castellar de Biosca desde Sant Pere de Talteüll, al oeste.
- Figura 110. Planta general de Puig Castellar (Pera *et alii* 2019: 22).
- Figura 111. Planta del Sector B de Puig Castellar (Pera *et alii* 2019: 24).
- Figura 112. Contexto material de cerámica fina del yacimiento de Puig Castellar de Biosca (Pera *et alii* 2019: 35).
- Figura 113. Fotografía del estado actual de la cisterna de Puig Castellar de Biosca.
- Figura 114. Ubicación del yacimiento de Puig Ciutat.
- Figura 115. Estructuras de la zona 2 de Puig Ciutat.
- Figura 116. Planta general y de las zonas excavadas de Puig Ciutat (Sabaté *et alii* 2019: 200).
- Figura 117. Planta del edificio singular de Puig Ciutat (www.puigciutat.com).
- Figura 118. Imagen LIDAR donde se pueden observar algunas de las estructuras de Puig Ciutat.
- Figura 119. Ubicación del yacimiento de Puigpelat.
- Figura 120. Planta de Puigpelat con reconstrucción hipotética (Díaz García y Ramírez 2015: 266).
- Figura 121. Izquierda: planta del recinto intermedio (Díaz García García 2009: 45). Derecha: planta del recinto superior de Puigpelat (Díaz García García 2009: 49).
- Figura 122. Propuesta de restitución de Puigpelat (Díaz 2015: 271).
- Figura 123. Ubicación del yacimiento de Ribelles.
- Figura 124. Arriba: Fotografía de Ribelles donde se puede ver el recorte de la roca para utilizarlo de foso. Abajo: Sección del recorte del natural observado en Ribelles (Bartlett *et alii* 1990: 31).
- Figura 125. Detalle de algunas de las numerosas piedras trabajadas que se encuentran en la superficie del Tossal del Barcelonés.
- Figura 126. Imagen LIDAR del yacimiento de Ribelles. Puede observarse el recorte antrópico realizado en el terreno natural y los restos de una posible estructura.
- Figura 127. Ubicación del yacimiento de Sant Julià de Ramis.
- Figura 128. Planta del *oppidum* ibérico de *Kerunta* (Palahí 2013: 70).
- Figura 129. Planta del sector norte del sistema defensivo a finales del siglo II y principios del I a.C. (Palahí 2013: 74) y fotografía de la correspondiente área en la actualidad.
- Figura. 130. Estado actual de la muralla de Sant Julià de Ramis.
- Figura 131. Ubicación del yacimiento de Sant Miquel de Sorba.
- Figura 132. Planta general de Sant Miquel de Sorba (arriba) y detalle de la cisterna (abajo) (Asensio Vilaró *et alii* 2013a: 107).
- Figura 133. Arriba: Planta del bastión (Gil Limón 2017: 57) / Abajo: Fotografía del estado actual del bastión, aún sin excavar.
- Figura 134. Ubicación del yacimiento de Sant Miquel de Vinebre.
- Figura 135. Planta general del yacimiento de Sant Miquel de Vinebre (Genera 1994: 47).
- Figura 136. Primera estructura defensiva: a. muralla, b. posible torre, c. ámbitos anexos a

- la muralla, d. puerta de acceso, e. posible poterna. (Genera *et alii* 2005c: 104).
- Figura 137. Estado actual del yacimiento de Sant Miquel de Vinebre.
 - Figura 138. Ubicación del yacimiento de Serrat dels Espinyers.
 - Figura 139. Planimetría de las áreas excavadas de Serrat dels Espinyers (Padrós *et alii* 2016: 42).
 - Figura 140. Sección de los negativos interpretados como fosos (Padrós *et alii* 2016: 72).
 - Figura 141. Propuesta de la planta del posible campamento (Padrós *et alii* 2016: 49). También se observa la proximidad que existe con el municipio de Isona (*Aeso*).
 - Figura 142. Ubicación de *Tarraco*.
 - Figura 143. Planta de la localización del campamento romano en relación al *oppidum* ibérico en el siglo II a.C. (Díaz *et alii* 2002: 293).
 - Figura 144. Fases del recinto primitivo de Tarraco (Cadiou 2008: 330).
 - Figura 145. La superposición de las dos fases del Bastión de Santa Bàrbara, según T. Hauschild (izquierda), Sección de la muralla de Tarraco, en la que se visualiza el relleno interno, según Serra Vilaró (Cadiou 2008a: 331: 336).
 - Figura 146. Detalle del paramento de la muralla de Tarraco. Paseo Arqueológico – Paseo de Torroja.
 - Figura 147. Ubicación de la Torrassa del Moro.
 - Figura 148. Fotografía del estado actual de la Torrassa del Moro (izquierda) y detalle del paramento exterior (superior) e interior (inferior).
 - Figura 149. Planta de Can Rossell (Barrassetas *et alii* 1997: 8).
 - Figura 150. Ubicación de la Torre de la Mora de Buixalleu.
 - Figura 151. Planta del sondeo realizado en el interior de la torre (Mataró *et alii* 1998: 21).
 - Figura 152. Sección norte-sur de la Torre de la Mora (Tura y Mateu 2008: 152).
 - Figura 153. Detalle del paramento exterior (izquierda) e interior (derecha) de Torre de la Mora.
 - Figura 154. Ubicación de la Torre dels Moros.
 - Figura 155. Estado actual de la Torre dels Moros.
 - Figura 156. Planta de la Torre dels Moros de Serós (Serra Ràfols y Calassanç 1936: 85).
 - Figura 157. Detalle del paramento de la Torre dels Moros.
 - Figura 158. Ubicación de la torre de les Gunyoles.
 - Figura 159. Fotografía de la Torre de les Gunyoles (Martí y Viladrich 2019: 60).
 - Figura 160. Ubicación del yacimiento de la Torre Roja.
 - Figura 161. Localización de la torre y los espacios domésticos (Fortó *et alii* 2010: 113).
 - Figura 162. Planta del yacimiento de la Torre Roja (Fortó *et alii* 2005: 13).
 - Figura 163. Fotografía del edificio singular de la Torre Roja.
 - Figura 164. Ubicación del yacimiento de Tentellatge.
 - Figura 165. Planta de la Torre de Tentellatge (Padrós y Principal 2016: Annex 2.1).
 - Figura 166. Ubicación del yacimiento del Tossal de Baltarga.
 - Figura 167. Vistas del paso de la Serra del Cadí des de la cima del Tossal de Baltarga.
 - Figura 168. Planta de las estructuras correspondientes a la fase republicana del Tossal de Baltarga (Morera y Oller 2015: 100).
 - Figura 169. Planta de la torre del Tossal de Baltarga, Edificio B (Morera *et alii* 2017:

111).

- Figura 170. Ubicación del yacimiento de Tres Cales.
- Figura 171. Vista actual de la zona de Tres Cales.
- Figura 172. Ubicación del yacimiento de La Cabañeta.
- Figura 173. Planta arqueológica de la Cabañeta (Mínguez 2014: 1680).
- Figura 174. Planta del *balnea* de la Cabañeta (Ferreruela y Mínguez 2003: 249).
- Figura 175. Arriba planta del horrea de La Cabañeta (Ferreruela *et alii* 2003, 218). Abajo calco de la inscripción encontrada en su interior (Ferreruela *et alii* 2003: 220).
- Figura 176. Dibujo de los moldes de las lucernas encontrados en La Cabañeta (Mínguez y Mayayo 2014: 156)
- Figura 177. Estado actual de La Cabañeta.
- Figura 178. Ubicación del yacimiento de Cabezo de Alcalá.
- Figura 179. Vista del sistema defensivo del Cabezo de Alcalá, concretamente de la entrada a la acrópolis.
- Figura 180. Planta del Cabezo de Alcalá según J.I Lorenzo y J. Soro (Beltrán Lloris 2013: 316).
- Figura 181. Propuesta de la reconstrucción de la rampa de asedio (Romeo y Royo 2015: 357).
- Figura 182. Ubicación del yacimiento de El Cabezo de las Minas.
- Figura 183. Fotografía del estado actual de El Cabezo de las Minas.
- Figura 184. Planta del Cabezo de las Minas, Botorrita. (Beltrán Martínez 1992: 58).
- Figura 185. Detalle de la torre documentada en la cima del cerro.
- Figura 186. El Bronce ibérico de Botorrita (Tabula Contrebiensis). Arriba cara A, abajo cara B (Beltrán Martínez 1992: 62).
- Figura 187. Ubicación del yacimiento de La Caridad.
- Figura 188. Vista actual del yacimiento de La Caridad.
- Figura 189. Planta general de La Caridad (Vicente *et alii* 1989: 21).
- Figura 190. Planta del sector noroeste de La Caridad (Vicente y Ezquerro 2003: 253).
- Figura 191. Izquierda: Planta de la Casa de Likine (Izquierda) y mosaico de la estancia 1 de la casa de Likine (derecha) (Vicente *et alii* 1991).
- Figura 192. Esquema reconstructivo de la catapulta de La Caridad: 1.bastidor, 2.modiolus, 3.epizygis, 7.corredera, 8.caña, 9.garra, 11.triquete, 12.junta universal, 13.columna (Ble 2016: 3213).
- Figura 193. Tipología de las estancias y propuesta de función de la Casa de *Likine* (Vicente *et alii* 2016: 245).
- Figura 194. Ubicación del yacimiento de Castejón I.
- Figura 195. Planta del yacimiento Castejón I – El Romeral donde se puede observar el complejo sistema defensivo (Fatás *et alii* 2014: 20).
- Figura 196. Reproducción del fragmento del casco de Aratis (Fatás *et alii* 2014: 16) (izquierda) y moneda de la ceca de Aratis (5) y glande de plomo recuperado en superficie en el Cerro Castajón (6) (Fatás *et alii* 2014: 29) (derecha).
- Figura 197. Ubicación del yacimiento de Los Castellazos.
- Figura 198. Planta hipotética de la torre de Los Castellazos (Romeo 2002: 172).

- Figura 199. Planta del yacimiento de Los Castellazos en el que se puede observar la potencia defensiva (Romeo 2017: 111).
- Figura 200. Ubicación del yacimiento de La Corona.
- Figura 201. Planta del yacimiento de La Corona. 1. Intervención realizada por A. Beltrán en 1954; 2. Sondeos realizados en 1987; 3. Domus itálica; 4-5. Intervenciones en la década de 1990 y 2000 (Mínguez y Ferreruela 2012: 264).
- Figura 202. Fotografía aérea de la planta de La Corona (Ferreruela y Mínguez 2003: 255).
- Figura 203. Ubicación del yacimiento de Osca.
- Figura 204. Planta de la *Osca* iberorromana y romano-imperial con la localización de los principales hallazgos (Juste 2000: 90).
- Figura 205. *Insula* excavada en el Solar del Círculo Católico de Huesca. A: Calles; B: Templo; C: Domus; D y E: ampliaciones romano-imperiales; F: Cubetas excavadas. (Juste 2000: 93).
- Figura 206. Denario de *Bolskan* (Domínguez y Aguilera 2014: 92).
- Figura 207. Ubicación del yacimiento de *Salduie*.
- Figura 208. Ubicación de los restos ubicados en el casco urbano de Zaragoza antes de la fundación de la Colonia *Caesaraugusta* (Fatás y Beltrán Lloris 1997)
- Figura 209. Ubicación del yacimiento de Segeda.
- Figura 210. Imagen LIDAR de los yacimientos de Segeda I y Segeda II. El foso de Segeda II se puede observar aún hoy en día perfectamente.
- Figura 211. Planta del Durón de Belmonte según Lammerer (Schulten 1933).
- Figura 212. Detalle del paramento de la muralla de Segeda II.
- Figura 213. Vistas desde el posible campamento de Planos de Mara de Segeda I y II (Burillo 2000: 284).
- Figura 214. Estado actual de los campos que ocupan Segeda II donde aún hoy en día se puede observar el desnivel provocado por el foso.
- Figura 215. Ubicación del yacimiento de Torre Cremada
- Figura 216. Planta de la torre de Torre Cremada (Moret 2016: 460).
- Figura 217. Planta del yacimiento Torre Cremada (Moret *et alii* 2006: 127).
- Figura 218. Detalle del paramento de la Torre Cremada.
- Figura 219. Ubicación del yacimiento de Valdeherrera.
- Figura 220. Planta del parcelario de Valdeherrera. En rojo se enmarcan los límites de la extensión de la ciudad, en azul el foso y en verde el entorno de protección BIC (Martín Bueno y Saénz 2012: 13).
- Figura 221. Vista área de Valdeherrera en la que se encuentran indicadas las dimensiones del yacimiento y la localización del foso (Saénz y Martín Bueno 2015: 76).
- Figura 222. Planimetría de la Insula II de Valdeherrera (Saénz 2016: 262).
- Figura 223. Propuesta de distribución urbanística de Valdeherrera (Saénz *et alii* 2018: 222).
- Figura 224. Imagen LIDAR de Valdeherrera donde puede definirse perfectamente el perímetro de la ciudad.
- Figura 225. Ubicación del yacimiento de La Vispesa.
- Figura 226. Planta arqueológica de La Vispesa (Maestro *et alii* 2004: 377).

-Figura 227. Sección del pozo de la Vispesa: secciones Norte-Sur y Este-Oeste (Maestro *et alii* 2008: 999).

-Figura 228. Detalle de la estructura defensiva de La Vispesa.

7. Análisis comparativo y de conjunto de los establecimientos documentados

7.1. Una nueva propuesta de criterios para la identificación de los establecimientos militares romanorrepublicanos en el noreste peninsular

-Figura 1. Visibilidad desde el yacimiento de Mas Gusó con intervisibilidad con Empúries y la vía *Heraclea*.

-Figura 2. Visibilidad desde el yacimiento de La Cabañeta con notable control del curso central del Ebro.

-Figura 3. Visibilidad desde el yacimiento de Puig Castellar de Biosca con vistas al valle del Llobregós.

-Figura 4. Arriba: visibilidad desde el yacimiento Puig del Castell, con dominio visual sobre el trazado central de la vía *Heraclea*. Abajo: El Cabezo de Alcalá, con vistas a parte del curso central del Ebro.

-Figura 5. Visibilidad desde el yacimiento Can Tacó, con especial atención a la visión del área central de la vía *Heraclea* y las vías que accederían hacia el interior.

-Figura 6. Planta del modelo del campamento republicano según Polibio (Fabricius 1932: 79).

-Figura 7. Arriba: Planta general de Can Tacó (Mercado *et alii* 2008: 212). Abajo: Planta de la fase 2 b de Mas Gusó (Casas *et alii* 2018: 25.) Se pueden observar la originalidad de la distribución de las estructuras, no vista hasta el momento en el noreste peninsular hasta la implantación militar romana en el territorio.

-Figura 8. Muestra de los materiales correspondientes a la última fase de La Cabañeta, correspondientes al saqueo de época sertoriana (Mínguez y Mayayo en prensa).

-Figura 9. Tabla de clasificación de varios elementos de *militaria* de época romanorrepublicana (Ble 2015: 313).

-Figura 10. Resumen esquemático de los criterios propuestos para la identificación de los establecimientos militares romanorrepublicanos.

7.2. Análisis comparativo de los elementos muebles e inmuebles identificados en los asentamientos militares romanorrepublicanos

-Figura 11. Tabla resumen donde se identifican la presencia de ciertos elementos inmuebles y muebles que puede ayudar a identificar los asentamientos con presencia militar romana.

-Figura 12. Visualización de la imprenta del foso de La Cabañeta (izquierda) y de Segeda II (derecha) en el relieve actual.

-Figura 13. Desde la esquina superior izquierda: Tarraco, Emporion, Sant Julià de Ramis, La Vispesa, Olèrdola, Puig Castellar de Biosca (tramo de la muralla sur y una de las torres), Cabezo de las Minas, Segeda II.

-Figura 14. Mapa donde se señalan en cian los yacimientos en los que se ha identificada un sistema defensivo de filiación itálica, ya sea a partir de la técnica constructiva o del modelo métrico.

-Figura 15. Can Tacó (Casas *et alii* 2016: 123), Monteró (Principal *et alii* 2015: 313), Puig Castellar de Biosca (Pera *et alii* 2019: 24), Illa Fradera (Antequera y Vázquez 2010: planta 12), Puig Ciutat (puigciutat.com), Mas Gusó (Casas *et alii* 2015: 248).

-Figura 16. Mapa donde se han destacado en cian los asentamientos en los que se ha identificado un edificio singular interpretado como militar.

-Figura 17. Columna de la izquierda: Can Tacó, Puig Castellar de Biosca, Castellvell, Sant Miquel de Sorba. Columna de la derecha: Empúries, La Vispesa y Olèrdola.

-Figura 18. Mapa donde se han indicado las cisternas de técnica itálica identificadas, en cian.

-Figura 19. Arriba: Planta de las termas de Azaila (Beltrán Lloris 1976: 148) y su estado actual. En medio: Planta de las termas de Cabrera de Mar (García *et alii* 2000: 36) y su estado actual. Abajo: Planta de las termas de La Cabañeta (Ferreruela y Mínguez 2003: 249). Y, finalmente, fotografía del horno del *balneum* de la zona suburbana de Empúries (Castanyer *et alii* 2016: 121).

-Figura 20. Mapa de la localización, en cian, de las termas de época republicana.

-Figura 21. Arriba a la izquierda: planta del templo del Cabezo de Alcalá (Beltrán Lloris 1976: 141). Arriba a la derecha: restitución del templo de Sant Julià de Ramis (Burch *et alii* 2001: 103). Abajo: planimetría del templo de Can Masriera de Cabrera de Mar (Sinner 2014: 97).

-Figura 22. Mapa donde se señalan en cian los templos romanorrepublicanos identificados.

-Figura 23. Arriba: planta del *horrea* de La Cabañeta (Ferreruela *et alii* 2003: 218). Abajo: restitución de la planta del *horrea* del Cabezo de las Minas (Díaz *et alii* 1991: 287) y su estado actual.

-Figura 24. Arriba a la izquierda: Casa 7 de la *neapolis* de Empúries (Cortés 2014: 35). Arriba a la derecha: Casa de la calle Lleida de Tarragona (Cortés 2014: 144). Abajo: Planta de la casa de *Likine* de La Caridad (Vicente *et alii* 1991).

-Figura 25. Mapa donde se indican en cian los establecimientos con estructuras domésticas de tipo itálico identificadas en el siglo II y el primer cuarto del I a.C.

-Figura 26. Tabla resumen donde se indican los elementos de *militaria* que están presentes en los yacimientos tratados.

-Figura 27. Arriba: Esquema del *scorpio* de La Caridad (Ble 2016: 3213) y fotografía del estado actual en el Museo de Teruel. Abajo: Reconstrucción de la catapulta de Empúries y fotografía tras su hallazgo (Bosh Gimpera 1915: 844-845).

-Figura 28. Mapa donde se señalan en cian los establecimientos en los que se han recuperado restos de *militaria*.

-Figura 29. Mapa donde se indican los principales centros donde se acuñó denario ibérico (Cadiou 2008a: 529).

-Figura 30. Mapa con la ubicación de los yacimientos inscritos en el catálogo en los que se ha documentado la emisión de moneda (en cian).

7.3. Análisis tipológico de los asentamientos

-Figura 31. Plantas arqueológicas de los yacimientos identificados como fortines tardorrepublicanos. 1. Sant Miquel de Vinebre (Genera 1994: 47); Puig Castellar de

Biosca (Pera *et alii* 2016: 184); Monteró 1 (Principal *et alii* 2015: 312); Puigpelat (Díaz García y Ramírez 2015: 266).

-Figura 32. Plantas arqueológicas de los yacimientos identificados como *oppida* reocupados. 1. Castellet de Banyoles (Asensio *et alii* 2003: 197), 2. Torre Roja (Fortó *et alii* 2005: 197), 3. Sant Miquel de Sorba (Asensio *et alii* 2013a: 107), 4. Puig Ciutat (Pujol *et alii* 2012: 130), 5. Sant Julià de Ramos (Palahí 2013: 70), 6. Ca n'Oliver (Francès y Guàrdia 2012: 166).

-Figura 33. Plantas arqueológicas de los yacimientos identificados como *oppida* reocupados. 1. Olèrdola (Álvarez *et alii* 1991), 2. Tossal de Baltarga (Morera y Oller 2015: 100), 3. Puig del Castell (Guàrdoa 2015: 54), 4. El Castellet de Bolvir (Morera y Oller 2015: 37), 5. El Coll del Moro (Rafel *et alii* 2015: 9), Castellvell (Asensio *et alii* 2013b).

-Figura 34. Plantas arqueológicas de los yacimientos identificados como *oppida* reocupados. 1. La Vispesa (Maestro *et alii* 2004: 377), 2. Cabezo de las Minas (Beltrán Martínez 1992: 56), 3. Cabezo de Alcalá (Beltrán Lloris 2013: 316), 4. Osca iberoromana (Juste 2000: 90), 5. Ubicación de los restos iberorromanos localizados en la actual Zaragoza (Fatás y Beltrán Lloris 1997).

-Figura 35. Plantas arqueológicas de los yacimientos identificados como núcleos urbanos de fundación militar. 1. Empúries (Tremoleda *et alii* 2016: 61), 2. La Cabañeta (Mínguez 2014: 1680), 3. Recinto primitivo de Tarraco (Cadiou 2008: 330).

-Figura 36. Plantas arqueológicas de los yacimientos identificados como centros administrativos. 1. Can Tacó (Mercader *et alii* 2008: 212), 2. Illa Fradera (Antequera y Vázquez 2010: planta 12), 3. Mas Gusó (Casas *et alii* 2015: 248), 4. Ca l'Arnau, Cabrera de Mar (Martín Menéndez 2005: 25).

-Figura 37. Plantas arqueológicas de los yacimientos identificados como fundaciones urbanas impulsadas por Roma. 1. La Corona (Ferreruela y Mínguez 2003: 255), 2. Segeda II (Schulten 1933), Valdeherrera (Martín Bueno y Sáenz 2012: 13), La Caridad (Vicente *et alii* 1989: 21).

-Figura 38. Plantas arqueológicas de los yacimientos identificados como centros logísticos y productivos. 1. Camp de les Lloses (Durán *et alii* 2015: 296), 2. Campet de la Sal (Panacorbo *et alii* 2019 : 176).

-Figura 39. Tabla en la que se indican las dimensiones de las torres de planta circular.

-Figura 40. Tabla en la que se indican las dimensiones de las torres de planta cuadrada.

-Figura 41. Plantas arqueológicas de los yacimientos identificados torres de planta circular. De arriba a la izquierda abajo a la derecha: Torre de la Mora de Buixalleu (Mataró *et alii* 1998: 21), torre de Castell Lliuró (Saula y Badias 1997: 34), Castell de Falgars (Tura 1991: 113), torre de Castellví de Rosanes (Pagès 1988: 168), Torrassa del Moro (Gomis 1883), Torre Cremada (Moret 2016: 460).

-Figura 42. Plantas arqueológicas de los yacimientos identificados torres de planta cuadrada. De arriba a la izquierda abajo a la derecha: Puig d'Alia (Padrós 2016c: 200), Torre dels Moros de Serós (Serra Ràfols y Calassanç 1936: 85), torre del Tossal de Baltarga (Morera *et alii* 2017: 111), Olèrdola (Álvarez *et alii* 1991), torre de Los Castellazos (Romeo 2002: 172) y El Castejón I (Fatás *et alii* 2014: 20).

-Figura 43. Tabla donde se contabiliza el número de yacimientos identificados de cada categoría

-Figura 44. Gráfico en el que se compara (arriba) la variedad de tipologías empleadas y los grupos tipológicos propuestos (abajo). Se observa una mayor homogenización y coherencia entre ellos, que permite estudiarlos de forma conjunta teniendo en cuenta su función.

7.4. El marco temporal de los asentamientos

-Figura 45. Tabla en la que muestra el material de importación de los yacimientos y la cronología propuesta.

-Figura 46. Esquema de los elementos metálicos identificados por E. Ble y distribuidos según su cronología (Ble 2015: 313).

-Figura 47. Mapa de los asentamientos ocupados entre o en algún momento del primer cuarto del siglo II a.C. (200-175 a.C.), según la nueva propuesta tipológica.

-Figura 48. Mapa de los asentamientos ocupados entre o en algún momento del segundo cuarto del siglo II a.C. (175-150 a.C.), según la nueva propuesta tipológica.

-Figura 49. Mapa de los asentamientos ocupados entre o en algún momento del tercer cuarto del siglo II a.C. (150-125 a.C.), según la nueva propuesta tipológica.

-Figura 50. Mapa de los asentamientos ocupados entre o en algún momento del último cuarto del siglo II a.C. (125-100 a.C.), según la nueva propuesta tipológica.

-Figura 51. Mapa de los asentamientos ocupados entre o en algún momento del primer cuarto del siglo I a.C. (100-75 a.C.), según la nueva propuesta tipológica.

-Figura 52. Mapa de los asentamientos ocupados entre o en algún momento del segundo cuarto del siglo I a.C. (75-50 a.C.), según la nueva propuesta tipológica.

-Figura 53. Friso cronológico en el que se muestra la cronología de ocupación identificada en los yacimientos, teniendo en cuenta la tipología propuesta en el apartado anterior.

-Figura 54. Friso cronológico de los fortines tardorrepublicanos (tipo 1).

-Figura 55. Friso cronológico de los *oppida* reocupados (tipo 2).

-Figura 56. Friso cronológico de las fundaciones derivadas de campamentos militares (tipo 3).

-Figura 57. Friso cronológico de los centros administrativos (tipo 4).

-Figura 58. Friso cronológico de las fundaciones en llano (tipo 5).

-Figura 59. Friso cronológico de los centros logísticos y productivos (tipo 6).

-Figura 60. Friso cronológico de las torres defensivas (tipo 7).

-Figura 61. Friso cronológico de los asentamientos temporales (tipo 8).

7.5. Análisis e interpretación de la disposición espacial de los establecimientos militares

-Figura 62. Restitución de Hispania según los datos proporcionados por Artemidoro (Moret 2012: 437).

-Figura. 63. Mapa donde se ubican las principales vías romanas del noreste peninsular (Guàrdia *et alii* 2017: 165).

-Figura. 64. Distribución de la red viaria del noreste de la Hispania Citerior (Magallón y Peña 2012: 11).

- Figura. 65. Localización de los establecimientos incluidos en el presente estudio.
- Figura 66. Distribución. Arriba Buffer, Abajo Kernel.
- Figura 67. Mapa de las tipologías identificadas.
- Figura 68. Mapa en el que se ha representado de forma graduada las dimensiones en hectáreas de los yacimientos.
- Figura 69. Mapa en el que se analizan los costes de acceso desde los yacimientos en un tiempo entre 1 y 5 horas de marcha.
- Figura 70. Mapa donde se representa el coste de tiempo (en horas) del desplazamiento de tropas desde los campamentos y centros administrativos de *Tarraco*, Empúries y La Cabañeta.
- Figura 71. Mapa en el que se analizan los costes de acceso desde cualquier punto de la red viaria en un tiempo entre 1 y 2 horas de marcha.
- Figura 72. Mapa de intervisibilidad entre los yacimientos incluidos en el catálogo.
- Figura 73. Mapa de visibilidad teniendo en cuenta la tipología de los yacimientos.
- Figura 74. Mapa de la visibilidad de los yacimientos ubicados en la zona central de la vía *Heraclea*.
- Figura 75. Mapa de la visibilidad de los yacimientos ubicados en la Cataluña Central.
- Figura 76. Mapa de la visibilidad de los yacimientos ubicados en el paso de los Pirineos, por La Cerdanya y la unión con la vía *Domitia*.
- Figura 77. Mapa de la visibilidad de los yacimientos ubicados en el valle del Ebro.
- Figura 78. Mapa de la visibilidad de los yacimientos ubicados en el valle medio del Ebro y en las vías adyacentes, en especial el valle del Jalón.
- Figura 79. Esquema de costes y velocidades de transportes de época romana según De Soto (2010a: 53). Se tiene en cuenta el transporte de trigo y la capacidad corresponde a la cantidad de este cereal que se podía trasladar.
- Figura 80. Mapa donde se representa el coste de transporte relativo y acumulativo de mercancías desde *Tarraco*. Se ha tenido en cuenta el transporte marítimo, fluvial por el Ebro y terrestre con mula.

7.6. Los diversos modelos de implantación militar identificados en otros territorios ocupados por Roma entre los siglos II y I a.C.

- Figura 81. Identificación y ubicación de los principales campamentos romanorrepublicanos según Á. Morillo (Morillo 2014c: 35).
- Figura 82. Planta de las estructuras halladas del campamento de Son Espases (Estarellas *et alii* 2012: 51).
- Figura 83. Planta de las estructuras del fuerte de Les Salines (Vallori 2019: 78).
- Figura 84. Planta del Cabeçó de Mariola (Grau 2016: 132).
- Figura 85. Izquierda: Planimetría del Cerro de las Fuentes de Archivel (Brotóns y Murcia 2014: 185). Derecha: Planimetría de La Cabezuela de Barranda (Brotóns y Murcia 2014: 189).
- Figura 86. Sección del foso Villajoyosa donde se puede observar la deposición de adobes (Peña 2013: 76).
- Figura 87. Localización de los fortines que conformarían la red de vigilancia en la costa alicantina (Sala Sellés y Abad 2014: 79).

- Figura 88. Ubicación de los cinco campamentos de la Gran Atalaya según Schulten (1907) (Jimeno y Torre 2005).
- Figura. 89. Localización de los campamentos y del cerco de Escipión según A. Schulten (Jimeno y Torre 2005: 21).
- Figura 90. Planimentía del Campamento V de Renieblas (Schulten 1929: anexo XIX).
- Figura 91. Novedades en las interpretaciones de la ubicación del cerco de Numancia (Jimeno y Chaín 2017: 243).
- Figura 92. Ubicación de las principales fortificaciones romanas identificadas en La Serena (Mayoral 2018: 76).
- Figura 93. Fortines del Alto y Bajo Alentejo (Mataloto 2004).
- Figura 94. Planta del yacimiento de Castejón de las Merchanas (Mayoral 2018: 81).
- Figura 95. Plantas de varias fortificaciones en la comarca de La Serena: 1.Las Merchanas, 2.Castildavid/La Lapa; 3.Castillejo del Moro; 4.Puerto de la Cabra; 5.Portugués 1; 6.Portugués 2; 7.Ermita de San José; 8.La Dehesilla. (Mayoral *et alii* 2011: 106).
- Figura 96. Planta general del fortín de Caladinho (Mataloto *et alii* 2014: 30).
- Figura 97. Planta de Cáceres el Viejo (Ulbert 1984, fig. 6).
- Figura 98. Localización de los yacimientos del sureste peninsular tardorrepublicanos identificados por Adroher (Adroher 2014: 172).
- Figura 99. Planta de Torre Gabino (Morillo *et alii* 2014: 62).
- Figura 100. Planta del Cerro del Trigo (Diosono 2005: 121).
- Figura 101. Ubicación de las torres localizadas en la zona de Granada (Gómez y Pedregosa 2013: 286).
- Figura 102. Planta del *castellum* romano de Barranco Abadejo (Pérez Macías *et alii* 2019: 240).
- Figura 103. Localización de las fortificaciones romanas identificadas en la zona de la Sierra de Tejada (Pérez Macías *et alii* 2019: 250).
- Figura 104. Tabla donde se presentan las principales fundaciones romanas en la Gallia Cisalpina, la cronología y su categoría con la que fueron creadas.
- Figura 105. Reconstrucción de la planta de la colonia romana de Sena Gallica (Lepore 2013: 307).
- Figura 106. Ubicación de las colonias latinas y romanas en el contexto de la romanización de la *Gallia Cisalpina* (Ortalli 2017: 318).
- Figura 107. Planta republicana de la colonia de Aquileia (Stazzulla 1988: 192).
- Figura 108. Sistema defensivo y organización del urbanismo de Aquileia. Los puntos A, B, C, D, F, G, H, corresponden a los restos de época republicana (Stazzulla 1988: 194).
- Figura 109. La ubicación y análisis de visibilidad de la zona de Aquileia (Bernardini *et alii* 2015: 1525).
- Figura 110. Plantas de los recientes fortificados de San Rocco, Grociana Piccola y Montedoro (Bernardini *et alii* 2015: 1525).
- Figura 111. Ubicación de los fuertes localizados romanorrepublicanos en la zona Alpina. (2) Briccio, (38) Monte Barda y Monte Roba, (44) Mazéit di Verzegnis, (97) Grad (Bigliardi 2004: 320).
- Figura 112. Situación de las vías de la zona septentrional alrededor del 130 a.C. (David y

Traversari 2014: 54).

-Figura 113. Tabla donde se presentan las principales fundaciones romanas en la Gallia Transalpina, la cronología y su categoría.

-Figura 114. Mapa Gallia Narbonensis (Rivet 1988: 6).

-Figura 115. Planta de las estructuras interpretadas como los Trofeos de Pompeyo, en medio de las que pasaría la *via Domitia* (Castellvi *et alii* 1995: 7).

-Figura 116. Arriba: Planta de Mailhac (Sanchez 2009: 371). Abajo: Planta de Montlaurès (Sanchez 2009: 353).

-Figura 117. Planta de *Narbo* (Sanchez 2009: 30).

-Figura 118. Mapa localización pueblos principales de la *Gallia Transalpina* (Gros 2008: 8).

-Figura 119. Tabla donde se representan los diferentes ritmos de aparición de las importaciones itálicas en la *Gallia Narbonensis* (Barbau 2019: 49).

Apéndice:

-Apéndice I: Panorámicas:

-Figura 1. Fotografía panorámica desde Burriac.

-Figura 2. Fotografía panorámica desde Ca n'Oliver

-Figura 3. Fotografía panorámica desde Ca l'Arnau, Cabrera de Mar.

-Figura 4. Fotografía panorámica desde el Camp de les Lloses.

-Figura 5. Fotografía panorámica desde el campo de fútbol de Cardona, Campet de la Sal.

-Figura 6. Fotografía panorámica desde Can Tacó.

-Figura 7. Fotografía panorámica desde el Castell de Falgars.

-Figura 8. Fotografía panorámica desde el Castell Lliuró.

-Figura 9. Fotografía panorámica desde el Castell de Banyoles.

-Figura 10. Fotografía panorámica desde el Castellot de Bolvir.

-Figura 11. Fotografía panorámica desde Castellvell de Solsona.

-Figura 12. Fotografía panorámica desde Castellví de Rosanes.

-Figura 13. Fotografía panorámica desde el Coll del Moro.

-Figura 14. Fotografía panorámica desde el foro de la ciudad romana de Empúries.

-Figura 15. Fotografía panorámica desde Illa Fradera.

-Figura 16. Fotografía panorámica desde Mas Gusó.

-Figura 17. Fotografía panorámica desde Monteró I.

-Figura 18. Fotografía panorámica desde Olèrdola.

-Figura 19. Fotografía panorámica desde La Palma.

-Figura 20. Fotografía panorámica desde Els Prats de Rei.

-Figura 21. Fotografía panorámica desde Puig d'Alia.

-Figura 22. Fotografía panorámica desde Puig del Castell de Samalús.

-Figura 23. Fotografía panorámica desde Puig Castellar de Biosca.

-Figura 24. Fotografía panorámica desde Puig Ciutat.

-Figura 25. Fotografía panorámica desde Puigpelat.

-Figura 26. Fotografía panorámica desde Ribelles.

-Figura 27. Fotografía panorámica desde Sant Julià de Ramis.

-Figura 28. Fotografía panorámica desde Sant Miquel de Sorba.

- Figura 29. Fotografía panorámica desde Sant Miquel de Vinebre.
- Figura 30. Fotografía panorámica desde Serrat dels Espinyers.
- Figura 31. Fotografía panorámica desde *Tarraco*.
- Figura 32. Fotografía panorámica desde la Torrassa del Moro de Llinars del Vallès.
- Figura 33. Fotografía panorámica desde la Torre de la Mora de Buixalleu.
- Figura 34. Fotografía panorámica desde la Torre dels Moros de Seròs.
- Figura 35. Fotografía panorámica desde la Torre Roja.g
- Figura 36. Fotografía panorámica desde El Tossal de Baltarga.
- Figura 37. Fotografía panorámica desde Tres Cales.
- Figura 38. Fotografía panorámica desde La Cabañeta.
- Figura 39. Fotografía panorámica desde El Cabezo de Alcalá.
- Figura 40. Fotografía panorámica desde El Cabezo de las Minas.
- Figura 41. Fotografía panorámica desde La Caridad.
- Figura 42. Fotografía panorámica desde La Corona.
- Figura 43. Fotografía panorámica desde Segeda II con vistas a Segeda I.
- Figura 44. Fotografía panorámica desde La Torre Cremada.
- Figura 45. Fotografía panorámica desde *Bilbilis* con vistas a Valdeherrera.
- Figura 46. Fotografía panorámica desde La Vispesa.

Apéndice II: Mapas

- Figura 1. Ubicación de los yacimientos inscritos en el presente trabajo.
- Figura 2. Mapa general del territorio estudiado con la integración de los yacimientos inscritos en el presente trabajo.
- Figura 3. Ubicación de los yacimientos inscritos en el presente trabajo, según la nueva propuesta tipológica. Fortines tardorrepublicanos (tipo 1), *oppida* reocupados (tipo 2), campamentos que pasan a ser importantes núcleos urbanos (tipo 3), centros administrativos (tipo 4), fundaciones urbanas (tipo 5), centros logísticos y productivos (tipo 6), torres de vigilancia (tipo 7), asentamientos temporales (tipo 8).
- Figura 4. Ubicación de los asentamientos identificados como fortines tardorrepublicanos (tipo 1).
- Figura 5. Ubicación de los asentamientos identificados como *oppida* reocupados o refortificados (tipo 2).
- Figura 6. Ubicación de los asentamientos identificados como importantes núcleos administrativos y puertos (tipo 3).
- Figura 7. Ubicación de los asentamientos identificados como núcleos administrativos (tipo 4).
- Figura 8. Ubicación de los asentamientos identificados como fundaciones urbanas en llano impulsadas por el ejército (tipo 5).
- Figura 9. Ubicación de los asentamientos identificados como núcleos logísticos (tipo 6).
- Figura 10. Ubicación de los asentamientos identificados como torres de vigilancia (tipo 7).
- Figura 11. Ubicación de los asentamientos identificados como asentamientos temporales (tipo 8).
- Figura 12. Yacimientos en los que se ha identificado una ocupación entre los años 218 y

175 o en algún momento de este período.

-Figura 13. Yacimientos en los que se ha identificado una ocupación entre los años 175 y 150 o en algún momento de este período.

-Figura 14. Yacimientos en los que se ha identificado una ocupación entre los años 150 y 125 o en algún momento de este período.

-Figura 15. Yacimientos en los que se ha identificado una ocupación entre los años 125 y 100 o en algún momento de este período.

-Figura 16. Yacimientos en los que se ha identificado una ocupación entre los años 100 y 75 o en algún momento de este período.

-Figura 17. Yacimientos en los que se ha identificado una ocupación entre los años 75 y 50 o en algún momento de este período.

-Figura 18. Mapa con análisis de Buffer, donde se indica un área de influencia de 30 metros alrededor de cada yacimiento.

-Figura 19. Mapa con análisis de Kernel, donde se observan las áreas de mayor densidad de asentamientos. Se ha tenido en cuenta un área de 25 kilómetros alrededor del núcleo.

-Figura 20. Mapa con análisis de Kernel, donde se observan las áreas de mayor densidad de asentamientos. Se ha tenido en cuenta un área de 50 kilómetros alrededor del núcleo.

-Figura 21. Mapa donde se muestra las dimensiones de los asentamientos en hectáreas de forma graduada.

-Figura 22. Mapa donde se muestra el campo de visibilidad de cada uno de los yacimientos. Así se puede determinar la visibilidad existente desde los asentamientos con presencia militar romanorrepública. Se ha tenido en cuenta una altura de 8 metros y un campo de visión máximo de 20 km.

-Figura 23. Mapa donde se muestra el campo de visibilidad de cada uno de los yacimientos y la tipología propuesta (teniendo en cuenta una altura de 8 metros y un campo de visión máximo de 20 km).

-Figura 24. Mapa de detalle del control del paso a la *Gallia Transalpina*, por el Coll de Perthus y Coll de Panissares, y por el valle de la Cerdanya (teniendo en cuenta una altura de 8 metros y un campo de visión máximo de 20 km).

-Figura 25. Mapa de detalle del paso norte de la vía *Heraclea / Augusta* donde se muestra el campo de visibilidad de cada uno de los yacimientos (altura de 8 metros y campo de visión máximo de 20 km).

-Figura 26. Mapa de detalle del paso por la costa central de la vía *Heraclea* donde se muestra el campo de visibilidad de cada uno de los yacimientos (altura de 8 metros y campo de visión máximo de 20 km).

-Figura 27. Mapa de detalle del paso por la costa central sur de la vía *Heraclea* donde se muestra el campo de visibilidad de cada uno de los yacimientos (altura de 8 metros y campo de visión máximo de 20 km).

-Figura 28. Mapa de detalle del paso sur de la vía *Heraclea* donde se muestra el campo de visibilidad de cada uno de los yacimientos (altura de 8 metros y campo de visión máximo de 20 km).

-Figura 29. Mapa de detalle campo de visibilidad de cada uno de los yacimientos ubicados en el Pirineo y Pre-Pirineo (altura de 8 metros y campo de visión máximo de 20

km).

-Figura 30. Mapa de detalle campo de visibilidad de cada uno de los yacimientos ubicados en la Cataluña Central (altura de 8 metros y campo de visión máximo de 20 km).

-Figura 31. Mapa de detalle campo de visibilidad de cada uno de los yacimientos ubicados en la Cataluña Central, en concreto del curso del río Llobregós (altura de 8 metros y campo de visión máximo de 20 km).

-Figura 32. Mapa de detalle campo de visibilidad de cada uno de los yacimientos ubicados en el curso del Ebro (altura de 8 metros y campo de visión máximo de 20 km).

-Figura 33. Mapa de detalle campo de visibilidad de cada uno de los yacimientos ubicados en el curso central del Ebro (altura de 8 metros y campo de visión máximo de 20 km).

-Figura 34. Mapa de detalle campo de visibilidad de cada uno de los yacimientos ubicados en el paso hacia la Celtiberia y el curso de Jalón (altura de 8 metros y campo de visión máximo de 20 km).

-Figura 35. Mapa de detalle campo de visibilidad de cada uno de los yacimientos ubicados en el paso hacia la Celtiberia y el curso de Jalón (altura de 8 metros y campo de visión máximo de 20 km).

-Figura 36. Mapa con la selección de los asentamientos donde se ha identificado un sistema defensivo de tipo itálico.

-Figura 37. Mapa con la selección de los asentamientos donde se ha identificado un edificio singular.

-Figura 38. Mapa con la selección de los asentamientos donde se ha identificado cisternas con técnica constructiva itálica.

-Figura 39. Mapa con la selección de los asentamientos donde se ha identificado un complejo termal.

-Figura 40. Mapa con la selección de los asentamientos donde se ha identificado templos de tipología itálica.

-Figura 41. Mapa con la selección de los asentamientos donde se ha identificado *horrea*.

-Figura 42. Mapa con la selección de los asentamientos donde se ha identificado estructuras domésticas de tipo itálico.

-Figura 43. Mapa con la selección de los asentamientos donde se ha identificado elementos de *militaria*.

-Figura 44. Mapa donde se indican los asentamientos donde se acuñó moneda y el nombre de la ceca.

-Figura 45. Friso cronológico en el que se indica también la tipología propuesta.

-Figura 46. Friso cronológico en el que se indica también la tipología propuesta.

APÉNDICE V. BASE DE DATOS

ID	Yacimiento	Municipio	Cronología	Ubicación	Red viaria / hidrográfica	Ha.	Urb. reticular	Métrica itálica	Arq. itálica	Sistema defensivo
1	Aixalalles	Ascó	IIGP- Sertorio	Llano	Ebro	70	N/A	N/A	N/A	N/A
2	Burriac	Cabrera de Mar	Mediados II- Sertorio	Alto	<i>Heraclea</i> / Riera Cabrera	10	N/A	Si	Parcial	Reforma muralla, acceso monumental
3	Ca n'Oliver	Cerdanyola del Vallès	Inicios - Mediados I a.C.	Altura	<i>Heraclea</i>	2	Si	Si	Parcial	Reforma muralla
4	Cabrera de Mar	Cabrera de Mar	160-80 a.C.	Llano	<i>Heraclea</i> / Riera Cabrera	3	Si	Si	Si	N/A
5	Camp de les Lloses	Tona	125-75 a.C.	Llano	<i>Heraclea -Ausa</i> , Ter, Congost	1	Si	Si	Parcial	N/A
6	Cardona	Cardona	II-I a.C.	Poca altura	Cardener	0,1	Si	Si	Parcial	N/A
7	Can Tacó	Montmeló / Montornès	Mediados II- Inicios I a.C.	Altura	<i>Heraclea</i> , Congost, Mogent	0,25	Si	Si	Si	Muro perimetral + torres
8	Castell de Falgars	Beuda	2/4 del siglo II-I a.C	Altura	Fluvià	0,1	No	Si	Parcial	Torre redonda
9	Castell Lliuró	Castellnou d'Ossó	II-I a.C.	Altura		0,1	No	N/A	Parcial	Torre redonda
10	Castellet de Banyoles	Tivissa	200 -175 a.C / Inicios I a.C.	Llano	Ebro	7	Si	N/A	N/A	Reforma muralla
11	El Castellet	Bolvir	1/2 II - 2/3 I a.C.	Altura		0,6	No	Si	Parcial	Nuevo acceso monumental con torres
12	Castellvell	Olius	II-I a.C.	Altura		1	No	N/A	Parcial	Reforma muralla
13	Castellví de Rosanes	Castellví de Rosanes	II-I a.C.	Altura	<i>Heraclea</i> , Torrent Deveses	0,1	No	N/A	Parcial	Torre redonda
14	El Clascar	Clascar	Mediados II - Inicios I a.C.	Altura	<i>Heraclea - Ausa</i>	0,1	N/A	N/A	N/A	N/A
15	Coll del Moro	Gandesa	Inicios II - Mediados I a.C.	Altura	Canaleta (proximo Ebro)	0,5	No	Si	Parcial	Torre central y reforma muralla
16	Costa de la Serra	La Secuita	II-I a.C.	Poca altura		0,1	No	Si	Parcial	Muralla y torre
17	Empúries	Sant Martí d'Empúries	Inicios II - Finales II a.C	Llano	<i>Heraclea</i> , Fluvià, Ter	2,5	Si	Si	Si	<i>Praesidium</i> + ciudad
18	Iesso	Guissona	100 a.C.	Llano		20	Si	Si	Si	Muralla poligonal
19	Ilerda	Lleida	Mediados II - Mediados I a.C.	Altura	Segre	25	Si	Si	Si	N/A
20	Illa Fradera	Badalona	1/4 I – mediados I a.C.	Llano	<i>Heraclea</i> , Riera de Canyet	0,5	Si	Si	Si	Muro perimetral
21	Mas Gusó	Belcaire	3/4 II a.C. - 1/3 I a.C.	Llano	<i>Heraclea</i> , Ter	0,1	Si	Si	Si	N/A
22	Monteró	Camarassa	125-75 a.C.	Altura	Segre	1,2	No	Si	Si	Muralla + bastión
23	Els Prats de Rei	Prats de Rei	II-I a.C.	Llano		2	Si	Si	Parcial	Reforma muralla
24	La Palma	L'Aldea	Finales III / inicios II a.C.	Llano	Ebro	30	N/A	N/A	N/A	N/A
25	Olèrdola	Olèrdola	100-30 a.C.	Altura	<i>Heraclea</i> , Foix, riera Canyelles	2	No	Si	Parcial	Reforma muralla (atalaya, puerta monumental)
26	Puig d'Àlia	Amer	II-I a.C.	Altura	<i>Heraclea</i> , Ter y Brugent	0,1	No	N/A	Parcial	Torre cuadrada
27	Puig del Castell	Samalús	II - Mediados I a.C.	Altura	Sot de la Font y de St. Genís	4	No	Si	Parcial	Reforma muralla
28	Puig Castellar	Biosca	180-120 a.C.	Altura	Llobregós	1,5	Si	Si	Si	Muralla y torres
29	Puig Ciutat	Orià	90-25 a.C.	Altura	Riera Gavarrera y Lluçanús	1	No	Si	Parcial	Reforma muralla
30	Puigpelat	Puigpelat	80-70 a.C.	Altura	Francolí	0,2	Si	Si	Si	Tres líneas de muralla
31	Ribelles	Ribelles	II a.C.	Altura	Llobregós	0,1	N/A	N/A	N/A	N/A
32	St. Julià de Ramis	Sant Julià de Ramis	3/4 II - 1/3 I a.C.	Altura	<i>Heraclea</i> , Congost	0,3	No	Si	Parcial	Reforma muralla
33	St. Miquel de Sorba	Sorba	II- 1/3 I a.C.	Altura	Aigua d'Ora - Cardaner	1,2	No	Si	Parcial	Reforma muralla + bastión
34	St. Miquel de Vinebre	Vinebre	4/4 II a.C.- I a.C.	Altura	Ebro	1,5	No	Si	Parcial	Muralla + torre
35	Serrat dels Espinyers	Isona	125 - 100 a.C.	Altura	<i>Aeso</i>	5	N/A	Si	Parcial	<i>Fosa duplex</i> + <i>fosa fastigiata</i>
36	Tarraco	Tarragona	IIGP - 100	Llano	<i>Heraclea</i> , Francolí, Gaia	50	Si	Si	Si	Dos fases muralla
37	Torrassa del Moro	Llinars del Vallès	II-I a.C.	Altura	<i>Heraclea</i>	0,1	No	N/A	N/A	Torre redonda
38	Torre de la Mora	Sant Feliu de Buixalleu	II-I a.C.	Altura	<i>Heraclea</i>	0,1	No	N/A	Parcial	Torre redonda
39	Torre dels Moros	Seròs	II-I a.C.	Altura	<i>Ilerda-Caesar Augusta</i> , Segre	0,1	No	N/A	Parcial	Torre cuadrada
40	Torre de Gunyoles	Avinyonet del Penedès	II-I a.C.	Altura	<i>Heraclea</i>	0,1	No	N/A	Parcial	Torre cuadrada
41	Torre Roja	Caldes de Montbui	Finales II - Mediados I a.C.	Altura	<i>Heraclea</i> , Riera Calders	4	No	Si	Parcial	Reforma muralla
42	Torre de Tentellatge	Tentellatge, Navès	II-I a.C.	Altura	Riera Tentellatge	0,1	No	N/A	Parcial	Torre cuadrada
43	Tres Cales	Ametlla de Mar	Siglo II - Finales I a.C.	Llano		8	N/A	N/A	N/A	N/A
1	La Cabañeta	El Burgo de Ebro	Finales II - G. Sertorio	Llano	<i>Salduie</i> , Ebro	21,5	Si	Si	Parcial	Muralla planta cuadrada + 30 x 2,8 m foso
2	Cabezo de Alcalá	Azaila	Med. II - G. Sertorio	Altura	<i>Ilerda - Celsa</i> , Aguasvivas	20	No	Si	Parcial	Reforma muralla + campamento + rampa
3	Cabezo de las Minas	Botorríta	Finales II - G. Sertorio	Altura	Huerva	17	No	Si	Parcial	Reforma muralla, lienzos sucesivos, 14 x 3 m foso
4	La Caridad	Caminreal	Finales II -G. Sertorio	Llano	vía Sierra Menera, Jiloca	12,5	Si	Si	Parcial	Muralla + torres, 45-35 m foso
5	El Castejón	Aranda de Moncayo	Finales II - Mediados I	Altura	Aranda	10	No	Si	Parcial	Tres lienzos de muralla + bastión, fosos sucesivos
6	Los Castellazos	Mediana de Aragón	Finales II - G. Sertorio	Altura	Ginel	20	No	Si	Parcial	Lienzos sucesivos de muralla + batió, 3 fosos
7	La Corona	Fuentes de Ebro	Med. II - G. Sertorio	Llano	<i>Salduie</i> , Ebro	45	Si	Si	Parcial	Reforma muralla, ampliación, 9,5 m foso
8	Oscá	Huesca	Inic. siglo II - G. Sertorio	Altura	<i>Ilerda-Oscá</i> , Isuela	5	Si	Si	Parcial	N/A
9	Salduie	Zaragoza	II-I a.C.	Llano	<i>Ilerda / Oscá / Tarraco</i> , Ebro	N/A	Si	Si	Parcial	N/A
10	Segeda I	Poyo de Mara	Final 153	Altura	Perejiles (Jalón)	42	No	No	Parcial	N/A
10	Segeda II	Durón de Belmonte	Finales II - G. Sertorio	Llano	Perejiles (Jalón)	10	Si	Si	Parcial	Muralla + torres, foso
11	Torre Cremada	Valdeltormo	Finales II - Finales I	Altura	Matarraña	0,1	No	No	Parcial	Torre redonda
12	Valdeherrera	Calatayud	Finales II - G. Sertorio	Llano	Jalón	45	Si	Si	Parcial	Reforma muralla + torres, foso 40-60 m
13	La Vispesa	Tamarite de la Litera	Finales II - G. Sertorio	Altura	Cina y Segre	1,5	No	Si	Parcial	Muro perimetral

ID	Yacimiento	Técnica sistema defensivo	Estructuras singulares / itálicas	Construcciones/decoraciones itálicas	Tipo Militar
1	Aixalelles	N/A	N/A		14 proyectiles de plomo, <i>clavi caligarii</i> , puntas de flecha y fibulas
2	Burriac	<i>Opus quadratum</i>	Acceso monumental		<i>Clavi caligae</i> , anillo sinatorio, caja portasetello, <i>styli</i>
3	Ca n'Oliver	<i>Opus incertum</i>	Reforma, nuevas estructuras, reestructuración		Lanzas, espadas, escudos
4	Cabrera de Mar	<i>Opus quadratum</i>	Termas, urbanismo, <i>domus</i> , templo	<i>Opus signinum, tegulae, imbrex, tubuli</i>	Lanzas, jabalinas, puntas flecha y proyectiles de catapulta, caja portasetello
5	Camp de les Lloses	Piedra seca + tapia	Casas con atrio central, urbanismo	<i>Imbrex</i> , larario	Lanzas, jabalinas, puntas de flecha y caja portasetello.
6	Cardona		Estructuras domésticas itálicas		Ficha de mármol, un juego de tabas y tres <i>stilos</i> con tapilla
7	Can Tacó	<i>Emplecton</i>	Estructuras singulares, cisternas	<i>Tegulae, imbrex, signinum</i> , estuco Pompeya I	Punta de <i>gladius hispaniense</i> , punta de lanza y puntas de <i>pilum</i>
8	Castell de Falgars	<i>Opus siliceum + emplecton</i>			N/A
9	Castell Lliuró	<i>Opus quadratum</i>			N/A
10	Castellet de Banyoles		Estructuras domésticas itálicas		Glandes de plomo
11	El Castellot	<i>Emplecton</i>	Estructuras militares y productivas, acceso		Clavo <i>caligae</i> y anillo <i>signaculum, sympulum</i>
12	Castellvell		Cisterna		Puntas de flecha, glandes
13	Castellví de Rosanes	<i>Opus caementicium + emplecton</i>			N/A
14	El Clascar				N/A
15	Coll del Moro	<i>Emplecton</i>			<i>Simpula</i>
16	Costa de la Serra				N/A
17	Empúries	<i>Opus caementicium + siliceum</i>	Posible <i>praesidium</i> , estructura central, cisterna	<i>Signinum</i> (cisterna)	<i>Capitulum</i> , lanzas, flechas, <i>glandes</i> , fibula, <i>singatorio</i> , caja portasetello
18	Ilesso			<i>Tegulae, signinum</i>	N/A
19	Ilerda			<i>Tegulae, signinum</i>	N/A
20	Illa Fradera	<i>Opus incertum</i>	Edificio central planta rectangular	Antefijas cabezas femeninas	Vaina de espada y un <i>simpulum</i> de bronce
21	Mas Gusó	<i>Opus incertum</i>	Patio central vertebrador	<i>Tegulae, imbrex</i> , estuco policromado	<i>Caligae, fibula</i>
22	Monteró	<i>Opus siliceum</i>	Edificio singular, <i>contubernia</i>	<i>Opus signinum</i>	Cinturón, fibulas, flechas, clavos de <i>caligae</i> , flechas, glandes y lanzas
23	Els Prats de Rei			<i>Opus signinum, tegulae</i>	N/A
24	La Palma	N/A	N/A		Flecha de tradición itálica fibulas, estacas de tiendas de campaña
25	Olèrdola	<i>Opus siliceum + poligonal</i>	Cisterna, atalaya, <i>contubernia</i>	<i>Tegulae, imbrex, opus siliceum, quadratum</i>	Clavos <i>caligae</i> , apliques de caballería, placas de cinturón, proyectiles
26	Puig d'Àlia	<i>opus caementicium + emplecton</i>		<i>Tegulae</i>	N/A
27	Puig del Castell	<i>Opus siliceum</i>	Cambios urbanísticos	<i>Opus siliceum</i>	N/A
28	Puig Castellar	<i>Opus incertum</i>	Edificio central, cambios urbanísticos	Estuco policromado, mármoles, <i>signinum</i>	Lanza
29	Puig Ciutat	<i>Opus siliceum</i>	Edificio central, cisterna	<i>Opus siliceum</i>	Clavos <i>caligae</i> , puntas de flechas, pila y pila catapultarium, <i>glandae</i>
30	Puigpelat	<i>Emplecton</i>	Sistema defensivo, modelo constructivo		Proyectiles de ballista, munición de artillería
31	Ribelles				N/A
32	St. Julià de Ramis	<i>Emplecton</i>	Reforma sistema defensivo, templo, cisterna	<i>Opus signinum, tegulae, imbrex</i>	<i>Gladius hispaniense</i> , puntas de jabalina
33	St. Miquel de Sorba	<i>Opus siliceum</i>	Cambios sistema defensivo, cisterna, bastión	<i>Opus signinum</i> (cisterna)	Ludus <i>latruncolorum</i>
34	St. Miquel de Vinebre	<i>Opus siliceum</i>	Urbanismo, estructuras singulares		Proyectiles
35	Serrat dels Espinyers				N/A
36	Tarraco	<i>Opus siliceum, quadratum, anathyrosis</i>	Sistema defensivo, urbanismo, posible <i>praesidium</i>	<i>Opus quadratum</i>	Puntas lanza, puñal, fibula, caja portasetello, <i>styli</i>
37	Torrassa del Moro	<i>Opus quadratum</i>		<i>Tegulae</i>	N/A
38	Torre de la Mora	<i>Opus quadratum</i>			N/A
39	Torre dels Moros	<i>Opus siliceum</i>		<i>Tegulae, dolia</i>	N/A
40	Torre de Gunyoles	<i>Opus caementicium + quadratum</i>			N/A
41	Torre Roja	<i>Opus spicatum</i>		<i>Tegulae, dolia</i>	Glandes de plomo y fibulas de bronce
42	Torre de Tentellatge	<i>Opus siliceum</i>			N/A
43	Tres Cales	N/A			Glandes de plomo (38 con inscripción), fibulas de bronce, <i>clavi caligarii</i>
1	La Cabañeta	<i>Opus quadratum</i>	Termas, <i>schola</i> , foro	<i>Signinum</i> , molduras, estucos, <i>imbrex</i> , antefijas	<i>Styli</i>
2	Cabezo de Alcalá	<i>Opus caementicium</i>	Termas, sistema defensivo, templo	Molduras, estucos	Falcata, <i>gladius hispaniense</i> , puntas de lanza y flecha, dos ballestas
3	Contrebia Belaisca	<i>Opus quadratum</i>	Sistema defensivo, <i>horrea</i> , talleres	<i>Opus signinum</i>	Militaria ligera (lanzas, flechas) y pesada (bolas de catapulta)
4	La Caridad	<i>Opus incertum</i> , alzado adobe	Sistema defensivo, urbanismo reticular, islas casas	<i>Opus signinum</i> , mosaico	Abundantes estancias casa Likine
5	El Castejón	<i>Opus quadratum</i>	Torre y sistema defensivo	<i>Opus quadratum</i>	Cascos hispano-calcedico
6	Los Castellazos	<i>Opus caementicium / certum</i>	Bastión, cisterna de <i>opus signinum</i>	<i>Opus signinum, quadratum, certum</i>	Numerosos glandes
7	La Corona	<i>Opus incertum</i>	Gran espacio central, estructuras domésticas	<i>Opus signinum, tegula, imbrex</i> , antefijas	N/A
8	Oscá	N/A	Estructuras domésticas, templo, fuentes	<i>Opus signinum</i>	N/A
9	Salduie	N/A	Estructuras domésticas, fuentes	<i>Opus signinum</i>	N/A
10	Segeda I				N/A
10	Segeda II	<i>Opus quadratum / anathyrosis</i>	Sistema defensivo, estructuras domésticas	<i>Opus signinum</i>	N/A
11	Torre Cremada	<i>Opus quadratum</i>	Construcción torre, hábitat		N/A
12	Valdeherrera	<i>Opus incertum</i>	Sistema defensivo, urbanismo, talleres, <i>horrea</i>	<i>Opus signinum</i>	Glandes y moldes / Proyectiles ballista
13	La Vispesa	<i>Opus vittatum / quadratum</i>	Edificio central, patio interior, gran cisterna	<i>Opus signinum</i>	N/A

ID	Yacimiento	Ceca / Tesorillo	Epigrafía itálica	Interpretación tradicional	Propuesta	Referencia Bibliografica
1	Aixalelles	N/A		<i>Castrum</i>	Tipo 8	Noguera / Ble / Valdés
2	Burriac	N/A	Grafitos latinos	<i>Oppidum</i>	Tipo 2	Zamora / García
3	Ca n'Oliver	N/A		<i>Oppidum</i>	Tipo 2	Francès y Guàrdia
4	Cabrera de Mar	<i>Ilduro / Ilturo</i>	Grafitos latinos	Administrativo	Tipo 4	Sinner / Martín
5	Camp de les Lloses	<i>Auesken</i> - tesorillo		<i>Vicus</i>	Tipo 6	Durán / Mestres / Principal / Padrós
6	Cardona	N/A		<i>Castellum</i>	Tipo 6	Pancorbo
7	Can Tacó	N/A		Administrativo - Residencial	Tipo 4	Rodrigo / Guitart / García / Merdado
8	Castell de Falgars	N/A - tesorillo		<i>Turris</i>	Tipo 7R	Frigola y Pratdesaba
9	Castell Lliuró	N/A		<i>Turris</i>	Tipo 7R	Saula y Badias / Padrts
10	Castellet de Banyoles	Kum		<i>Castrum + Oppidum</i>	Tipo 8	Noguera / Ble / Valdé
11	El Castellot	N/A		<i>Praesidium</i>	Tipo 2	Olesti / Morera / Oller
12	Castellvell	N/A		<i>Oppidum</i>	Tipo 2	Asensio / Cardona / Ferrer / Morer
13	Castellví de Rosanes	N/A		<i>Turris</i>	Tipo 7R	Pagès
14	El Clascar	N/A		<i>Oppidum</i>	Tipo 2	López Mullor / Rodà
15	Coll del Moro	N/A		<i>Castellum</i>	Tipo 2	Asensio / Rafel
16	Costa de la Serra	N/A		<i>Castellum / Turris</i>	Tipo 7C	López
17	Empúries	<i>Emporion</i> - tesorillo		<i>Castrum / Praesidium</i>	Tipo 3	Castanyer / Tremoleda / Santos / Aquilué
18	Ilesso	N/A	Marcas consulares	<i>Civitas</i>	Tipo 5	Guitart / Pera
19	Ilerda	N/A		<i>Civitas</i>	Tipo 5	Payà / Almoguera
20	Illa Fradera	<i>Baitolo</i> - plomos monetiformes		Relación fundación <i>Baetulo</i>	Tipo 4	Antequera y Vázquez
21	Mas Gusó	N/A		<i>Praesidium</i>	Tipo 4	Casas / Nolla / Palahi / Soler
22	Monteró	N/A - tesorillo		<i>Castellum</i>	Tipo 1	Principal / Bermúdez / Padrós
23	Els Prats de Rei	N/A		<i>Oppidum</i>	Tipo 2	Salazar
24	La Palma	N/A		<i>Castrum</i>	Tipo 8	Noguera / Ble / Valdés
25	Olèrdola	N/A		<i>Castellum</i>	Tipo 2	Molist
26	Puig d'Àlia	N/A - tesorillo de Barroca		<i>Turris</i>	Tipo 7C	Llinàs Pol / Padrós y Principal
27	Puig del Castell	<i>Lauro</i> - tesorillo Can Ribes		<i>Oppidum</i>	Tipo 2	Guàrdia
28	Puig Castellar	N/A	Grafito latino (Pont)	<i>Principia / Castellum</i>	Tipo 1	Pera / Carreras / Rogrido / Guitart
29	Puig Ciutat	N/A		<i>Praesidium</i>	Tipo 2	Padrós / Pujol / Sala
30	Puigpelat	N/A		<i>Castellum</i>	Tipo 1	Diaz / Ramirez
31	Ribelles	N/A		<i>Turris</i>	Tipo 7C	Puche
32	St. Julià de Ramis	N/A		<i>Castellum</i>	Tipo 2	Burch / Nolla / Sagrera
33	St. Miquel de Sorba	N/A		<i>Castellum</i>	Tipo 2	Asensio / Cardona / Ferrer / Morer
34	St. Miquel de Vinebre	N/A	<i>Simpulum</i> de bronce L. Corneli	<i>Castellum</i>	Tipo 1	Genera
35	Serrat dels Espinyers	N/A		<i>Castrum</i>	Tipo 8	Padrós / Belmonte
36	Tarraco	<i>Tarraco / Kesse</i>		<i>Castrum</i>	Tipo 3	Hauschild / Pérez García / Palmada / Ruiz de Arbulo
37	Torrassa del Moro	N/A		<i>Turris</i>	Tipo 7R	Gallardo / Sdnchez / Pérez García
38	Torre de la Mora	N/A		<i>Turris</i>	Tipo 7R	Matars / Rueda / Tura y Mateu / Pérez García
39	Torre dels Moros	N/A		<i>Turris</i>	Tipo 7C	Serra Ráfols / Pita Mercè / Lara Peinado
40	Torre de Gunyoles	N/A		<i>Turris / Oppidum</i>	Tipo 7R	Balil / Pérez García / Pera
41	Torre Roja	N/A		<i>Castellum</i>	Tipo 2	Forte / Maese
42	Torre de Tentellatge	N/A		<i>Turris</i>	Tipo 7C	Tarradell / Padrós y Principal
43	Tres Cales	N/A		<i>Praesidium</i>	Tipo 8	Noguera / Ble / Valdés
1	La Cabañeta	N/A	Mosico corporación	<i>Castrum , civitas</i>	Tipo 3	Ferreruela / Mínguez
2	Cabezo de Alcalá	<i>Beligio?</i> - tesorillos		<i>Oppidum</i>	Tipo 2	Beltrán Lloris
3	Contrebia Belaisca	<i>Contebakom</i>	Bronces	<i>Oppidum</i>	Tipo 2	Beltrán Lloris / Martín Bueno / Asensio
4	La Caridad	N/A	Mosaico Likine	<i>Oppidum</i>	Tipo 5	Vicente / Ezquerra
5	El Castejón	<i>Aratikos</i>		<i>Turris</i>	Tipo 7C	Romeo / Fatás / Royo
6	Los Castellazos	N/A		<i>Turris</i>	Tipo 7C	Maestro / Romeo / Royo
7	La Corona	N/A		<i>Oppidum</i>	Tipo 5	Ferreruela / Mínguez
8	Oscá	<i>Bolskan</i>		<i>Oppidum</i>	Tipo 2	Juste
9	Salduie	N/A		<i>Oppidum</i>	Tipo 2	Galve / Pina Polo
10	Segeda I	<i>Sekeida</i>		<i>Oppidum</i>	Tipo 8	Burillo
10	Segeda II	<i>Sekeida</i>		<i>Oppidum</i>	Tipo 5	Burillo
11	Torre Cremada	N/A		<i>Turris</i>	Tipo 7R	Moret
12	Valdeherrera	<i>Bolskan</i> - cuño monetiforme		<i>Oppidum</i>	Tipo 5	Martín Bueno / Saenz
13	La Vispesa	N/A		<i>Oppidum</i>	Tipo 2	Maestro / Domínguez / Magallón

